

თბილისის უნივერსიტეტის მუშაობის
ТРУДЫ ТБИЛИССКОГО УНИВЕРСИТЕТА

PROCEEDINGS OF TBILISI UNIVERSITY

298

290
1990

ISSN 0376-2637

კიბერნეტიკა. გამოყენებითი მათემატიკა
КИБЕРНЕТИКА, ПРИКЛАДНАЯ МАТЕМАТИКА
CYBERNETICS. APPLIED MATHEMATICS

12

თბილისი თბილისი
Tbilisi Tbilisi
1990



Издательство Тбилисского Унив.

თბილისის უნივერსიტეტის გამომცემობა

TBILISI UNIVERSITY PRESS



თბილისის უნივერსიტეტის მწოდები
PROCEEDINGS OF TBILISI UNIVERSITY

298

3080608033
გამოყინვილები მათემატიკა
CYBERNETICS
APPLIED MATHEMATICS

თბილისი 1990 Tbilisi



ТРУДЫ ТБИЛИССКОГО УНИВЕРСИТЕТА

298

КИБЕРНЕТИКА. ПРИКЛАДНАЯ МАТЕМАТИКА

Тбилиси 1990

Редакционная коллегия

Г.Л.Арсенишвили, Н.Н.Вахания, Р.В.Гамкрелидзе
Т.Г.Гачечиладзе, Р.А.Кордзадзе, Р.П.Мегрелишвили
(секретарь), Г.В.Меладзе, В.В.Чавчанидзе (редактор)

სარეაციო კორები

გ.არსენიშვილი, ჩ.გამცერიძე, თ.გაჩეჩილაძე, გ.ვახანია,
რ.კორძაძე, რ.მეგრელიშვილი (მდგრანი), პ.მელაძე, ვ.ჭავ-
ჭაბიძე (რეაციონი)

EDITORIAL BOARD

G.Armenishvili, V.Chavchanidze (editor), T.Gachechiladze,
R.Gamkrelidze, R.Kordzadze, R.Megrelishvili (secretary),
H.Meladze, N.Vakhania.

Издательство Тбилисского университета, 1990

იბილისი უნივერსიტეტის გამომცემობა, 1990

TBILISI UNIVERSITY PRESS, 1990

Труды Тбилисского государственного университета

им. И. Джавахишвили

ივ. აავახიშვილის სახ. იბირისის სახელმწიფო
უნივერსიტეტის მუზეუმი

298, 1990

О РЕШЕНИИ ОПТИМАЛЬНОЙ ЗАДАЧИ ДЛЯ СИСТЕМ, ОПИСЫВАЕМЫХ УРАВНЕНИЯМИ ТЕОРИИ УПРУГОСТИ

А.Н.Джорбенадзе, Т.С.Цупунава

В работе приняты следующие обозначения:

E_3 – трехмерное пространство Евклида;

\mathcal{D} — ограниченная область из E_3 ;

S — двумерная связная замкнутая, гладкая, ограниченная поверхность в E_3 , ограничивающая область \mathcal{D} ;

2 - непустое ограниченное множество из E_3 ;

V — множество ограниченных и измеримых по Лебегу на \mathcal{D} вектор-функций из E_3 :

$\frac{d}{dx}$ - дифференциальный оператор теории упругости (1/1);

$$r(x-y) = \|r_{\alpha j}(x-y)\|_{3 \times 3};$$

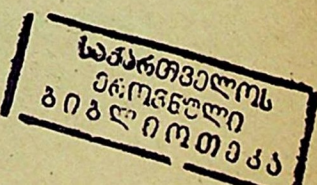
$$r_{ij} = \frac{1}{2R} \left[\frac{(\bar{A} + 3\bar{J}_{II}) \cdot \bar{\delta}_{ij}}{\lambda_{II}(\bar{A} + \lambda_{II})|x-y|} + \frac{\bar{A} + \bar{J}_{II}}{2\bar{J}_{II}(\bar{A} + 2\bar{J}_{II})} \cdot \frac{(x_i - y_i)(x_j - y_j)}{|x-y|^3} \right];$$

$$r_{ij}^*(y-x, n(y)) = \| r_{ij}^*(y-x, n(y)) \|_{3 \times 3};$$

$$r_{ij}^* = \frac{1}{\lambda R} \left[\frac{j_1 \cdot \delta_{ij}}{\lambda + 2j_1} + \frac{3(\bar{A} + j_1)}{\lambda + 2j_1} \cdot \frac{(y_i + x_i)(y_j - x_j)}{|y - x|^2} \right] x$$

$$x \frac{\sum_{\ell=1}^3 (x_\ell - y_\ell) n_\ell(y)}{|y-x|^3} + \frac{1}{2\pi} \frac{\mu}{\bar{\mu} + 2\mu} \int n_1(y) \frac{x_j - y_j}{|y-x|^3} -$$

$$-n_j(y) \frac{x_i - y_i}{|x-y|^3} \Big]; \quad i, j = \overline{1, 3},$$



δ_{ij} - символ Кронекера, λ и μ - постоянные Ламе.

В работе /2/ рассмотрена оптимальная задача для систем, описываемых уравнениями теории упругости. При решении этой задачи в качестве класса допустимых управлений было взято пространство W_2^1 . Цель настоящей работы получить необходимое условие оптимальности для управляемых функций из V .

Согласно /2/ для любого допустимого управления f из класса V существует единственное решение $u: D \rightarrow E_3$ уравнения

$$\mathcal{A}\left(\frac{\partial}{\partial x}\right)u(x) + \varPhi(x) = 0, \quad \varPhi \in V, \quad (1)$$

удовлетворяющее граничному условию

$$u^+(y) = f(y), \quad \forall y \in S. \quad (2)$$

Допустимое управление f_o называется оптимальным, если для соответствующего решения u_o задачи (1), (2) справедливо равенство

$$\mathcal{J}(u_o) = \min_{f \in V} \mathcal{J}(u),$$

где

$$\mathcal{J}(u) = \int_D a(x) u(x) dx. \quad (3)$$

Вектор-функция $a(x): D \rightarrow E_3$ принадлежит V .

Оптимальная задача заключается в нахождении такого управления.

Если f_o - оптимальное управление, то пара вектор-функций называется решением оптимальной задачи (1)-(3).

Как известно /1/, если $\varPhi \in V$, то

$$u(\varPhi)(x) = \int_D \Gamma(x-y) \varPhi(y) dy \quad (4)$$

представляет собой решение уравнения (1).

Рассмотрим разность

$$V = U - u(\varphi). \quad (5)$$

Очевидно, что V является решением уравнения

$$\mathcal{H} \left(\frac{\partial}{\partial x} \right) V = 0 \quad (6)$$

и удовлетворяет граничному условию

$$V^*(y) = \mathcal{L}(y) = f(y) - u^*(\varphi)(y), \quad \forall y \in S. \quad (7)$$

Таким образом, задача (1), (2) приводится к задаче (6), (7). Так как $\varphi \in V$, то $\mathcal{L}(y) = f(y) - u^*(\varphi)(y)$ тоже при надлежит классу V .

Решение задачи (6), (7) имеет вид

$$V(x) = \int_S \Gamma^*(y-x, n(y)) u(y) d_y S \quad (8)$$

где некоторый вектор $u(x)$ определяется с помощью следующего интегрального уравнения:

$$-u(y) + \int_S \Gamma^*(x-y, n(x)) u(x) d_x S = \mathcal{L}(y) = f(y) - u^*(\varphi)(y). \quad (9)$$

Существование единственного решения (9) для фиксированного f доказано в /3/.

В силу (8), функционал (3) имеет вид

$$\mathcal{J}(u) = \int_S T_1(y) u(y) d_y S + T_2, \quad (10)$$

где

$$T_1(y) = \int_D a(x) \Gamma^*(y-x, n(y)) dx, \quad T_2 = \int_D a(x) u(\varphi) dx.$$

Заметим, что T_2 не зависит от управления f .

Таким образом, мы можем сформулировать поставленную выше оптимальную задачу в следующем эквивалентном виде: требуется найти такое допустимое управление f_0 , при котором решение u_0 уравнения (9) обеспечивает минимальное значение функционала (10).

В этом случае, рассуждая аналогично /4/, получим, что

сопряженная система интегральных уравнений имеет вид:

$$\varphi(x) - \int_S \Gamma(x-y, n(x)) \varphi(y) d_y S + T_1(x) = 0, \quad (II)$$

а принцип максимума формулируется так: Для оптимальности управления f_o необходимо и достаточно существование такой не-нулевой функции φ , удовлетворяющей уравнению (II), что

$$\varphi \cdot f_o = \sup_{f \in \Omega} \varphi \cdot f.$$

Далее подставим f_o в уравнение (9), решив которое, получим y_o . Принимая во внимание (8) получим u_o . Таким образом будет найдена пара вектор-функций (f_o, u_o) – решение оптимальной задачи (I)-(3).

Поступила 15.IX.1989

Кафедра теории оптимального управления

Кафедра применения математических методов

Литература

1. В.Д. Купрадзе, Т.Г. Гегелиа, М.О. Башелейшвили, Т.В. Бурчуладзе. Трехмерные задачи математической теории упругости и термоупругости. – М.: Наука, 1976.
2. А.Н. Джорбенадзе. Труды ТГУ, т.270, сер. Математика. Механика. Астрономия, 1987, 120–135.
3. С.Г. Михлин. Успехи математических наук, т.3, выпуск 3(25), 1948, 30–III.
4. Т.С. Цупунава. Труды ТГУ, т.261, сер. Кибернетика. Прикладная математика, 9, 1988, 60–69.

ა. ჯორენაძე, თ. ცუცუნავა

ზოგიერთის თაობის და ფორმის გარეთ არა არის ასეთი -
რისტრის რეგისტრაცია არის მას პრინციპის შედეგი.

რეტრეაქტი

მოყვანილია გ. პონტრიაგირის მაქსიმუმის პრინციპის ანა-
ლიზი (1)-(3) ამოყვანისათვის.

A.Jorbenadze, T.Tsutsunava

ON SOLVING THE OPTIMAL CONTROL PROBLEM FOR SYSTEMS DESCRIBED BY THE ELASTICITY THEORY

Summary

An analogue of L. Pontryagin's maximum principle is given for
the optimal control problem (1)-(3).

Труды Тбилисского государственного университета
им. И. Джавахишвили

№ 3. ხავახიშვილის სახ., ინიციატივის სახელმწიფო
უნივერსიტეტის მუნიციპალური მუნიციპალური

298, 1990

О СХОДИМОСТИ ДИФФЕРЕНЦИАЛЬНО-РАЗНОСТНЫХ СХЕМ
ГАЗОВОЙ ДИНАМИКИ В ЭЙЛЕРОВЫХ ПЕРЕМЕННЫХ

Г.В. Меладзе, Г.З. Церцадзе

Введение

Доказательство сходимости разностных схем для нелинейных систем законов сохранения, записанных в виде дифференциальных уравнений, даже при наличии гладкого решения у исходной задачи является трудной самостоятельной задачей. Работы, где были разрешены такие задачи, появились в основном в последнее десятилетие. Из работ, посвященных вопросам сходимости разностных схем газовой динамики в эйлеровых переменных, мы можем указать лишь на /1/, /2/, /3/. Любая новая работа по этим вопросам представляет большой интерес.

В данной работе развивается методика, предложенная в указанных работах, и доказывается сходимость полностью консервативной дифференциально-разностной схемы для полной системы уравнений газовой динамики в переменных Эйлера в случае идеального газа.

§ I. Постановка задачи и вспомогательные
утверждения

В области $\Omega = \{(x, t), x \in (-\infty, +\infty), t \in (0, T)\}$ рассмотрим следующий вид системы одномерных уравнений газовой динамики в переменных Эйлера:

$$\frac{\partial \rho}{\partial t} + \frac{\partial m}{\partial x} = f_1(x, t, \rho, m, \varepsilon), \quad (I.1a)$$

$$\frac{\partial m}{\partial t} + \frac{\partial}{\partial x} \left(\frac{m^2}{\rho} + P \right) = f_2(x, t, \rho, m, \varepsilon), \quad (I.1b)$$

$$\frac{\partial(\rho\varepsilon)}{\partial t} + \frac{\partial(m\varepsilon)}{\partial x} + P \frac{\partial}{\partial x} \left(\frac{m}{\rho} \right) = f_3(x, t, \rho, m, \varepsilon), \quad (I.1c)$$

$$\rho = (\gamma - 1)P\varepsilon, \quad \gamma = \text{const} > 1,$$

где x – пространственная координата, t – время, ρ – плотность, m – импульс, P – давление, ε – внутренняя энергия; f_1, f_2, f_3 – функции, выражающие, соответственно, источники или стоки массы, импульса и энергии. Для системы (I.1) рассмотрим условия Коши:

$$\rho(x, 0) = \rho_o(x), \quad m(x, 0) = m_o(x), \quad \varepsilon(x, 0) = \varepsilon_o(x), \quad (I.2)$$

где $\rho_o, m_o, \varepsilon_o$ – достаточно гладкие периодические функции с периодом ω .

Для задачи (I.1)–(I.2) построим полностью консервативную дифференциально-разностную схему, в которой пространственный оператор аппроксимируется аналогично работе /4/ (обозначения взяты из /4/, /5/):

$$\frac{d\rho_h}{dt} + m_h \frac{\partial}{\partial x} = f_{1h}, \quad (I.3a)$$

$$\frac{dm_h}{dt} + \left(\left(\frac{m_h}{\rho_h} \right)_{(0, \omega)} m_h \Big|_{(0, \omega)} \right) + P_h \frac{\partial}{\partial x} = f_{2h}, \quad (I.3b)$$

$$\frac{d(P_h \varepsilon_h)}{dt} + (m_h \varepsilon_h) \frac{\partial}{\partial x} + P_h \left(\frac{m_h}{\rho_h} \right) \frac{\partial}{\partial x} = f_{3h}, \quad (I.3c)$$

$$P_h = (\gamma - 1) \rho_h \varepsilon_h.$$

где функции

$$\rho_h \equiv \rho_h(jh, t), \quad m_h \equiv m_h(jh, t), \quad P_h = P_h(jh, t),$$

$$\varepsilon_h \equiv \varepsilon_h(jh, t), \quad f_{ih} \equiv f_i(jh, t, \rho_h, m_h, \varepsilon_h), \quad i=1, 2, 3,$$

определенны в области $\bar{\Omega} = \omega_h \times [0, T]$. $\omega_h = \{x_j = jh, j=0, 1, \dots\}$.

При этом, для некоторого натурального N выполняется равенство: $Nh = L$. Начальные условия для схемы можно записать в виде

$$\rho_h(jh, 0) = \rho_0(jh), \quad m_h(jh, 0) = m_0(jh), \quad \varepsilon_h(jh, 0) = \varepsilon_0(jh). \quad (I.4)$$

Относительно функций $\rho, m, P, \varepsilon, f_i$, $i=1, 2, 3$, предполагается:

(A1) функции ρ, m, P, ε принадлежат классу $C^{3,1}(-\infty, +\infty) \times [0, T]$. Существует такая константа $\delta > 0$, что в области $\bar{\Omega}$: $\rho(x, t), \varepsilon(x, t) > \delta$;

(A2) функции f_i , $i=1, 2, 3$, удовлетворяют условию Липшица относительно переменных ρ, m, ε .

Нетрудно показать, что погрешность аппроксимации дифференциально-разностной схемы (I.3) в каждом узле сетки составляет $O(h^3)$.

Для доказательства сходимости схемы (I.3) понадобится несколько лемм. В пространстве сеточных функций введем скалярное произведение

$$(u_h, v_h) = \sum_{i=1}^N u_h(ih) v_h(ih) h, \quad Nh = L,$$

и норму, индуцированную этим скалярным произведением:

$$\|u_h\|^2 = (u_h, u_h).$$

Лемма I (см./6/). Пусть сеточные функции u_h, v_h —

периодические с периодом λ . Тогда справедливы равенства

$$(u_h, v_{hx}) + (v_h, u_{hx}) = 0, \quad (u_h, v_{h\bar{x}}) + (v_h, u_{h\bar{x}}) = 0.$$

Лемма 2 (см./6/). Пусть сеточные функции $u_h^{(i)}$ — периодические с периодом λ . Тогда справедливо неравенство

$$\left\| \prod_{i=1}^{\ell} u_h^{(i)} \right\|^2 \leq h^{1-\ell} \prod_{i=1}^{\ell} \|u_h^{(i)}\|^2.$$

Лемма 3 (см./1/). Пусть сеточные функции u_h, v_h — периодические с периодом λ . Кроме того, выполнены следующие условия: $|v_h| \leq \bar{M}$, $|v_{hx}| \leq \bar{M}$ для всех $x_j \in [0, \lambda]$, $\bar{M} = \text{const} > 0$. Тогда существует такая константа $M > 0$, зависящая только от \bar{M} , что справедливо неравенство

$$|(u_h, v_h u_{hx})| \leq M \|u_h\|^2.$$

Лемма 4 (см./1/). Пусть сеточные функции u_h, v_h, w_h — периодические с периодом λ . Тогда справедливо равенство

$$\begin{aligned} (w_h, v_h u_{hx}) + (w_h, v_h(-1) u_{h\bar{x}}) = \\ = -2(v_h w_{h\bar{x}}, u_h) - 2(w_h v_{h\bar{x}}, u_h). \end{aligned}$$

§ 2. Оценка погрешности метода и теорема о сходимости

Рассмотрим компактное множество F в пространстве R^{3N+1} (где $Nh = \lambda$), состоящее из всевозможных точек

$$(t, z_1^{(1)}(t), \dots, z_N^{(1)}(t), z_1^{(2)}(t), \dots, z_N^{(2)}(t), z_1^{(3)}(t), \dots, z_N^{(3)}(t)),$$

координаты которых удовлетворяют неравенствам

$$0 \leq t \leq T, \quad |z_j^{(1)}(t) - p(jh, t)| \leq \frac{\delta}{2}, \quad |z_j^{(2)}(t) - m(jh, t)| \leq \frac{\delta}{2},$$

$$|z_j^{(3)}(t) - \varepsilon(jh, t)| \leq \frac{\delta}{2}, \quad j = \overline{1, N},$$

для всех $t \in [0, T]$, функции ρ, m, ϵ являются решениями задачи (I.1)-(I.2).

Поскольку (I.3) представляет собой систему обыкновенных дифференциальных уравнений относительно неизвестных функций

$$\rho_h(jh, t), \quad m_h(jh, t), \quad \epsilon_h(jh, t), \quad j = \overline{1, N}.$$

то согласно теореме о существовании и продолжении решения /7/ существует единственное решение задачи (I.3)-(I.4), которое продолжается вперед до границы с F .

Оценим погрешность решения (I.3)-(I.4) в компакте F' . Для этого рассмотрим функцию погрешности.

$$\tilde{\rho} = \rho_h - \rho(x_i, t), \quad \tilde{m} = m_h - m(x_i, t), \quad \tilde{\epsilon} = \epsilon_h - \epsilon(x_i, t),$$

$$\tilde{v} = \frac{m_h}{\rho_h} - \frac{m(x_i, t)}{\rho(x_i, t)} = \frac{m + \tilde{m}}{\rho + \tilde{\rho}} - \frac{m}{\rho} = \frac{\tilde{m}}{\rho + \tilde{\rho}} - \frac{\tilde{\rho}}{\rho + \tilde{\rho}} \cdot \frac{m}{\rho},$$

$$\tilde{\rho} = \rho_h - \rho(x_i, t) = (\gamma - 1)(\rho_h \epsilon_h - \rho \epsilon) = (\gamma - 1)(\tilde{\rho} \epsilon + (\rho + \tilde{\rho}) \tilde{\epsilon}).$$

Из этих равенств определим $\rho_h, m_h, \epsilon_h, P_h, \frac{m_h}{\rho_h}$ и внесем в разностное уравнение (I.3):

$$\frac{d\tilde{\rho}}{dt} + \tilde{m}_x^2 = -\Psi_1 + \tilde{f}_1, \quad (2.1a)$$

$$\begin{aligned} \frac{d\tilde{m}}{dt} + \frac{1}{4} \tilde{m}(+1) \left(\frac{m}{\rho} \right)_x + \frac{1}{4} \tilde{m}(+1) \tilde{v}_x + \frac{1}{4} m(+1) \tilde{v}_x + \\ + \frac{1}{4} \tilde{m}(-1) \left(\frac{m}{\rho} \right)_x + \frac{1}{4} \tilde{m}(-1) \tilde{v}_x + \frac{1}{4} m(-1) \tilde{v}_x + \\ + \frac{1}{2} \tilde{m} \left(\frac{m}{\rho} \right)_{xx} + \frac{1}{2} \tilde{m} \tilde{v}_x + \frac{1}{2} m \tilde{v}_x + \frac{m}{\rho} \tilde{m}_x + m_x \tilde{v} + \\ + \tilde{m}_x^2 \tilde{v} + (\gamma - 1)(\tilde{\rho} \epsilon + (\rho + \tilde{\rho}) \tilde{\epsilon})_x = -\Psi_2 + \tilde{f}_2, \end{aligned} \quad (2.1b)$$

$$\begin{aligned} \frac{d}{dt} ((\rho + \tilde{\rho}) \tilde{\epsilon} + \tilde{\rho} \epsilon) + (\tilde{m} \epsilon)_{\tilde{x}} + (\tilde{m} \tilde{\epsilon})_x + (m \tilde{\epsilon})_{\tilde{x}} + \\ + P \left(\frac{m}{\rho} \right)_{\tilde{x}} + P \tilde{v}_{\tilde{x}} + \tilde{P} \tilde{v}_x = - \varphi_3 + \tilde{f}_3 . \end{aligned} \quad (2.18)$$

где

$$\tilde{f}_i = f_i(x_j, t, \rho + \tilde{\rho}, m + \tilde{m}, \epsilon + \tilde{\epsilon}) - f_i(x_j, t, \rho, m, \epsilon), \quad i=1,2,3,$$

а неязки

$$\varphi_1 = \frac{d \varphi}{dt} + m_{\tilde{x}} - f_1 ,$$

$$\varphi_2 = \frac{d m}{dt} + \left(\frac{m}{\rho} \right)_{(0.5)} m_{(0.5)} + P_{\tilde{x}} - f_2 ,$$

$$\varphi_3 = \frac{d(\rho \epsilon)}{dt} + (m \epsilon)_{\tilde{x}} + P \left(\frac{m}{\rho} \right)_{\tilde{x}} - f_3 ,$$

порядок которых в каждой точке составляет $O(h^4)$, представляют собой погрешность аппроксимации. Учитывая, что

$$\tilde{m} = (\rho + \tilde{\rho}) \tilde{v} + \tilde{\rho} \cdot \frac{m}{\rho} ,$$

представим

$$\begin{aligned} \frac{d \tilde{m}}{dt} + \left(\frac{m}{\rho} \right) \tilde{m}_{\tilde{x}} = \frac{d((\rho + \tilde{\rho}) \tilde{v})}{dt} + \frac{d(\tilde{\rho} \cdot \frac{m}{\rho})}{dt} + \left(\frac{m}{\rho} \right) \tilde{m}_x = \\ = \frac{d((\rho + \tilde{\rho}) \tilde{v})}{dt} + \tilde{\rho} \frac{d(m)}{dt} + \frac{m}{\rho} \left(\frac{d \tilde{\rho}}{dt} + \tilde{m}_{\tilde{x}} \right) , \end{aligned}$$

и используя очевидное равенство

$$(uv)_{\tilde{x}} = uv_{\tilde{x}} + u_{\tilde{x}} v + \frac{h}{2} (u_x v_{\tilde{x}} - u_{\tilde{x}} v_{\tilde{x}}) ,$$

представим

$$\frac{d}{dt} ((\rho + \tilde{\rho}) \tilde{\epsilon} + \tilde{\rho} \epsilon) + (\tilde{m} \epsilon)_{\tilde{x}} = \frac{d((\rho + \tilde{\rho}) \tilde{\epsilon})}{dt} + \tilde{\rho} \frac{d \epsilon}{dt} +$$

$$+ \varepsilon \left(\frac{d\tilde{\rho}}{dt} + \tilde{m}_{\tilde{x}} \right) + \tilde{m}\varepsilon_{\tilde{x}} + \frac{h}{2} (\tilde{m}_x \varepsilon_x - \tilde{m}_{\tilde{x}} \varepsilon_{\tilde{x}}).$$

Тогда с использованием (2.1a) уравнения (2.1a)-(2.1b) принимают следующий вид соответственно:

$$\frac{d\tilde{\rho}}{dt} + ((\rho + \tilde{\rho})\tilde{v}_{\tilde{x}})_{\tilde{x}} + (\tilde{\rho} \frac{m}{\rho})_{\tilde{x}} = -\varphi_1 + \tilde{f}_1, \quad (2.2)$$

$$\frac{d((\rho + \tilde{\rho})\tilde{v})}{dt} + \tilde{\rho} \frac{d(\frac{m}{\rho})}{dt} + \frac{1}{4} \tilde{m}(t) \left(\frac{m}{\rho} \right)_{\tilde{x}} + \frac{1}{4} \tilde{m}(t) \tilde{v}_x +$$

$$+ \frac{1}{4} m(t) \tilde{v}_{\tilde{x}} + \frac{1}{4} \tilde{m}(t) \left(\frac{m}{\rho} \right)_{\tilde{x}} + \frac{1}{4} \tilde{m}(t) \tilde{v}_{\tilde{x}} +$$

$$+ \frac{1}{4} m(t) \tilde{v}_{\tilde{x}} + \frac{1}{2} \tilde{m} \left(\frac{m}{\rho} \right)_{\tilde{x}} + \frac{1}{2} \tilde{m} \tilde{v}_x + \frac{1}{2} m \tilde{v}_{\tilde{x}} +$$

$$+ m_{\tilde{x}} \tilde{v} + \tilde{m}_{\tilde{x}} \tilde{v} + (y-1)(\tilde{\rho}\varepsilon)_{\tilde{x}} + (y-1)(\rho\varepsilon)_{\tilde{x}} +$$

$$+ (y-1)(\tilde{\rho}\varepsilon)_{\tilde{x}} + \frac{m}{\rho} (-\varphi_1 + \tilde{f}_1) = -\varphi_2 + \tilde{f}_2, \quad (2.2)$$

$$\frac{d((\rho + \tilde{\rho})\tilde{\varepsilon})}{dt} + \tilde{\rho} \frac{d\varepsilon}{dt} + \tilde{m}\varepsilon_{\tilde{x}} + \frac{h}{2} (\tilde{m}_x \varepsilon_x - \tilde{m}_{\tilde{x}} \varepsilon_{\tilde{x}}) +$$

$$+ m\tilde{\varepsilon}_{\tilde{x}} + m_{\tilde{x}} \tilde{\varepsilon} + \frac{h}{2} (m_x \tilde{\varepsilon}_x - m_{\tilde{x}} \tilde{\varepsilon}_{\tilde{x}}) + (\tilde{m}\tilde{\varepsilon})_{\tilde{x}} +$$

$$+ \tilde{\rho} \left(\frac{m}{\rho} \right)_{\tilde{x}} + \tilde{\rho} \tilde{v}_{\tilde{x}} + (y-1)\rho\varepsilon \tilde{v}_{\tilde{x}} + \varepsilon (-\varphi_1 + \tilde{f}_1) =$$

$$= -\varphi_3 + \tilde{f}_3. \quad (2.2b)$$

Умножим скалярно (2.2a) на $(y-1)\varepsilon\tilde{\rho}$, (2.2b) на $((\rho + \tilde{\rho})\tilde{v})$ и (2.2b) на $\varepsilon^2(\rho + \tilde{\rho})\tilde{\varepsilon}$. Получаем

$$(y-1) \left(\varepsilon \tilde{\rho}, \frac{d\tilde{\rho}}{dt} \right) + (y-1) \left(\varepsilon \tilde{\rho}, ((\rho + \tilde{\rho})\tilde{v})_{\tilde{x}} \right) + \sum_{i=1}^3 G_i = 0, \quad (2.3a)$$

$$\frac{1}{2} \frac{d}{dt} \|(\rho + \tilde{\rho})\tilde{v}\|^2 + (y-1)((\rho + \tilde{\rho})\tilde{v}, (\tilde{\rho}\varepsilon)_{\tilde{x}}) + \sum_{i=4}^{12} G_i = 0, \quad (2.3b)$$

$$\left(\varepsilon^{-1}(\rho + \tilde{\rho})\tilde{\epsilon}, \frac{d((\rho + \tilde{\rho})\tilde{\epsilon})}{dt} \right) + \sum_{i=14}^{23} G_i = 0, \quad (2.3B)$$

ग्रन्थ

$$G_1 = (\gamma - 1) \left(\varepsilon \tilde{\rho}, \left(\tilde{\rho} \frac{m}{\rho} \right)_x \right),$$

$$G_2 = (\gamma - 1) \left(\varepsilon \tilde{\rho}, \varphi_x \right),$$

$$G_3 = (\gamma - 1) \left(\varepsilon \tilde{\rho}, -\tilde{f}_x \right).$$

$$G_4 = \left((\rho + \tilde{\rho}) \tilde{v}, \tilde{\rho} \frac{d(m)}{dt} \right),$$

$$G_5 = \left((\rho + \tilde{\rho}) \tilde{v}, \frac{1}{4} \tilde{m}(\epsilon + 1) \left(\frac{m}{\rho} \right)_x + \frac{1}{4} \tilde{m}(-1) \left(\frac{m}{\rho} \right)_x + \frac{1}{2} m \left(\frac{m}{\rho} \right)_x \right),$$

$$G_6 = \left((\rho + \tilde{\rho}) \tilde{v}, \frac{1}{4} \tilde{m}(\epsilon + 1) \tilde{v}_x + \frac{1}{4} \tilde{m}(-1) \tilde{v}_{\bar{x}} + \frac{1}{2} \tilde{m} \tilde{v}_x \right),$$

$$G_7 = \left((\rho + \tilde{\rho}) \tilde{v}, \frac{1}{4} m(\epsilon + 1) \tilde{v}_x + \frac{1}{4} m(-1) \tilde{v}_{\bar{x}} + \frac{1}{2} m \tilde{v}_x \right),$$

$$G_8 = \left((\rho + \tilde{\rho}) \tilde{v}, m_x \tilde{v} \right),$$

$$G_9 = \left((\rho + \tilde{\rho}) \tilde{v}, \tilde{m}_x \tilde{v} \right),$$

$$G_{10} = (\gamma - 1) \left((\rho + \tilde{\rho}) \tilde{v}, (\rho \tilde{\epsilon})_x \right),$$

$$G_{11} = (\gamma - 1) \left((\rho + \tilde{\rho}) \tilde{v}, (\tilde{\rho} \tilde{\epsilon})_x \right),$$

$$G_{12} = \left((\rho + \tilde{\rho}) \tilde{v}, -\frac{m}{\rho} \varphi_x + \varphi_{\bar{x}} \right),$$

$$G_{13} = \left((\rho + \tilde{\rho}) \tilde{v}, \frac{m}{\rho} \tilde{f}_1 - \tilde{f}_x \right),$$

$$G_{14} = \left(\varepsilon^{-1}(\rho + \tilde{\rho}) \tilde{\epsilon}, \tilde{\rho} \frac{d \varepsilon}{dt} \right),$$

$$G_{15} = \left(\varepsilon^{-1}(\rho + \tilde{\rho}) \tilde{\epsilon}, \tilde{m} \varepsilon_x + \frac{h}{2} (\tilde{m}_x \varepsilon_x - m_{\bar{x}} \varepsilon_{\bar{x}}) \right),$$

$$G_{16} = \left(\varepsilon^{-1}(\rho + \tilde{\rho}) \tilde{\epsilon}, m \tilde{\varepsilon}_x \right),$$

$$G_{17} = \left(\varepsilon^{-1}(\rho + \tilde{\rho}) \tilde{\epsilon}, m_x \tilde{\varepsilon} + \frac{h}{2} (m_x \tilde{\varepsilon}_x - m_{\bar{x}} \tilde{\varepsilon}_{\bar{x}}) \right),$$

$$G_{18} = \left(\varepsilon^{-1}(\rho + \tilde{\rho}) \tilde{\epsilon}, (\tilde{m} \tilde{\varepsilon})_x \right),$$

$$G_{19} = \left(\varepsilon^{-1}(\rho + \tilde{\rho}) \tilde{\epsilon}, \tilde{\rho} \left(\frac{m}{\rho} \right)_x \right),$$

ମୁଦ୍ରଣକାରୀ
ଓର୍ବଲ୍ ପାଇନ୍ସ
୧୯୬୩ ମୁହଁନାତିବାବୁ

$$G_{20} = (\epsilon^{-1}(\rho + \tilde{\rho})\hat{e}, \tilde{\rho}\tilde{v}_{\frac{x}{2}}),$$

$$G_{21} = (\gamma - 1)((\rho + \tilde{\rho})\hat{e}, \rho\tilde{v}_{\frac{x}{2}}),$$

$$G_{22} = (\epsilon^{-1}(\rho + \tilde{\rho})\hat{e}, -\epsilon\omega_1 e_3),$$

$$G_{23} = (\epsilon^{-1}(\rho + \tilde{\rho})\hat{e}, \epsilon\tilde{f}_1 - \tilde{f}_2).$$

Рассмотрим сумму уравнений (2.3a)–(2.3e). Используя лемму I, получаем

$$\begin{aligned} & (\gamma - 1) \left(\epsilon \tilde{\rho}, \frac{d \tilde{\rho}}{dt} \right) + \frac{1}{2} \frac{d}{dt} \|(\rho + \tilde{\rho})\tilde{v}\|^2 + \\ & + \left(\epsilon^{-1}(\rho + \tilde{\rho})\hat{e}, \frac{d((\rho + \tilde{\rho})\hat{e})}{dt} \right) + \sum_{i=1}^{23} G_i = 0. \end{aligned} \quad (2.4)$$

Сначала преобразуем G_2 , используя лемму 4:

$$\begin{aligned} G_2 &= \frac{1}{4} ((\rho + \tilde{\rho})\tilde{v}, m(+1)\tilde{v}_x + m(-1)\tilde{v}_{\bar{x}}) + \frac{1}{2} ((\rho + \tilde{\rho})\tilde{v}, m\tilde{v}_{\frac{x}{2}}) = \\ &= -\frac{1}{2} (m((\rho + \tilde{\rho})\tilde{v})_{\frac{x}{2}}, \tilde{v}) - \frac{1}{2} ((\rho + \tilde{\rho})\tilde{v}, m_{\frac{x}{2}}\tilde{v}) + \\ &+ \frac{1}{2} ((\rho + \tilde{\rho})\tilde{v}, m\tilde{v}_{\frac{x}{2}}) = \frac{1}{2} ((\rho + \tilde{\rho})\tilde{v}, (m\tilde{v})_{\frac{x}{2}}) + \frac{1}{2} ((\rho + \tilde{\rho})\tilde{v}, m\tilde{v}_{\frac{x}{2}}) - \\ &- \frac{1}{2} ((\rho + \tilde{\rho})\tilde{v}, m_{\frac{x}{2}}\tilde{v}) = \frac{1}{2} ((\rho + \tilde{\rho})\tilde{v}, m\tilde{v}_{\frac{x}{2}}) + \frac{1}{2} ((\rho + \tilde{\rho})\tilde{v}, m_{\frac{x}{2}}\tilde{v}) + \\ &+ \frac{1}{4} ((\rho + \tilde{\rho})\tilde{v}, m_x\tilde{v}_x - m_{\bar{x}}\tilde{v}_{\bar{x}}) + \frac{1}{2} ((\rho + \tilde{\rho})\tilde{v}, m\tilde{v}_{\frac{x}{2}}) - \\ &- \frac{1}{2} ((\rho + \tilde{\rho})\tilde{v}, m_{\frac{x}{2}}\tilde{v}) = ((\rho + \tilde{\rho})\tilde{v}, m\tilde{v}_{\frac{x}{2}}) + \\ &+ \frac{1}{4} ((\rho + \tilde{\rho})\tilde{v}, m_x\tilde{v}_x - m_{\bar{x}}\tilde{v}_{\bar{x}}) = (\rho\tilde{v}, m\tilde{v}_{\frac{x}{2}}) + (\tilde{\rho}\tilde{v}, m\tilde{v}_{\frac{x}{2}}) + \\ &+ \frac{1}{4} ((\rho + \tilde{\rho})\tilde{v}, m_x\tilde{v}_x - m_{\bar{x}}\tilde{v}_{\bar{x}}) = G_{24} + G_{25} + G_{26}. \end{aligned}$$

Далее, преобразуем сумму $G_{10} + G_{21}$:

$$\begin{aligned}
 G_{10} + G_{21} &= (\gamma-1)((\rho+\tilde{\rho})\tilde{v}, (\rho\tilde{e})_x) + \\
 &+ (\gamma-1)((\rho+\tilde{\rho})\tilde{e}, \rho\tilde{v}_x) = (\gamma-1)(-(((\rho+\tilde{\rho})\tilde{v})_x, \rho\tilde{e}) + \\
 &+ ((\rho+\tilde{\rho})\tilde{v}_x, \rho\tilde{e})) = (\gamma-1)(-((\rho+\tilde{\rho})_x\tilde{v}, \rho\tilde{e}) - \\
 &- \frac{1}{2}((\rho+\tilde{\rho})_x\tilde{v}_x - (\rho+\tilde{\rho})_x\tilde{v}_x, \rho\tilde{e})) = \\
 &= -(\gamma-1)(\rho_x\tilde{v} + \frac{1}{2}(\rho_x\tilde{v}_x - \rho_x\tilde{v}_x), \rho\tilde{e}) - \\
 &- (\gamma-1)(\tilde{\rho}_x\tilde{v} + \frac{1}{2}(\tilde{\rho}_x\tilde{v}_x - \tilde{\rho}_x\tilde{v}_x), \rho\tilde{e}) = G_{27} + G_{28}.
 \end{aligned}$$

Учитывая также, что

$$\begin{aligned}
 (\gamma-1)(\epsilon\tilde{\rho}, \frac{d\tilde{\rho}}{dt}) &= \frac{\gamma-1}{2}(\epsilon, \frac{d}{dt}(\tilde{\rho}^2)) = \\
 &= \frac{\gamma-1}{2}\frac{d}{dt}[(\epsilon, \tilde{\rho}^2)] - \frac{\gamma-1}{2}\left(\frac{d\epsilon}{dt}, \tilde{\rho}^2\right), \\
 (\epsilon^{-1}(\rho+\tilde{\rho})\tilde{e}, -\frac{d((\rho+\tilde{\rho})\tilde{e})}{dt}) &= \frac{1}{2}\frac{d}{dt}\left[(\epsilon^{-1}((\rho+\tilde{\rho})\tilde{e}))^2\right] - \\
 &- \frac{1}{2}\left(\frac{d(\epsilon^{-1})}{dt}, ((\rho+\tilde{\rho})\tilde{e})^2\right),
 \end{aligned}$$

окончательно получаем

$$\begin{aligned}
 \frac{1}{2}\frac{d}{dt}\left[(\gamma-1)(\epsilon, \tilde{\rho}^2) + \|(\rho+\tilde{\rho})\tilde{v}\|^2 + \right. \\
 \left. + \left(\frac{1}{\epsilon}, ((\rho+\tilde{\rho})\tilde{e})^2\right)\right] + \sum_{i=1}^{30} G_i &= 0, \\
 i \neq 7, 10, 21
 \end{aligned} \tag{2.5}$$

где

$$G_{29} = -\frac{\chi-1}{2} \left(\frac{d\epsilon}{dt}, \tilde{p}^2 \right), \quad G_{30} = -\frac{1}{2} \left(\frac{d(\epsilon^{-1})}{dt}, ((\rho + \tilde{\rho})\hat{\epsilon})^2 \right).$$

В дальнейшем через M будем обозначать положительную константу, которая не зависит от \hbar . При этом значение величины M не будем уточнять. Для нас важно само существование такой константы. Оценим каждое слагаемое (2.5) в отдельности:

$$\begin{aligned} |G_1| &= (\chi-1) / \left(\epsilon \tilde{\rho}, \left(\tilde{\rho} \frac{m}{\rho} \right)_x \right) = (\chi-1) / \left(\epsilon \tilde{\rho}, \tilde{\rho}_x \frac{m}{\rho} \right) + \\ &+ \left(\epsilon \tilde{\rho}, \tilde{\rho} \left(\frac{m}{\rho} \right)_x \right) + \left(\epsilon \tilde{\rho}, \frac{1}{2} \tilde{\rho}_x \left(\frac{m}{\rho} \right)_x - \right. \\ &\left. - \tilde{\rho}_x \left(\frac{m}{\rho} \right)_{xx} \right) \leq M \|\tilde{\rho}\|^2, \end{aligned} \quad (\text{лемма 3});$$

$$|G_2| \leq M (\|\tilde{\rho}\|^2 + \|\varphi\|^2),$$

где $\|\varphi\|^2 = \max(\|\varphi_1\|^2, \|\varphi_2\|^2, \|\varphi_3\|^2)$.

Поскольку f_1 удовлетворяет условию Липшица по переменным ρ, m, ϵ , имеем:

$$|G_3| \leq M (\|\tilde{\rho}\|^2 + \|\tilde{m}\|^2 + \|\tilde{\epsilon}\|^2),$$

$$|G_4| \leq M ((\rho + \tilde{\rho}) \tilde{V})^2 + \|\tilde{\rho}\|^2,$$

$$|G_5| \leq M ((\rho + \tilde{\rho}) \tilde{V})^2 + \|\tilde{m}\|^2.$$

Используя лемму 2, можно оценить

$$\begin{aligned} |G_6| &\leq M ((\rho + \tilde{\rho}) \tilde{V})^2 + \hbar^{-1} \|\tilde{m} \tilde{V}\|^2 \leq M ((\rho + \tilde{\rho}) \tilde{V})^2 + \\ &+ \hbar^{-3} \|\tilde{m}\|^2 \|\tilde{V}\|^2 \leq M ((\rho + \tilde{\rho}) \tilde{V})^2 + \hbar^{-3} (\|\tilde{m}\|^4 + \|\tilde{V}\|^4). \end{aligned}$$

Применяя аналогичную методику оценок, мы можем оценить все G_i , $i = \overline{8, 30}$ ($i \neq 10, 21$), и из (2.5) получаем:

$$\begin{aligned} \frac{d}{dt} \left[(\gamma-1)(\varepsilon, \tilde{\rho}^2) + \|(\rho+\tilde{\rho})\tilde{v}\|^2 + \left(\frac{1}{\varepsilon}, ((\rho+\tilde{\rho})\tilde{\varepsilon})^2 \right) \right] &\leq \\ &\leq M \left(\|\tilde{\rho}\|^2 + \|\tilde{v}\|^2 + \|(\rho+\tilde{\rho})\tilde{v}\|^2 + \|\tilde{m}\|^2 + \|\tilde{\varepsilon}\|^2 + \|(\rho+\tilde{\rho})\tilde{\varepsilon}\|^2 + \|\tilde{\rho}\|^2 + \right. \\ &\quad \left. + n^{-3} (\|\tilde{\rho}\|^4 + \|\tilde{v}\|^4 + \|\tilde{m}\|^4 + \|\tilde{\varepsilon}\|^4 + \|\tilde{\rho}\|^4) \right) + M \|\varphi\|^2. \end{aligned}$$

Учитывая, что

$$\begin{aligned} \|\tilde{v}\|^2 &\leq M \|(\rho+\tilde{\rho})\tilde{v}\|^2, \\ \|\tilde{\varepsilon}\|^2 &\leq M \|(\rho+\tilde{\rho})\tilde{\varepsilon}\|^2, \\ \|\tilde{m}\|^2 &\leq M \left(\|(\rho+\tilde{\rho})\tilde{v}\|^2 + \|\tilde{\rho}\|^2 \right), \\ \|\tilde{\rho}\|^2 &\leq M \left(\|(\rho+\tilde{\rho})\tilde{\varepsilon}\|^2 + \|\tilde{\rho}\|^2 \right), \\ \alpha^4 + \beta^4 &\leq (\alpha^2 + \beta^2)^2, \end{aligned}$$

окончательно получаем

$$\begin{aligned} \frac{d}{dt} \left[(\gamma-1)(\varepsilon, \tilde{\rho}^2) + \|(\rho+\tilde{\rho})\tilde{v}\|^2 + \left(\frac{1}{\varepsilon}, ((\rho+\tilde{\rho})\tilde{\varepsilon})^2 \right) \right] &\leq \\ &\leq M \left[\|\tilde{\rho}\|^2 + \|(\rho+\tilde{\rho})\tilde{v}\|^2 + \|(\rho+\tilde{\rho})\tilde{\varepsilon}\|^2 + \right. \\ &\quad \left. + n^{-3} (\|\tilde{\rho}\|^2 + \|(\rho+\tilde{\rho})\tilde{v}\|^2 + \|(\rho+\tilde{\rho})\tilde{\varepsilon}\|^2)^2 \right] + M \|\varphi\|^2. \end{aligned} \tag{2.6}$$

Пусть постоянная M_1 выбирается следующим образом:

$$M_1 = \max \left\{ \sup_{\tilde{\rho}} \frac{1}{\varepsilon^{(\gamma-1)}}, 1, \sup_{\tilde{\rho}} \varepsilon \right\}.$$

Тогда

$$\|\tilde{\rho}\|^2 + \|(\rho+\tilde{\rho})\tilde{v}\|^2 + \|(\rho+\tilde{\rho})\tilde{\varepsilon}\|^2 \leq M_1 Q,$$

где

$$Q = Q(t) = (\gamma - 1)(\varepsilon, \tilde{\rho}^2) + \|(\rho + \tilde{\rho})\tilde{v}\|^2 + \left(\frac{1}{\varepsilon}, ((\rho + \tilde{\rho})\tilde{e})^2\right).$$

Учитывая эти неравенства, (2.6) можно записать в виде

$$\frac{dQ}{dt} \leq M(Q + h^{-3}Q^2 + \|\varphi\|^2), \quad Q(0) = 0.$$

Проинтегрируем это неравенство:

$$\begin{aligned} Q(t) &\leq M \int_0^t (Q + h^{-3}Q^2) d\tau + M \int_0^t \|\varphi\|^2 d\tau \leq \\ &\leq M \int_0^t (Q + h^{-3}Q^2) d\tau + M \int_0^T \|\varphi\|^2 d\tau. \end{aligned}$$

Используя теорию интегральных неравенств /8/, можно доказать, что $Q(t)$ ограничено решением задачи

$$\frac{dU}{dt} = M(U + h^{-3}U), \quad U(0) = M \int_0^T \|\varphi\|^2 d\tau,$$

которое можно записать в явном виде:

$$\begin{aligned} U(t) &= \left[1 + h^{-3}M \left(\int_0^T \|\varphi\|^2 d\tau \right) (1 - e^{Mt}) \right]^{-1} \times \\ &\times M \left(\int_0^T \|\varphi\|^2 d\tau \right) e^{Mt}. \end{aligned} \quad (2.7)$$

Теорема. Пусть выполнены условия, которые в области $\Sigma = \{(x, t), x \in (-\infty, +\infty), t \in [0, T]\}$ гарантируют существование и периодическое по x гладкого решения класса $C^{3,1}(\bar{\Omega})$ задачи (I.1)-(I.2); $\varepsilon(x, t)$, $\rho(x, t) \geq \delta = \text{const} > 0$.

Пусть функции f_1, f_2, f_3 удовлетворяют условию Липшица относительно переменных ρ, m, ε . Тогда существует $h = \text{const} > 0$ такое, что при $h \leq \bar{h}$ решение задачи (I.3)-(I.4) существует и единственно на $[0, T]$, а также имеет место оценка

$$\|\tilde{\rho}\|, \|\tilde{v}\|, \|\tilde{e}\| = O(h^2),$$

$$\|\tilde{\rho}\|_C, \|\tilde{m}\|_C, \|\tilde{\varepsilon}\|_C = O(h^{3/2}).$$

Доказательство. Рассмотрим равенство (2.7). Так как $\|\varphi\|^2 = O(h^4)$, то можно выбрать h_0 таким образом, что будет выполнено неравенство

$$1 + h^{+3} M \left[\int_0^T \|\varphi\|^2 dt \right] (1 - e^{Mt}) \geq \frac{1}{2} \quad \forall t \in [0, T],$$

когда $h < h_0$. Отсюда можно заключить, что

$$Q(t) \leq M_2 e^{Mt} h^4 = O(h^4),$$

где M_2 взята из условия $2M \int_0^T \|\varphi\|^2 dt \leq M_2 h^4$.

Тогда

$$\begin{aligned} \|\tilde{\rho}\|^2 + \|\tilde{m}\|^2 + \|\tilde{\varepsilon}\|^2 &\leq M_3 (\|\tilde{\rho}\|^2 + \|(\rho + \tilde{\rho})\tilde{v}\|^2 + \\ &+ \|(\rho + \tilde{\rho})\tilde{\varepsilon}\|^2) \leq M_3 M_1 Q \leq M_1 M_2 M_3 e^{Mt} h^4 = O(h^4). \end{aligned} \tag{2.8}$$

Используя неравенство

$$\|y\|^2 = \sum_{i=1}^N y_i^2 h \geq \max_i y_i^2 = h \|y\|_C^2,$$

можно подсчитать оценку в равномерной метрике:

$$\begin{aligned} \|\tilde{\rho}\|_C^2 + \|\tilde{m}\|_C^2 + \|\tilde{\varepsilon}\|_C^2 &\leq \frac{1}{h} (\|\tilde{\rho}\|^2 + \|\tilde{m}\|^2 + \|\tilde{\varepsilon}\|^2) \leq \\ &\leq \frac{1}{h} M_1 M_2 M_3 e^{Mt} h^4 = M_1 M_2 M_3 e^{Mt} h^3 = O(h^3). \end{aligned}$$

Отсюда вытекает, что

$$\|\tilde{\rho}\|_C, \|\tilde{m}\|_C, \|\tilde{\varepsilon}\|_C \leq \sqrt{M_1 M_2 M_3} e^{\frac{Mt}{2}} h^{\frac{3}{2}} = O(h^{3/2}). \tag{2.9}$$

Оценки (2.8), (2.9) справедливы до первого пересечения решения задачи (I.3)-(I.4) с границей компакта F . Чтобы показать существование и единственность решений (I.3)-(I.4), а также сходимость к решению задачи (I.1)-(I.2) в интервале

$[0, T]$, достаточно показать, что существует $\bar{h} = \text{const} > 0$ избыточно и при $h \leq \bar{h}$ решение (I.3)-(I.4) пересекает границу F на плоскости $t=T$.

Действительно, для этого достаточно взять $\bar{h} = \min(h_0, h_1)$, где h_1 определяется с помощью оценок (2.9) и неравенства

$$\begin{aligned}\|\tilde{\rho}\|_C, \|\tilde{m}\|_C, \|\tilde{\varepsilon}\|_C &\leq \sqrt{M_1 M_2 M_3} e^{\frac{Mt}{2}} h_1^{\frac{3}{2}} \leq \\ &\leq \sqrt{M_1 M_2 M_3} e^{\frac{Mt}{2}} h_1^{\frac{3}{2}} < \frac{\delta}{2}.\end{aligned}$$

Тем самым теорема доказана.

В заключение заметим, что доказательство сходимости двумерного аналога (I.3) дифференциально-разностной схемы проводится аналогично с использованием вспомогательных утверждений из /3/.

Поступила 20.IX.1989

Кафедра математического обеспечения ЭВМ

Литература

1. Г.В. Меладзе, Д.В. Попхишвили. О сходимости консервативной дифференциально-разностной схемы газовой динамики в эйлеровых координатах. Ж. вычисл. матем. и матем. физ., 1985, т. 25, № 6, с. 850–859.
2. Д.В. Попхишвили. Сходимость полностью консервативной дифференциально-разностной схемы газовой динамики в эйлеровых координатах. Тр. ИИМ ТГУ, Тбилиси, 1985, т. 15, с. 294–297.

3. Н.О.Джгамадзе, Г.В.Меладзе, Д.В.Поткимвили. Сходимость полностью консервативной дифференциально-разностной схемы газовой динамики в двумерном случае в переменных Эйлера. Депон. в ГрузНИИТИ, 1987, № 340, 32 с.
4. А.В.Кузьмин, Л.В.Макаров, Г.В.Меладзе. Об одной полностью консервативной разностной схеме для уравнения газовой динамики в переменных Эйлера. Ж.вычисл.матем. и матем. физ., 1980, т.20, № 1, с.171-181.
5. А.А.Самарский, Ю.П.Попов. Разностные методы решения задач газовой динамики. М.: Наука, 1980.
6. Kuo Pen-Yo, Wu Hua-Mo. Numerical solution of K.D.V. equation. J.Math. Analys and Applic., 1981, v. 82, p.334-345.
7. В.И.Арнольд. Обыкновенные дифференциальные уравнения. М.: Наука, 1975.
8. И.Т.Кигурадзе. Некоторые сингулярные краевые задачи для обыкновенных дифференциальных уравнений. Тбилиси: Изд. ТГУ, 1975.

კ, მერაძე, გ, ცერვაძე

მაგალი მინისტრის მიზანისამისართ - ხუთიაშვილი საქართველოს
კურატობის გამარჯვე კიდევების ფლიჭის

ჩ ე ბ ი უ მ კ

გამური მინისტრის განცოლებათა სისუმოსათვის გამურის განცოლებუ-
ლის სრულიარ კონსერვაციი გივერცხუალუ-სხვაობიანი სერიის კუ-
ბიდობა ვიღების ცვლილები გრავ ამობსნათა კრასნი (განხილულია
მიერადი გავის შემთხვევა),

H.Meladze, G.Tseretsvadze

ON THE CONVERGENCE OF DIFFERENCE - DIFFERENTIAL
SCHEMES OF GAS DYNAMICS IN EULER VARIABLES

Summary

The convergence of the completely conservative difference-differential scheme for a system of gas dynamic equations in Euler variables in the class of smooth solutions is proved. (The case of ideal gas is discussed).

Труды Тбилисского государственного университета
им. И.Джавахишвили

ივ. აკადემიკების სახ. დიპლომს სახელმწიფო
უნივერსიტეტის მრომები

298, 1990

გამოცემის დასახის ასახვის პრეცესის "კონკორდ"

მოზარდებულის მიმღები აქტები

ნ. მერეკოვი

გამოცემის ფერნიკების და მისი კომპლექტურის ნარმოების
განვითარებამ ჩააჩარის სახარხო განადების ბანკი საფეხურების
გამოცემის ფერნიკების ბანკისა.

სამამულო ნარმოება გამოცემის ფერნიკების სახარხო კომ-
პლექტის რამდენიმე ჭია კუვების. ყველა ეს კომპლექტი გათვალის-
წინებულია რესულერიკუნი მომხმარებლისათვას.

მოღონები უზრუნველი მოძრაობის აღმაკობამ და ქართული
ენის კონკრეტული გამოცემის განვითარებამ ქაოვნების მიერ ნებრიგში ჩააყე-
ნა ქართულენოვანი მიმმართვისათვას გათვალისწინებული გამოცე-
მის ფერნიკების სახარხო კომპლექტის არსებობის პრინციპი.

მოცემული სტატუს ამ პრინციპის გადაწყვეტის უზრუნველყოფის ან-
ანც ნარმატივების. მატურ კომპლექტსა და აღნებული იქნა გამოცემით
დარიკეს სახარხო კომპლექტის "კონკორდ". მოგერინიაციის შემთხვევა
გარაკუდებულ დანა კომპლექტის შემავალი კომპლექტები და მისი ბა-
ზური პროცესურულ უზრუნველყოფა, რომელიც აღაპირებული იქნება ქარ-
თულენოვანი მომხმარებლის მომართვისათვას გათვალისწინებით. მოგერი-
ნიაციებულ კარიანცები მისახარე-კომპიუტერი მიმდინარეობს ქარ-
თულ ენაზე.

გამოცემით დარიკეს სახარხო კომპლექტის "კონკორდ"-ს მო-



କୁମରଲ୍ଲେଖିଳିଙ୍କ ଅପରାଧକୁର୍ତ୍ତର ଦୟାକୁରୂପରେ ଶିଳ୍ପିତ୍ତିଷ୍ଠ ନିର୍ମାଣକାରୀ-
କର୍ମଚାରୀଙ୍କ ଦ୍ୱାରା ପ୍ରକାଶିତ ଶିଳ୍ପିତ୍ତିଷ୍ଠ କିମ୍ବା କିମ୍ବା ଦ୍ୱାରା ଉପରେ ନିର୍ମାଣକାରୀ-
କର୍ମଚାରୀଙ୍କ ଦ୍ୱାରା ପ୍ରକାଶିତ ଶିଳ୍ପିତ୍ତିଷ୍ଠ କିମ୍ବା କିମ୍ବା ଦ୍ୱାରା ଉପରେ

ქართული კარიანტოსათვის გადვალისწინებული ნიშანგენერატორი რის საფეხველად აღმარცვის K01-8-ს კოდები, ქართული ასონიშნების ტრაფიკული მონაბაზები მოთაციებულია ქართული აღმარცვის კომისიუ- ლერული სფანდარტის შესაბამის სარეკომენდაციო წერილს შესაბამი- სავ /2/.

* ნიშანგენერატორის თოლეული ასონიშნის ტრაფიკული მიხა- ბულება ჩარმოადგენს მატრიცას 3X16, საიდანაც პრატიკულად ძა- მოიცენება მატრიცა 7X14. ასეთი მიზი მატრიცა საშუალებას იძ- ლეთ წრადიგებული იქნას სამხატვანი ქართული ასონიშნები მიეცო თავისი სირიაზით.

ქართველურაზე ასონიშნები გამოიძებულა დანაშაულად სამაფრანგო ლითენურ-რუსული კლავიშების ცვერზე /საბაც ასეთი თანაფრენა- მობა არსებობს/. ფეიქრობი, რომ ასეთი განმავლენა უფრო მოსა- ხერხებელია პრატიკულად მუშაობისათვის, რადგანაც კლავისტურა- ზე "ძრმად" მუშაობისათვის ფსიქოლიტურად უჭრო მარტიკილა კა- კმტირულის ფასი განმავლენა კლავისტურაზე, ჩამუშავებულია უფრო- და, რომელიც საშუალებას იძლევა მოვახდილთ ნებისმიერი კლა- ვის გარაულობება.

საშუალო კაბელურესტე ელექტრონული ღისკას იმიტორების საშუალებას იძლევა ფეოზონ კომპიუტერის არქიტექტურა. ასარატურ- ლად ეს საკატი მართვად წყდება: საჭიროა ტრაფიკული გამოახსენე- რებელ მეხსიერებაში გამოცენებული 16 კრაიტი ლეისტრის მიკრო- სქემები K565PY6 შეიცვალს 64 კრაიტი ლეისტრის K565PY5 მიკროსქემებით, რის შემდეგაც მიღორეა გამაცემითი 144 კრაიტი მოცულობის ელექტრონული ღისკა, რომელის გამოცენებაც იძლევა საკ- მაოდ მიმ ეფუძნს მონაცემთა რამებრთან ჩა ჭრასლაფრენორთან მუშა-

ომისამ, რადგანაც მათე მიმართვის მწო პრაჭოკულად ოპერა-
ტორ მექანიკურაშე მიმართვის მწოის უფრო უღიერესობია. ამისთან
ასეთი შეცველა საშუალებას იძლევა უფრო სწრაფა დამოკიდებით
კამინერესის ტრანზისური შესაძლებლობანი, რადგანაც შეცველის
შემჩერ 48 კრაიტი მოცულობის ერთი ტრანზისური ეჭანის ნაცვ-
ლად ტვარვს იგივე მოცულობის 4 ტრანზისური ეჭანის, რომელი-
განაც ერთ-ერთ ფორმაზე აუმჯობარობას აუმჯობარობას, ზორ დანარჩენ სამ-
ში შეიძლება მომზადებს "უგინსარო" ტანისახულება, შემჩერ კა
საჭიროების მიხედვით მოხდეს გადაზისა ერთ გამოსახვადი ეპ-
რანიგან მოუწერდე. /გარაზოდა მეცნიერება ხდება კოდერეტის ტრი-
მისარდველი კარის საშუალებიდა.

სასწავლო კომპიუტერები შემაცარი კომპიუტერები აღჭურვილი
არიან ბეისიკის ინფორმაციაზორის თი კუნძით: მისკური ვერსია
და მურმიც მეხსიერებაში ჩაწერილ ბეისიკის ინფორმაციაზორი
/MSX სტანდარტი /.: ამ კუნძის თოლეურ მოგიფირებას გა-
აჩინა დასერიუმებანი, ამიტომ მათ განიცილა მოგიანორის ჩე-
უძრებელია.

მაგრამ პროგრამული უბრუნველყოფის "გარაზარდულის"
ყველაზე მართვა გრძა შეცვლინებამა თარგმნა და შეცვლა, მა-
გრამ როცა საემე ეხება მეისიკის ინფორმაციაზორის ვერსიას,
რომელიც ჩაწერილა მურმიც მეხსიერებაში, ინფორმაციაში შეკ-
ლება მიიღოს შეაგრძით მიზარი ხასიათი, რადგანაც შემღებელი
კაზი მეხსიერების მოცულობით, გამოსავალი აუ შეკლება ერაოთ
მხოლოდ საწყისი ცენტრის. რეცლანსლაციით და მისი იპომიტაცი-
ით, რაც გამოანდონს უფრო მეხსიერების საკმარის მოცულობას
იმისათვის, რომ ინფორმაციაზორის შეცვლინებები უფრო ეფექტური
იყოს.

რაც მეღვება მისკურ დაიღებს, პროგრამულ უფლებების

უფრო ეფექტური გიალტისათვას, მისი " გაუსრდებისას" ძება-
ლია გამოვლენით ორი ხერხი: "გამეცას" /4/ და "კურის" ხერ-
ხი.

ა/ "გამეცას" ხერხი - როცა გვინდა პროგრამულ კორექ-
ციი /რომელიც მოცემულია ჩასაცვართ მორულის სახით/ რაიმე
ცვლილების შეტანა ან ფესტური იწყორდაციის ჩამატება, საჭირო
ხდება მისი "გამეცა" ტემოზ. ამის განხორციელებისათვას გაიხერია
სკელიალური უფლისა, რომელსაც შეუძლია კადების "გამეცა" და
შესამამისი მისამართების კორექტორება. მაგრამ, ეს პროგრამაში
გამოვლენებულია სტარასხვა პროცესური ცრისკერი, ეს ხერხი ვერ
იძღვა საჭარის ეფექტს.

ბ/ "კურის" ხერხი - ამ ხერხს ფართო იყენებენ პროგრა-
მულ პროცესურის ვარსკით გასწროვანებისათვის, მაგრამ თავისუფ-
რად შეიძლება მისი გამოვლენება უფრო სასარტყოც საქმისათვას.
მიმ მდგრადარს შემჩერი: ჩასაცვართ მორულის შემცველი ფარ-
ლის მოლობი დაება საჭირო მოდულის "მიმმა", სადაც ჩატერილია
შესამართისი შეცვლილებები. პროგრამის ჩატვართვას შემდეგ მართ-
ვა გაასაშება "მიმმერს" მიზანს, რომელიც ახდენს საკუთხი დაკა-
დარააგილებას მეტასინორების ჩრდა ნაზირი, აკედებს მოვრი წიგი
მისამართების მიზიდიცირებას და საკუთხი ძირი დარი მიმდევათ-
ვას ქმნის მეტსინორების დაცველ მიზანს. ძარისად პროტექტიში ტექ-
ნიკური "საციტი" იაღმიერებ პროგრამის ფუნქცია კ"ტრენირ შემც-
ველი მიმართს მეტსინორების "გაფერი" მოდულს, სადაც მიმარ-
თვის გადატენის შესინურებისი და გადატენის გადატენის შემცველი-
ბის შემცველ მართვა უსწურებელ საციტის" შემცველ მიმართვის
კოდერატორს ან პროგრამის რომელიმე ანგრეჯი მისამართს.

კამპუტერი შემაკავი ცალქაცეცხლის ბაზაზე იმპონენტური.
მუშაობს ჩეცაცივიც სისვება მისი 15/, რომელიც ცარცი-

ადგინს ოპერატორ სისტემა CP/M-80 გაფართოვულ კარიანტს.

წართურების მომხმარებლისათვის განკუთხილი თვეურაციული

სისტემა "ჯუჯა-როს" წარმოადგენს ამ ორი სისტემის სინაზის,

ამასთან შეცანა-ტარიფანის გამოყენების /B105-ის/ სა-

ფუძველი აღმართის 2.2 ვერსია /3/, საბაზუ გათვალისწინებულია

ელექტრონულ ჩილდენის მუშაობა და კავშიანურაზე ქართული ასონის-
ნების განვალების აზრითობა.

თვეურაციული სისტემა "ჯუჯა-როს"-ში ჩატაცებულია შემონ-
მების ძლიერი, რომელიც დაკავშირებულია მურმიც მეხსიერდაში ჩა-
ნერილ დაშიზრგვას ძლიერდა და ამონმებას თოლეული პროგრამული
პროგრამის შიგნის. ეს საშუალებას იძლევა საკმაო ეფექტიანად
გვირჩოთ პროგრამული პროგრამის არასანული მინიჭებულ ტრანსიტ-

ვას.

"ჯუჯა-როს" ვერსია 1.2 საშუალებას იძლევა კამუშათ
"თაგურიას" ტიპის მისამართით თვეურაციულ სისტემის ე.მ. "მე-
ტობრულ გარემოში", საბაზუ მუშაობა ზღვაზა მენეუს წყლიმში, ხოლ
ამონჩევა ინკრისირებული სფრინჯის გადაადგილებით "თაგურიას"
გამოყენებით.

მოსწავლის კომპიუტერზე ელექტრონულ ჩილდენის რეალიზაციის
შემთხვევაში შესაძლებლივა გვაუს ქსელს საშუალებით გაეგმოვ-
ნოთ მოსწავლის სამუშაო აღმიღებელ თვეურაციულ სისტემის მომიდა-
ცირებული ვარიანტი და კამუშათ ნებისმიერ პროგრამასთან, რო-
მეოცე საჭიროების დისტ.

თვეურაციული სისტემის ეს ვარიანტი მომიდაცირებულა
იმის გადაღისწინებით, რომ მოსწავლის სამუშაო აღმიღებით არა
გვაუს დისტამცვანები, ამასთან პრაქტიკულად ცვლა სამუშაო
პროგრამის გაგებავნა უნდა მოხდეს მასწავლებლის მმართველი კამ-
პიუფერიდან.



1. КУВТ "КОРВЕТ-ПК8020". Руководство системного программиста.
- 2."ინფორმაციის გამუშავების სისტემები. ქართული პროგრამების ასოციაციის გამოსახვა და კორინება რისპრეინგ ასასახარ და აღდამუშავებულ-ციფრულ საბეჭდო მოწყობილობაზე ჩასამოგებად"-
საქ. სსრ მეცნიერებათა აკადემიის განმარტებითი ნერილი
საქ. სსრ რესპუბლიკური სამართლების პროექტის მცხავებები.
თბილისი. 1988.
3. Скурыкин А.Н. и др., " BIOS версия 2.2", из-тво МГУ, 1988
4. Селицкий С.С., Сыркин М.М., "Процедура перемещения частей загрузочного модуля для микропроцессора KP580ИК80".
Микропроцессорные средства и системы. - № 4, 1987
5. Операционная система МикроДОС. Руководство системного программиста.

Н.С.Бенделiani

• НЕКОТОРЫЕ ВОПРОСЫ МОДЕРНИЗАЦИИ КУВТ "КОРВЕТ"

Резюме

В статье обсуждаются некоторые приемы аппаратной модернизации КУВТ "КОРВЕТ" и решение проблем адаптации существующего программного обеспечения для грузиноязычного потребителя.

N.Bendeliani

SOME QUESTIONS OF MODERNIZATION OF
KUVT "KORVET"

Summary

Some techniques of device modernization of KUVT "KORVET" are discussed as well as the solution of problem of adapting the existing programme provision for the Georgian-speaking consumer.

Труды Тбилисского государственного университета

им. И. Джавахишвили

ავ. ჯავახიშვილის სახ. დირიქტორი აახველები გვ.
უნივერსიტეტის მრიმები

298, 1990

О МАНИПУЛЯТОРЕ С ИСПОЛНИТЕЛЬНЫМ ОРГАНОМ
ТИПА "ХОБОТ"

М.И.Шилдигин, Н.Б.Лавреачук

При создании гибких производственных систем особое значение приобретают манипуляторы, которые могут быть применены на стадии, предшествующей конечной сборке механических узлов, т.е. когда затруднителен доступ "механическими руками" классической конструкции. Данная работа посвящена модели манипулятора с исполнительным органом типа "хобот", предназначенным для манипуляционных операций в труднодоступных местах металлоконструкций /1,2,3/.

I. Конструктивные особенности "хобота" манипулятора

"Хобот" манипулятора скомпонован по модульному принципу и состоит из идентичных модулей I, последовательно соединенных друг с другом. Основанием исполнительного органа служит ротационный модуль 2. На рис. I изображена кинематическая схема "хобота" манипулятора, а на рис. 2 - модуль "хобота" манипулятора, общий вид.

Каждый модуль I имеет основной сферический полый элемент 3 с цилиндрическим хвостиком 4, жестко закрепленный на платформе 5, и промежуточный полый сферический элемент 6 с цилиндрическим хвостиком 7. При этом цилиндрический хвост-

вик 7 установлен на цилиндрическом хвостовике основного сферического полого элемента 3 с возможностью изменения относительного положения, и оба этих элемента подпружинены друг относительно друга пружиной 8. Сферическая часть 6 промежуточного полого элемента соединена со сферической частью 9 основного полого элемента последующего модуля. Сферический элемент 9 жестко закреплен на платформе 10. По периферии модуля установлены силовые устройства II, например, гидравлические цилиндры. Корпуса гидравлических цилиндров шарнирно закреплены на платформе 5, а их штоки 12 — на платформе 10. Исполнительный орган манипулятора снабжен распределителями клапанами, установленными на платформе каждого модуля и связанными соответствующие силовые устройства с магистралью подачи рабочей среды. Причем, магистраль подачи рабочей среды расположена в полости, образованной сферическими полыми элементами модулей, а магистраль слива расположена вдоль исполнительного органа по периферии платформы.

"Хобот" манипулятора работает следующим образом. По команде устройства управления (Микро-ЭВМ) срабатывает определенная группа силовых устройств II, штоки 12 которых, выдвигаясь, поворачивают платформы 10 модулей относительно платформ 5, что позволяет осуществить изгиб "хобота" и придать ему определенную необходимую конфигурацию. При этом схват (либо инструмент), расположенный на платформе последнего модуля "хобота", перемещается в заданную область рабочего пространства. Платформы 10 модулей удерживаются штоками 12 силовых устройств и опираются на промежуточные полые сферические элементы 6, которые подпружинены 8 и обеспечивают достаточную жесткость при обработке определенных конфигураций "хобота".

бота" манипулятора.

2. Описание кинематической схемы "хобота" манипулятора в декартовой системе координат

С платформой 5 i -ого модуля "хобота" связана декартова система координат $X_i Y_i Z_i$, а с платформой 10 $i + 1$ -го модуля декартовы системы координат $X'_i Y'_i Z'_i$ и $X'_{i+1} Y'_{i+1} Z'_{i+1}$ (рис.3,4). Силовые устройства (силовые гидроцилиндры) расположены по периферии модуля, причем ходу-ся этих силовых устройств шарнирно закреплены на платформе 5, а их штоки — на платформе 10. При этом центры "сферических тел" этих шарниров лежат в координатных плоскостях $X_i Y_i$ и $X'_i Y'_i$, а именно: центрами "сферических тел" шарниров являются точки P_{i1}, P_{i2}, P_{i3} и $P'_{i1}, P'_{i2}, P'_{i3}$ (рис.3,4), имеющие следующие координаты (см. таблицу I).

Примечание: r_i — радиус окружности с центром в точке $O_i (O'_i)$, на которой лежат точки P_{i1}, P_{i2}, P_{i3} ($P'_{i1}, P'_{i2}, P'_{i3}$).

С каждой декартовой системой координат связем представление в однородных координатах и для обозначения вектора в этих координатных системах воспользуемся записями:

$$V = (x, y, z)^t, \quad \tilde{V} = (w x, w y, w z, w)^t,$$

где w — произвольная константа ($w \neq 0$). Одним из преимуществ однородных координат является то, что движение в декартовой системе координат (т.е. преобразование вида $V' = UV + V''$, где V, V', V'' — трехмерные векторы, а U — ортогональная матрица размера 3×3) эквивалентно линейному преобразованию в однородных координат проективного пространст-

ва /4/.

Система координат $\mathcal{X}_{i+1}, \mathcal{Y}_{i+1}, \mathcal{Z}_{i+1}$ получается из системы координат $\mathcal{X}_i, \mathcal{Y}_i, \mathcal{Z}_i$ при помощи двух вращений и переносов, выполняемых в следующем порядке.

1. Перенос вдоль оси \mathcal{Z}_i на величину h_i , после которого начало координат окажется в точке O_i .

2. Выполнение двух эйлеровых поворотов на угол φ_i и угол θ_i (φ_i — угол рыскания, θ_i — угол танглаха).

3. Перенос вдоль оси \mathcal{Z}_{i+1} на величину R_i (R_i — расстояние между плоскостями, в которых лежат центры "сферических тел" P_{i1}, P_{i2}, P_{i3} и $P'_{i1}, P'_{i2}, P'_{i3}$) (рис.3).

Нетрудно проверить, что матрица

$$T_i = \begin{vmatrix} 1 & 0 & 0 & 0 \\ 0 & 1 & 0 & 0 \\ 0 & 0 & 1 & -h_i \\ 0 & 0 & 0 & 1 \end{vmatrix}$$

является оператором перемещения, который однородное представление вектора $(\mathcal{X}, \mathcal{Y}, \mathcal{Z})$ переводит в однородное представление вектора $(x, y, z - h_i)$.

Укажем матрицу W_i , соответствующую двум последовательным эйлеровым поворотам на угол φ_i и угол θ_i :

$$W_i = \begin{vmatrix} \cos\theta_i & \sin\varphi_i \sin\theta_i & -\cos\varphi_i \sin\theta_i & 0 \\ 0 & \cos\varphi_i & \sin\varphi_i & 0 \\ \sin\theta_i & -\sin\varphi_i \cos\theta_i & \cos\varphi_i \cos\theta_i & 0 \\ 0 & 0 & 0 & 1 \end{vmatrix}$$

Другими словами, если даны однородные координаты некоторой точки $V = (x, y, z)^t$ в системе координат $X'Y'Z'$, то произведение $\tilde{W}_i V$ дает однородные координаты той же самой точки в системе координат, получающейся двумя последовательными эйлеровыми поворотами на угол φ_i и угол θ_i .

Наконец, матрица:

$$\tilde{\epsilon}_i = \begin{vmatrix} 1 & 0 & 0 & 0 \\ 0 & 1 & 0 & 0 \\ 0 & 0 & 1 & -\alpha_i \\ 0 & 0 & 0 & 1 \end{vmatrix}$$

реализует смещение на величину α_i вдоль оси Z_{i+1} . Придерживаясь договоренности насчет обозначений, имеем:

$$\tilde{V}_{i+1} = \tilde{\epsilon}_i W_i T_i \tilde{V}_i, \quad A_i^t = \tilde{\epsilon}_i W_i T_i, \quad \tilde{V}_{i+1} = A_i \tilde{V}_i.$$

Так как каждая из трех матриц $\tilde{\epsilon}_i$, W_i , T_i имеет обратную, то

$$\tilde{V}_i = T_i^{-1} W_i^{-1} \tilde{\epsilon}_i^{-1} \tilde{V}_{i+1}.$$

Легко убедиться, что

$$T_i^{-1} = \begin{vmatrix} 1 & 0 & 0 & 0 \\ 0 & 1 & 0 & 0 \\ 0 & 0 & 1 & h_i \\ 0 & 0 & 0 & 1 \end{vmatrix}, \quad \tilde{\epsilon}_i^{-1} = \begin{vmatrix} 1 & 0 & 0 & 0 \\ 0 & i & 0 & 0 \\ 0 & 0 & 1 & \alpha_i \\ 0 & 0 & 0 & 1 \end{vmatrix}$$

$W_i^{-1} = W_i^t$, где W_i^t — транспонированная матрица, а именно:

$$W_i^t = \begin{vmatrix} \cos\theta_i & 0 & \sin\theta_i & 0 \\ \sin\varphi_i \sin\theta_i & \cos\varphi_i & -\sin\varphi_i \cos\theta_i & 0 \\ -\cos\varphi_i \sin\theta_i & \sin\varphi_i & \cos\varphi_i \cos\theta_i & 0 \\ 0 & 0 & 0 & 1 \end{vmatrix}$$

$$\text{Поэтому имеем: } C_i = T_i^{-1} W_i^t S_i^{-1}, \quad \tilde{V}_i = C_i \tilde{V}_{i+1}.$$

Возникает задача: вычислить расстояние между точками $P_i(x, y)$ и $P_i'(x, y)$, лежащими в плоскостях $\mathcal{X}_i Y_i$ и $\mathcal{X}'_i Y'_i$ на расстоянии h_i от точек O_i и O'_i .

($P_i(x, y)$, (x, y) - координаты точки P_i в системе координат $\mathcal{X}_i Y_i$, $P_i'(x, y)$, (x, y) - координаты точки P_i' в системе координат $\mathcal{X}'_i Y'_i$, $x^2 + y^2 = r^2$).

Вычислим координаты точки $P_i'(x, y)$ в системе координат $\mathcal{X}_i Y_i Z_i$:

$$\begin{vmatrix} \cos\theta_i & 0 & \sin\theta_i & 0 \\ \sin\varphi_i \sin\theta_i & \cos\varphi_i & -\sin\varphi_i \cos\theta_i & 0 \\ -\cos\varphi_i \sin\theta_i & \sin\varphi_i & \cos\varphi_i \cos\theta_i & h_i \\ 0 & 0 & 0 & 1 \end{vmatrix} \times \begin{bmatrix} x \\ y \\ 0 \\ 1 \end{bmatrix} =$$

$$= \begin{vmatrix} x \cos\theta_i \\ x \sin\varphi_i \sin\theta_i + y \cos\varphi_i \\ -x \cos\varphi_i \sin\theta_i + y \sin\varphi_i + h_i \\ 1 \end{vmatrix}$$

Обозначим расстояние между точками $P_i(x, y)$ и $P'_i(x, y)$ через $\ell_i(x, y)$.

Имеем уравнение:

$$(x - x \cos \theta_i)^2 + (x \sin \varphi_i \sin \theta_i + y \cos \varphi_i - y)^2 + \\ (x \cos \varphi_i \sin \theta_i + y \sin \varphi_i - h_i)^2 = \ell_i^2(x, y). \quad (2.1)$$

Уравнение (2.1) можно переписать так:

$$h_i^2 - 2x^2 \cos \theta_i - 2y^2 \cos \varphi_i - 2xy \sin \varphi_i \sin \theta_i - 2xh_i \cos \varphi_i \sin \theta_i + \\ + 2yh_i \sin \varphi_i = \ell_i^2(x, y) - 2\eta_i^2. \quad (2.2)$$

Введем функцию: $q_i(x, y) = \ell_i^2(x, y) - 2\eta_i^2$.

Вычислим угол α_i между осями $O_i Z_i$ и $O'_i Z'_i$ и запишем уравнение прямой, образованной пересечением плоскостей $X_i Y_i$ и $Z_i Z'_i$.

Имеем:

$$\begin{vmatrix} \cos \theta_i & 0 & \sin \theta_i & 0 \\ \sin \varphi_i \sin \theta_i & \cos \varphi_i & -\sin \varphi_i \cos \theta_i & 0 \\ -\cos \varphi_i \sin \theta_i & \sin \varphi_i & \cos \varphi_i \cos \theta_i & 0 \\ 0 & 0 & 0 & 1 \end{vmatrix} \times \begin{bmatrix} 0 \\ 0 \\ 1 \\ 1 \end{bmatrix} =$$

$$= \begin{vmatrix} \sin \theta_i \\ -\sin \varphi_i \cos \theta_i \\ \cos \varphi_i \cos \theta_i \\ 1 \end{vmatrix}$$

Отсюда $\cos \alpha_i = \cos \varphi_i \cos \theta_i$, и уравнение искомой прямой имеет вид:

$$\frac{y_i}{x_i} = -\frac{\sin \varphi_i \cos \theta_i}{\sin \theta_i}, \quad y_i = \operatorname{tg} \beta_i x_i, \quad \operatorname{tg} \beta_i = -\frac{\sin \varphi_i \cos \theta_i}{\sin \theta_i}.$$

Обозначим через (\bar{x}_i, \bar{y}_i) и (\bar{x}'_i, \bar{y}'_i) координаты пары симметричных точек на плоскости $x_i y_i$ относительно прямой $y_i = \operatorname{tg} \beta_i x_i$.

Нетрудно показать, что эти координаты связаны уравнениями:

$$\bar{x}_i = \frac{x_i(1-\operatorname{tg}^2 \beta_i) + 2y_i \operatorname{tg} \beta_i}{1+\operatorname{tg}^2 \beta_i}, \quad \bar{y}_i = \frac{2x_i \operatorname{tg} \beta_i - y_i(1-\operatorname{tg}^2 \beta_i)}{1+\operatorname{tg}^2 \beta_i}.$$

В силу того, что окружности с центрами O_i и O'_i радиуса r_i , лежащие в плоскостях $x_i y_i$ и $x'_i y'_i$ симметричны относительно плоскости $x_i y'_i$, имеем следующее равенство:

$$q(x_i, y_i) = q(\bar{x}_i, \bar{y}_i). \quad (2.3)$$

Сейчас затронем вопрос, касающийся обобщенных координат исполнительного органа типа "хобот". Так как задание определенных конфигураций "хобота" манипулятора (изгиб "хобота") осуществляется посредством силовых устройств (гидропицилinders), то в качестве обобщенных координат исполнительного органа целесообразно принять длины отрезков:

$$[P_{ii}, P'_{ii}] = \ell_{ii}, \quad [P_{i1}, P'_{i3}] = \ell_{i1}, \quad [P_{i2}, P'_{i3}] = \ell_{i2}, \quad i = \overline{1, n}.$$

и угол поворота β_i ротационного модуля в основании манипулятора (n_i - количество модулей в "хоботе").

В силу (2.3) имеем систему уравнений (2.4), связывающих величины $\ell_{i1}, \ell_{i2}, \ell_{i3}$ и φ_i, θ_i, h_i :

$$\eta(\eta_i, 0) = \eta\left(\frac{n_i(1-tg^2\beta_i)}{1+tg^2\beta_i}, \frac{2tg\beta_i}{1+tg^2\beta_i}\right) = \ell_{i1}^2 - 2n_i^2,$$

$$\eta\left(\frac{1}{2}\eta_i, \frac{\sqrt{3}}{2}\eta_i\right) = \eta\left(\frac{n_i(tg^2\beta_i + 2\sqrt{3}tg\beta_i - 1)}{2(1+tg^2\beta_i)}, \frac{n_i(\sqrt{3}tg^2\beta_i - 2tg\beta_i - \sqrt{3})}{2(1+tg^2\beta_i)}\right) = \\ = \ell_{i2}^2 - 2n_i^2,$$

$$\eta\left(\frac{1}{2}\eta_i, \frac{-\sqrt{3}}{2}\eta_i\right) = \eta\left(\frac{n_i(tg^2\beta_i - 2\sqrt{3}tg\beta_i - 1)}{2(1+tg^2\beta_i)}, \frac{n_i(-\sqrt{3}tg^2\beta_i - 2tg\beta_i + \sqrt{3})}{2(1+tg^2\beta_i)}\right) = \\ = \ell_{i3}^2 - 2n_i^2.$$

На основании системы уравнений (2.4) компоненты матриц A_i и C_i можно записать как функции величин $\ell_{i1}, \ell_{i2}, \ell_{i3}$. Таким образом, соотношение между координатными системами модулей $i+1$ и i исполнительного органа может быть выражено так: $\tilde{V}_{i+1} = A_i[\ell_{i1}, \ell_{i2}, \ell_{i3}] \tilde{V}_i$, где $A_i[\ell_{i1}, \ell_{i2}, \ell_{i3}]$ - матрица размером 4×4 . С другой стороны, соотношение между координатными системами модулей i и $i+1$ может быть выражено так: $\tilde{V}_i = C_i[\ell_{i1}, \ell_{i2}, \ell_{i3}] \tilde{V}_{i+1}$, где $C_i[\ell_{i1}, \ell_{i2}, \ell_{i3}]$ - матрица размером 5×4 . Причем, $A_i C_i = I$, где I - единичная матрица.

Имеем:

$$\tilde{V}_i = C_i \tilde{V}_{i+1}, \quad \tilde{V}_{i+1} = H V, \quad i = \overline{1, n}. \quad (2.5)$$

Используя формулы (2.5), можно перейти от системы координат любого модуля к лабораторной системе координат и, наоборот, от системы координат $\tilde{x}_o \tilde{y}_o \tilde{z}_o$ — к системе координат, связанной с любым модулем рассматриваемой кинематической схемы.

$$\text{Имеем: } \tilde{V}_i = H_i \tilde{V}_i \quad (i = \overline{1, n}),$$

$$\text{где } H_{i+1} = H_i C_i, \quad H_0 = H_1 C_1.$$

$$H_i = \begin{vmatrix} \cos \gamma & -\sin \gamma & 0 & 0 \\ \sin \gamma & \cos \gamma & 0 & 0 \\ 0 & 0 & 0 & h_o \\ 0 & 0 & 0 & 1 \end{vmatrix},$$

где γ — угол поворота системы координат $\tilde{x}_i \tilde{y}_i \tilde{z}_i$ относительно оси \tilde{z}_o .

Матрица H_i является оператором преобразования системы координат $\tilde{x}_i \tilde{y}_i \tilde{z}_i$, связанной с i -им модулем кинематической схемы, для описания положения этого звена в лабораторной системе координат.

3. Особенности дополнительного органа с дискретными устойчивыми состояниями

В вопросе применения силовых устройств особое внимание заслуживают силовые линейные приводы, работающие в "двоичном режиме", т.е. обеспечивающие два устойчивых состояния: шток втянут в корпус (исходное состояние), шток выдвинут (второе устойчивое рабочее состояние). Применение "двухпози-

ционных линейных приводов заслуживает внимание благодаря их экономичности, надежности и простоте в управлении. К тому же, обеспечив плавность изменения скорости штока на всем рабочем диапазоне линейных приводов, можно добиться плавности при отработке "изгибов" "хобота", что важно при планировании траектории сквата исполнительного органа. Таким образом, обеспечив в работе приводов необходимые условия торможения, получим возможность планировать достаточно плавные траектории движения "хобота", имеющие особые "узловые" точки.

Специальной конфигурацией исполнительного органа ("хобота") будем называть вектор обобщенных координат ℓ_{ij} ($i = \overline{1, n}$, $j = \overline{1, 2, 3}$), каждая из которых принимает лишь два значения ℓ_i и ℓ_j , т.е.

$$\Phi \triangleq [\ell_{11}, \ell_{12}, \ell_{13}, \dots, \ell_{i1}, \ell_{i2}, \ell_{i3}, \dots, \ell_{n1}, \ell_{n2}, \ell_{n3}]^T,$$

где n — количество модулей в "хоботе",

$$\ell_{ij} = \begin{cases} \ell_i, & \text{если шток } j\text{-ого привода } i\text{-ого} \\ & \text{модуля находится в исходном состоянии} \\ & (\text{шток втянут в корпус}), \\ \ell_j, & \text{если } j\text{-ий привод } i\text{-ого модуля} \\ & \text{находится во втором устойчивом состоянии} \\ & (\text{шток выдвинут}). \end{cases}$$

"Узловые точки", упомянутые выше при обсуждении вопроса о траектории движения "хобота", соответствуют специальным конфигурациям исполнительного органа.

Возникает задача вычисления компонент матриц C_i [ℓ_{ii} , ℓ_{i1} , ℓ_{i2}], соответствующих ($2^3 = 8$) восьми специальным состояниям i -го модуля "хобота", учитывая "двоичный режим" работы его линейных приводов.

Запишем эти матрицы в таблице 2.

Напомним, что на основании матриц C_i ($i=1, n$) вычисляется оператор H_n перехода от системы координат $X_n Y_n Z_n$, связанной со схватом (инструментом) "хобота", к лабораторной системе координат $X_0 Y_0 Z_0$.

Матрицы $C_i[\ell_i, \ell_i, \ell_i]$ и $C_i[L_i, L_i, L_i]$ имеют следующий простой вид и соответствуют тому случаю, когда совпадают направления осей Z_i и Z_{i+1} (Z_i и Z'_i).

Имеем:

$$C_i[\ell_i, \ell_i, \ell_i] = \begin{vmatrix} 1 & 0 & 0 & 0 \\ 0 & 1 & 0 & 0 \\ 0 & 0 & 1 & \ell_i + d_i \\ 0 & 0 & 0 & 0 \end{vmatrix};$$

$$C_i[L_i, L_i, L_i] = \begin{vmatrix} 1 & 0 & 0 & 0 \\ 0 & 1 & 0 & 0 \\ 0 & 0 & -1 & L_i + A_i \\ 0 & 0 & 0 & 1 \end{vmatrix}.$$

Для вычисления компонент матриц $C_i[L_i, \ell_i, \ell_i]$ и $C_i[\ell_i, L_i, L_i]$ воспользуемся тем фактом, что при заданных состояниях линейных приводов i -й модуль "хобота" принимает геометрическую "конфигурацию", симметричную относительно координатной плоскости $X_i Z_i$.

Для вычисления $\cos \alpha_i$ и h_i воспользуемся рис. 5а.
Запишем систему уравнений:

$$\left. \begin{aligned} \left(\tau_i \sin^2 \frac{\alpha_i}{2} \right)^2 + \left(h_i + 2\tau_i \sin \frac{\alpha_i}{2} \cos \frac{\alpha_i}{2} \right)^2 &= l_i^2 \\ \left(\tau_i \sin^2 \frac{\alpha_i}{2} \right)^2 + \left(h_i - \tau_i \sin \frac{\alpha_i}{2} \cos \frac{\alpha_i}{2} \right)^2 &= \ell_i^2 \end{aligned} \right\} \quad (3.1)$$

Систему уравнений (3.1) можно переписать так:

$$\left. \begin{aligned} \left[\tau_i (1 + \cos \alpha_i) \right]^2 + \left(h_i \tau_i \sin \alpha_i \right)^2 &= l_i^2 \\ \left[\frac{\tau_i}{2} (1 - \cos \alpha_i) \right]^2 + \left(h_i \frac{\tau_i}{2} \sin \alpha_i \right)^2 &= \ell_i^2 \end{aligned} \right\} \quad (3.2)$$

Наконец, систему уравнений (3.2) приведем к виду (3.3):

$$\left. \begin{aligned} h_i + \tau_i \sin \alpha_i &= \sqrt{l_i^2 - \left[\tau_i (1 - \cos \alpha_i) \right]^2}, \\ h_i - \frac{\tau_i}{2} \sin \alpha_i &= \sqrt{\ell_i^2 - \left[\frac{\tau_i}{2} (1 - \cos \alpha_i) \right]^2}. \end{aligned} \right\} \quad (3.3)$$

Отсюда имеем:

$$\begin{aligned} \frac{3}{2} \tau_i \sin \alpha_i &= \sqrt{l_i^2 - \left[\tau_i (1 - \cos \alpha_i) \right]^2} - \\ &- \sqrt{\ell_i^2 - \left[\frac{\tau_i}{2} (1 - \cos \alpha_i) \right]^2}. \end{aligned}$$

Осуществив несложные преобразования и введя подстановку $\xi_i = \frac{\tau_i (\cos \alpha_i)}{2}$, получим уравнение для вычисления ξ_i :

$$72 \tau_i \xi_i^3 - (12 l_i^2 + 24 \ell_i^2 + 81 \tau_i^2) \xi_i^2 +$$

$$+ 18\gamma_i (\xi_i^2 + \ell_i^2) \xi_i - (\xi_i^2 - \ell_i^2) = 0.$$

Зададим конкретные числовые значения для величин ξ_i , ℓ_i и γ_i , получим алгебраическое уравнение третьей степени с числовыми коэффициентами. Для нахождения корня этого алгебраического уравнения можно применить, например, метод касательных (метод Ньютона) /5/.

Выпишем формулы, по которым вычисляются $\cos \alpha_i$ и h_i для рассматриваемого случая:

$$\cos \alpha_i = 1 - \frac{2\xi_i}{\gamma_i}, \quad \xi_i \in \left(0, \frac{\gamma_i}{2}\right),$$

$$\sin \alpha_i = \sqrt{1 - \cos^2 \alpha_i},$$

$$h_i = \frac{2(\xi_i^2 - \ell_i^2) - 3\gamma_i^2(1 - \cos \alpha_i)}{6\gamma_i \sin \alpha_i}.$$

Имеем:

$$C_i[\xi_i, \ell_i, \gamma_i] = \begin{vmatrix} 1 & 0 & 0 & 0 \\ 0 & 1 & 0 & 0 \\ 0 & 0 & 1 & h_i \\ 0 & 0 & 0 & 1 \end{vmatrix} \times \begin{vmatrix} \cos \alpha_i & 0 & -\sin \alpha_i & 0 \\ 0 & 1 & 0 & 0 \\ \sin \alpha_i & 0 & \cos \alpha_i & 0 \\ 0 & 0 & 0 & 1 \end{vmatrix} \times$$

$$\times \begin{vmatrix} 1 & 0 & 0 & 0 \\ 0 & 1 & 0 & 0 \\ 0 & 0 & 1 & \ell_i \\ 0 & 0 & 0 & 1 \end{vmatrix}.$$

Компоненты матриц $C_i[\ell_i, b_i, h_i]$ вычисляются аналогичным способом. Воспользуемся рис. 5 б, запишем систему уравнений:

$$\left[\frac{r_i}{2} (1 - \cos \alpha_i) \ell_i^2 \right] + \left(h_i + \frac{r_i}{2} \sin \alpha_i \right)^2 = L_i^2 ,$$

$$[r_i (1 - \cos \alpha_i)]^2 + (h_i - r_i \sin \alpha_i)^2 = \ell_i^2 .$$

По аналогии с первым случаем осуществим несложные преобразования и введя подстановку $\xi_i = \frac{r_i (1 - \cos \alpha_i)}{2}$, получим уравнение для вычисления ξ_i :

$$72 \cdot \xi_i^3 - (24 L_i^2 + 12 \ell_i^2 + 81 r_i^2) \xi_i^2 +$$

$$18 r_i (\ell_i^2 + \ell_i^2) \xi_i - (\ell_i^2 - \ell_i^2)^2 = 0 .$$

Наконец, на примере вычисления компонент матрицы $C_i[\ell_i, b_i, h_i]$ покажем, что для вычисления компонент оставшихся матриц $C_i[\ell_i, \ell_i, \ell_i]$ (таблица 2) можно воспользоваться результатами предыдущих вычислений. Действительно, положим, что имеем "конфигурацию" i -ого модуля, для которой $\ell_{ii} = \ell_i$, $\ell_{i2} = b_i$, $\ell_{i3} = h_i$. В этом случае система координат $X_{i+1}, Y_{i+1}, Z_{i+1}$ получается из системы координат X_i, Y_i, Z_i при помощи двух переносов и трех поворотов, выполняемых в следующем порядке:

1. Перенос вдоль оси \tilde{Z}_i на величину h_i ,
2. Выполнение поворота вокруг оси \tilde{Z}_i на угол $\varphi_i = \frac{2\pi}{3}$ (рис. 6),
3. Выполнение поворота вокруг оси \tilde{Y}_i на угол α_i (вокруг оси \tilde{Y}_i системы координат $X_i Y_i Z_i$, полученной на предыдущем этапе),
4. Выполнение поворота вокруг оси \tilde{Z}_i на угол $-\frac{2\pi}{3}$ (вокруг оси \tilde{Z}_i системы координат $X_i Y_i Z_i$, полученной на предыдущем этапе),
5. Перенос вдоль оси \tilde{Z}_{i+1} на величину β_i .

Нетрудно видеть, что компоненты матрицы $C_i[\ell_i, b_i, \ell_i]$ вычисляются так:

$$C_i[\ell_i, b_i, \ell_i] = \begin{vmatrix} 1 & 0 & 0 & 0 \\ 0 & 1 & 0 & 0 \\ 0 & 0 & 1 & h \\ 0 & 0 & 0 & 1 \end{vmatrix} \times \begin{vmatrix} -\frac{1}{2} & -\frac{\sqrt{3}}{2} & 0 & 0 \\ \frac{\sqrt{3}}{2} & -\frac{1}{2} & 0 & 0 \\ 0 & 0 & 1 & 0 \\ 0 & 0 & 0 & 1 \end{vmatrix} \times$$

$$\begin{vmatrix} \cos \alpha_i & 0 & -\sin \alpha_i & 0 \\ 0 & 1 & 0 & 0 \\ \sin \alpha_i & 0 & \cos \alpha_i & 0 \\ 0 & 0 & 0 & 1 \end{vmatrix} \times \begin{vmatrix} -\frac{1}{2} & \frac{\sqrt{3}}{2} & 0 & 0 \\ -\frac{\sqrt{3}}{2} & -\frac{1}{2} & 0 & 0 \\ 0 & 0 & 1 & 0 \\ 0 & 0 & 0 & 1 \end{vmatrix} \times$$

$$\times \begin{vmatrix} 1 & 0 & 0 & 0 \\ 0 & 1 & 0 & 0 \\ 0 & 0 & 1 & \beta_i \\ 0 & 0 & 0 & 1 \end{vmatrix}$$

Заключение. В работе отражены результаты, полученные на одном из этапов проектирования исполнительного органа промышленного робота и послужившие исходными данными для:

- 1) Расчета его кинематической схемы,

2) Разработки модуля математического обеспечения, выполняющего пересчет координат схватов ПР (или инструмента) в абсолютной (лабораторной) системе координат.

Проектируемый промышленный робот должен сочетать в себе признаки как технологического ПР, способного выполнять основные технологические операции (окраска, сварка и др.), так и подъемно-транспортного (вспомогательного) ПР, обслуживающего основное технологическое оборудование (установка-снятие заготовок, деталей и инструментов, питание транспортеров и др.).

Другими словами, предполагается разработка модели универсального ПР широкого назначения и со многими "специальностями". Причем, одной из "специальностей" проектируемого ПР должно быть умение производить манипуляционные операции в труднодоступных местах металлоконструкций на стадии, предшествующей конечной сборке механических узлов, т.е. когда затруднителен доступ "механическими руками" классической конструкции.

Поступила 14.VI.1988

Институт систем управления
АН СССР

Таблица I

P	Координаты	В системе координат
P_{ii}	$(\gamma_i, 0, 0)$	$x_i y_i z_i$
P_{i2}	$(-\frac{1}{2}\gamma_i, \frac{\sqrt{3}}{2}\gamma_i, 0)$	$x_i y_i z_i$
P_{i3}	$(-\frac{1}{2}\gamma_i, -\frac{\sqrt{3}}{2}\gamma_i, 0)$	$x_i y_i z_i$
P'_{ii}	$(\gamma_i, 0, 0)$	$x'_i y'_i z'_i$
P'_{i2}	$(-\frac{1}{2}\gamma_i, \frac{\sqrt{3}}{2}\gamma_i, 0)$	$x'_i y'_i z'_i$
P'_{i3}	$(-\frac{1}{2}\gamma_i, -\frac{\sqrt{3}}{2}\gamma_i, 0)$	$x'_i y'_i z'_i$

Таблица 2

$\varphi_i = 0$	$\varphi_i = 0$	$\varphi_i = \frac{2\pi}{3}$	$\varphi_i = -\frac{2\pi}{3}$
$C_i[\ell_i, \ell_i, \ell_i]$	$C_i[\ell_i, \ell_i, \ell_i]$	$C_i[\ell_i, \ell_i, \ell_i]$	$C_i[\ell_i, \ell_i, \ell_i]$
$C_i[\ell_i, \ell_i, \ell_i]$	$C_i[\ell_i, \ell_i, \ell_i]$	$C_i[\ell_i, \ell_i, \ell_i]$	$C_i[\ell_i, \ell_i, \ell_i]$

Литература

1. Хобот манипулятора. А.с. № III4546.
2. Исполнительный орган манипулятора. А.с. № I227457.
3. Манипулятор. А.с. I220780.
4. Н.И.Мусхелишвили. Курс аналитической геометрии. "Высшая школа", 1967.
5. Т.Шуп. Решение инженерных задач на ЭВМ. М.: Мар, 1982.

მ, შიშიგიძე, ნ, ლავრენჩუკ

"ბოროვისა" სიპას გემსრულებელი მობილუ მოწყვეტილ
სართულების მაცხოველი

რ ე ბ ი ბ ი

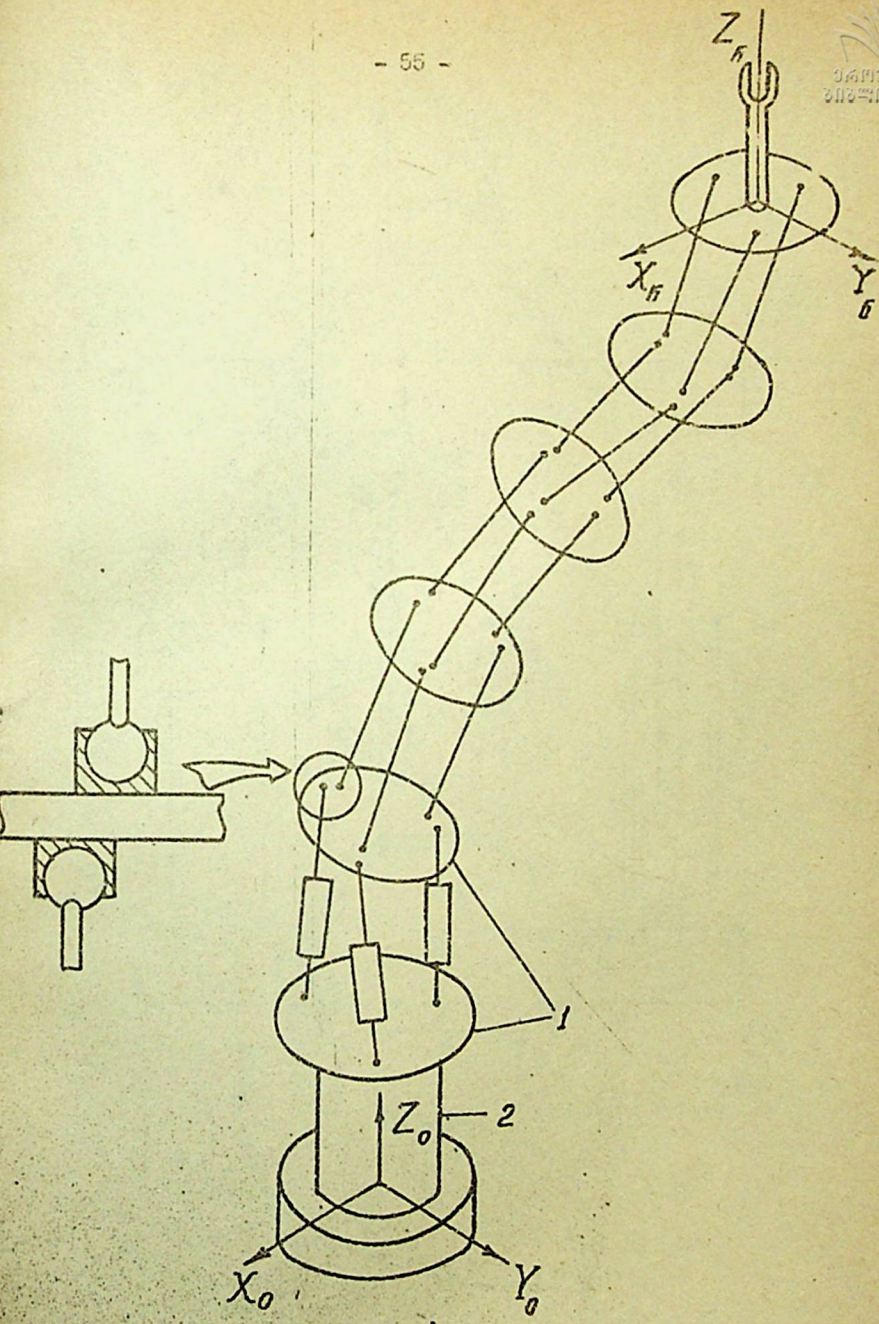
სამუშაო ეხება მეცაოლკომს ფრუქვების ძნელად მისაღწევ
აღმიღებე სამანიპულაციო ოპერაციებისათვის გათვალისწინებულ
"ბოროვის" ფიპის სემსრულებელი ორგანის მქონე მანიპულაციის
მოყენე,

M.Shishigidze, N.Lavrenchuk

ABOUT THE MANIPULATOR WITH AN EXECUTIVE ORGAN OF "TRUNK" TYPE

Summary

This paper deals with the manipulator model with an executive organ of "trunk" type for manipulations in the metal construction places of difficult access.



պլ. 1

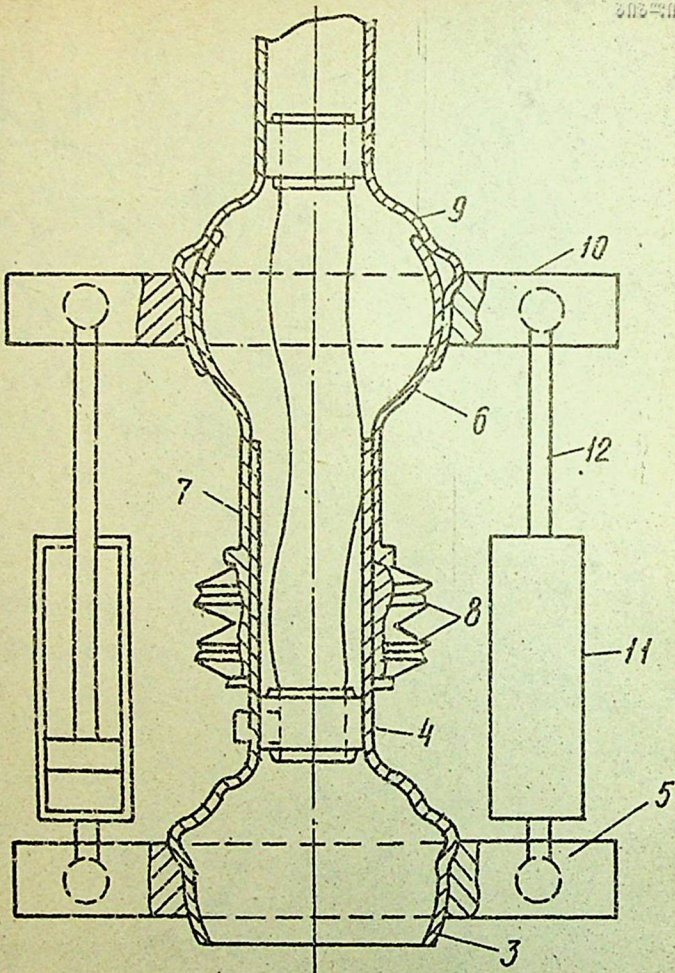
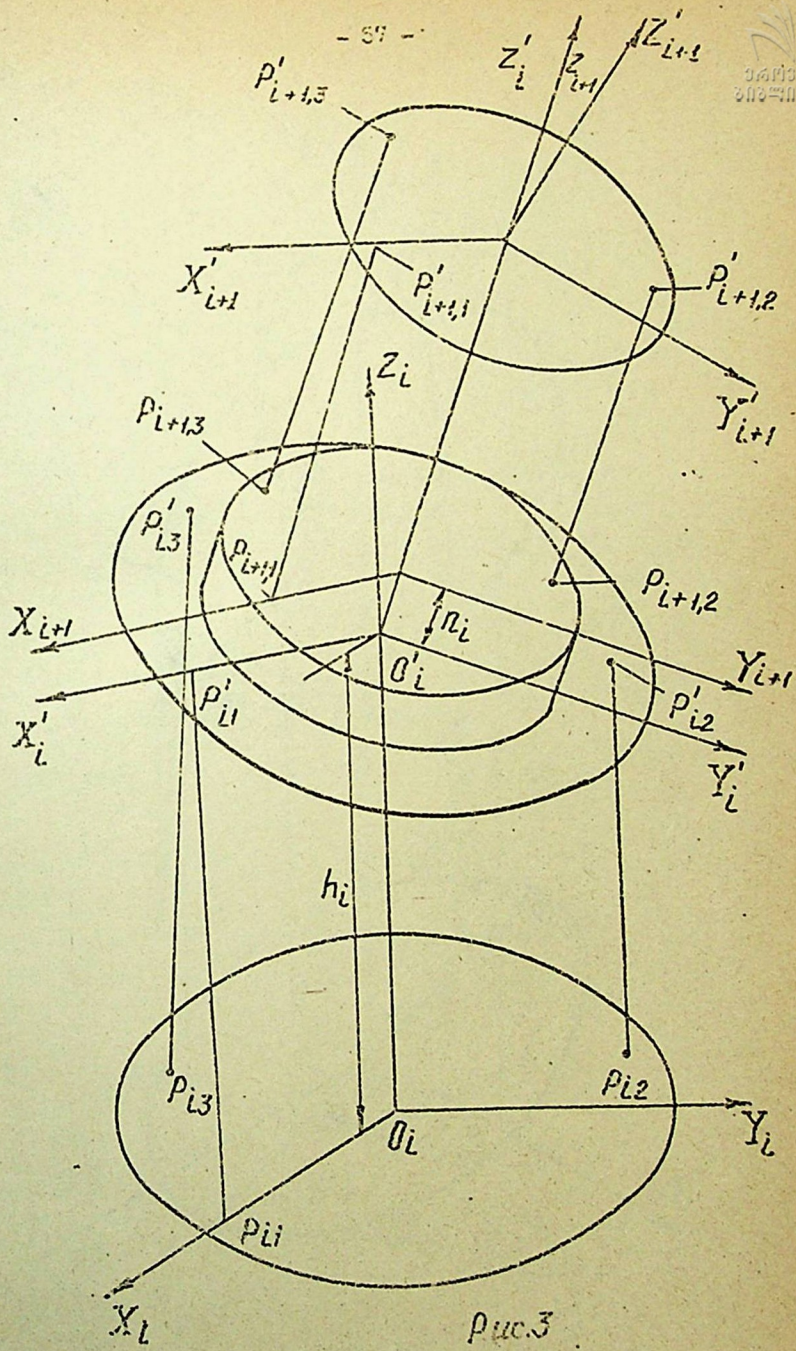
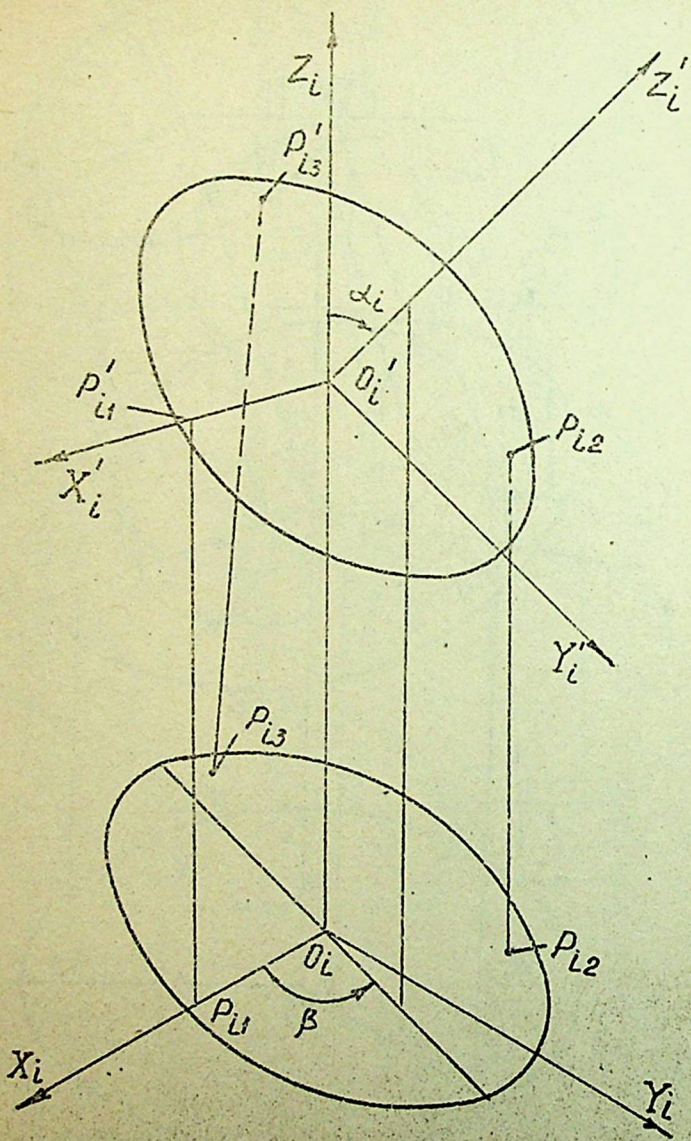
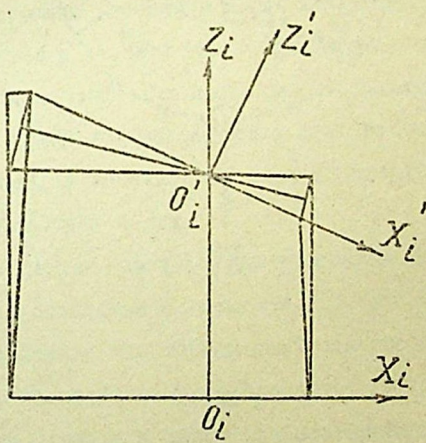
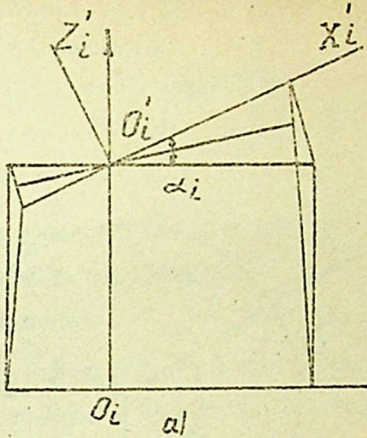


Рис. 2



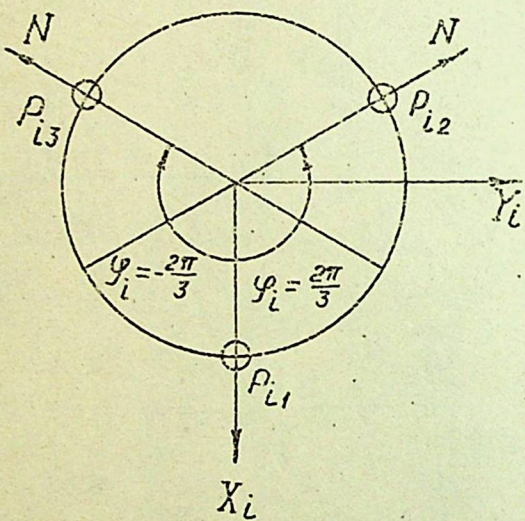


ԲԼՈՅ. 4



б)

Рис. 5



ԲԱԾ. 6

Труды Тбилисского государственного университета

им. И.Джавахишвили

ინ. ხავახიძის სახ. ინსტიტუტი

უნივერსიტეტის მუნიციპალიტეტი

298, 1990

ПОСЛЕДОВАТЕЛЬНАЯ ПРОЦЕДУРА ФОРМИРОВАНИЯ

РАЗМЫТЫХ КЛАСТЕРОВ ДЛЯ ПРИЗНАКОВ

А.В.Корнеева

Организация размытых кластеров допустима как в отношении объектов /1,2/, так и в отношении признаков. Взаимосвязь признаков, характеризующих некоторый класс объектов, предопределяет особый интерес к анализу именно размытых кластеров, поскольку при решении классически поставленной задачи кластерного анализа признаков /3/ просекается достаточно сильно связь между признаками, и конечная картина кластеризации не содержит никакой информации о них.

Формирование размытых кластеров из признаков может быть осуществлено на базе различных алгоритмов /1/. В частности, по аналогии с классическим кластерным анализом, представляет интерес организация последовательной процедуры /3/.

Для формирования размытых кластеров последовательный алгоритм кластеризации должен быть модифицирован таким образом, чтобы при сохранении основного принципа (последовательного уменьшения числа кластеров на единицу при переходе от одного уровня агломеративного дерева к другому) обеспечивать и реализацию размытости, т.е. возможность отнесения некоторых признаков не к одному, а к нескольким кластерам с соответст-

вующими функциями принадлежности.

Поставим задачу формирования размитых кластеров из признаков следующим образом:

Пусть задано множество объектов, которому соответствует матрица данных V . Каждый объект описывается M признаками. Требуется построить агломеративное иерархическое дерево кластеризации, на каждом уровне которого необходимо организовать отвечающее этому уровню число кластеров ($M-K+1$ для K -го уровня, $K=1, \dots, M$) таким образом, чтобы для признаков с достаточно сильной связью было допустимо одновременное отнесение к нескольким кластерам (с соответствующими функциями принадлежности). Под достаточно сильной связью понимается связь, превосходящая задаваемое пороговое значение.

Организация агломеративного иерархического дерева требует определения целевой функции /3,4/ и функции принадлежности /5/.

В случае кластеризации признаков в качестве целевой функции может быть использована мера ассоциации между двумя кластерами.

Определим ассоциацию между кластерами через ассоциацию между признаками.

Связь между двумя количественными признаками (i -м и j -м; $i, j = 1, \dots, M$) выражается коэффициентом корреляции:

$$RO(i,j) = \frac{1}{N} \sum_{n=1}^N V(i,n) \cdot V(j,n), \quad (I)$$

где $V(i,n)$ – центрированное и нормированное значение i -го признака для n -го объекта, $V(j,n)$ – центрированное и нормированное значение j -го признака для n -го объекта,

N - число объектов.

Связь между двумя бинарными признаками (i -м и j -м; $i, j = 1, \dots, M$) выражается тетрахорическим показателем связи /6/:

$$RO(i, j) = \frac{ad - bc}{\sqrt{(a+b)(c+d)(a+c)(b+d)}}, \quad (2)$$

где a - число объектов, имеющих оба признака; b - число объектов, имеющих i -й, но не имеющих j -го признака; c - число объектов, имеющих j -й, но не имеющих i -го признака; d - число объектов, не имеющих обоих признаков.

Связь между двумя признаками, характеризуемыми качественными градациями (i -м и j -м; $i, j = 1, \dots, M$), выражается полихорическим показателем связи /6/:

$$RO(i, j) = \sqrt{\frac{\varphi^2}{(g_i-1)(g_j-1)}}, \quad (3)$$

где φ^2 - коэффициент контингенции, g_i - число градаций i -го признака, g_j - число градаций j -го признака.

$$\varphi^2 = \sum_{p=1}^{g_i} \frac{\sum_{q=1}^{g_j} \frac{f_{ij}}{n_{i,p}} - 1}{n_{i,p}}, \quad (4)$$

где f - частоты ячеек корреляционной решетки /6/ по i -му и j -му признакам, $n_{i,p}$ - частоты ряда i -го признака по столбцам в нижней суммарной строке корреляционной решетки, $n_{j,q}$ - частоты ряда j -го признака по строкам в правом суммарном столбце корреляционной решетки.

Введем ассоциацию между признаком и кластером, определив ее как среднюю ассоциацию между рассматриваемым признаком и признаками, входящими в кластер.

Пусть кластер I содержит n_I признаков, а кластер J содержит n_J признаков. Ассоциация между признаком P и кластером I :

$$R(P, I) = \frac{1}{n_I} \sum_{i=1}^{n_I} RO(P, P_i), \quad (5)$$

где P и P_i — признаки, а $RO(P, P_i)$ — коэффициент ассоциации между ними, вычисляемый по формулам (1), (2) или (3) в зависимости от типа признаков. В случае количественных признаков в качестве RO берется абсолютное значение коэффициента корреляции.

Ассоциацию между кластерами I и J естественно определять следующим образом:

$$RO(I, J) = \frac{1}{n_J} \sum_{j=1}^{n_J} R(P_j, I), \quad (6)$$

откуда следует

$$R(I, J) = \frac{1}{n_I n_J} \sum_{i=1}^{n_I} \sum_{j=1}^{n_J} RO(P_i, P_j). \quad (7)$$

Ее можно рассматривать в качестве целевой функции:

$$\mathcal{D} = R(I, J). \quad (8)$$

Очевидно, что $0 \leq \mathcal{D}_{IJ} \leq 1$.

Функцию принадлежности признака P_i кластеру I естественно определить следующим образом:

$$\mu(P_i, I) = \frac{1}{n_I} \sum_{\substack{j=1 \\ j \neq i}}^{n_I} RO(i, j), \quad (9)$$

где $RO(i, j)$ — коэффициент ассоциации между признаками P_i и P_j , определяемый по формулам (1), (2) или (3) в соответствии с их типом. Такое определение обеспечивает принадлежность $\mu(P_i, I)$ интервалу $[0, 1]$.

Пусть заданое пороговое значение связи POR (в случае кластеризации признаков $0 < POR \leq 1$).

Агломеративная иерархическая процедура, осуществляющая

формирование размытых кластеров, состоящих из признаков, может быть реализована следующей последовательностью шагов.

Если проводится кластеризация количественных признаков, то процедура начинается с шага 1. Если осуществляется кластеризация бинарных признаков, то процедура начинается с шага 3. Если осуществляется кластеризация признаков, характеризуемых качественными градациями, то процедура начинается с шага 4.

1. Приведение параметров к стандартной форме задания.

Исходная матрица данных заменяется матрицей центрированных и нормированных величин.

2. Вычисление корреляционной матрицы.

После расчета корреляционной матрицы выполняется шаг 5.

3. Вычисление матрицы тетрахорических показателей связи.

После расчета матрицы тетрахорических показателей связи выполняется шаг 5.

4. Вычисление матрицы полихорических показателей связи.

5. Задание исходных кластеров.

Число кластеров полагается равным числу признаков (M).

Каждый кластер включает один признак.

Размытость на этом шаге не имеет места, и функция принадлежности каждого признака своему кластеру равна 1.

6. Вычисление матрицы целевых функций.

Для каждой пары кластеров I и J вычисляется целевая функция D_{IJ} .

На первом уровне кластеризации (для одноэлементных кластеров) значением D_{IJ} является соответствующий элемент матрицы ассоциации между признаками.

На последующих уровнях кластеризации элементы матрицы

Д вычисляются согласно формуле (7).

7. Поиск максимума целевой функции.

8. Объединение кластеров.

Если в матрице $\{D_{IJ}\}$ максимум отвечает кластерам K и L , то они сливаются. Кластер L дополняется элементами кластера K , который подлежит дальнейшему уничтожению. При этом не допускается повторное включение элементов в кластер L (кластер K и исходный кластер L могут иметь общие элементы в силу своей размытости).

9. Поиск дополнительно объединяемых кластеров.

Ликвидации кластера K предшествует проверка возможности его слияния и с другими кластерами (помимо L). Для этого целевые функции D_{IK} ($I=1, \dots, P$; $I \neq K, L$;
 P – число кластеров, соответствующее рассматриваемому уровню кластеризации) сравниваются с пороговым значением связи POR . Те кластеры, для которых $D_{IK} > POR$, должны быть объединены с кластером K .

10. Дополнительное объединение кластеров.

Если $D_{IK} > POR$, то кластер K сливается с кластером I . Кластер I дополняется элементами кластера K . При этом не допускается повторное включение элементов в кластер I (кластер K и исходный кластер I могут иметь общие элементы в силу своей размытости).

11. Ликвидация кластера K .

Кластер K уничтожается, число кластеров становится на единицу меньше.

12. Вычисление функций принадлежности.

Для каждого из кластеров организованного уровня агломера-

тивного дерева рассчитываются функции принадлежности их элементов. Для этого используется формула (9).

13. Вычисление функционала качества группировки.

Функционал качества группировки, отвечающий рассматриваемому уровню кластеризации, определяется средней взаимосвязью элементов внутри организованных кластеров и числом последних:

$$Q = \sum_I \frac{1}{n_I(n_I-1)} \sum_{P_i, P_j \in I} RO(P_i, P_j). \quad (10)$$

Далее осуществляется возврат к шагу 6.

Процедура завершается объединением всех признаков в один кластер.

Если число признаков, подлежащих кластеризации, равно M , то процедура включает $M-1$ цикл. Максимальное значение функционала качества группировки позволяет выбрать оптимальные результаты кластеризации, отвечающие конкретному уровню.

Вышеописанная процедура формирования размытых кластеров для признаков положена в основу программы *CLUSF*, написанной на языке фортран-IV и реализованной на машине ЕС-1061. Входными данными являются: параметр, определяющий тип признаков (качественные, бинарные или характеризуемые качественными градациями); число признаков, число объектов, матрица данных; число градаций каждого из признаков (только для третьего типа); пороговое значение связи.

Результаты выводятся на печать по завершении обработки данных на каждом из уровней кластеризации. Выпечатываются: номер уровня, функционал качества группировка, количество элементов в каждом из кластеров и конкретный состав каждого

кластера (номера входящих в него признаков и соответствующие последним функции принадлежности).

Поступила 17.Х.1989

Проблемы лабора-
тория физической
кибернетики

Литература

1. А.В.Корнеева. Формирование размытых кластеров. Труды Тбилисского университета, серия кибернетики и прикладной математики, 279, 1988.
2. А.В.Корнеева. Иерархические процедуры формирования размытых кластеров. Труды Тбилисского университета, серия кибернетики и прикладной математики. 289, 1989.
3. Б.Джан, П.Одэль. Кластерный анализ. М., Статистика, 1977.
4. С.А.Айазян, З.И.Бежаева, О.Б.Староверов. Классификация многомерных наблюдений. М., Статистика, 1974.
5. Л.Заде. Концепция лингвистической переменной и его применение к принятию приближенных решений. М., Мир, 1976.
6. Н.А.Плохинский. Биометрия. Издательство Московского университета, 1970.

୧୦. ପ୍ରକରଣ୍ୟରୁ

ନିମ୍ନ-ତଥା ଉଚ୍ଚ-ତଥା ମଧ୍ୟ ମାତ୍ରରେ ଏକ ଅନୁକରଣ କରିବାରେ
ବିଭିନ୍ନ ପରିମାଣରେ ବିଭିନ୍ନ ପରିମାଣରେ ଅନୁକରଣ

ହେ ୧-୧ ଉ-୧

ଯାଇଲୁଗଲା ଅଧିକମେରାତିକୁଳ ନିରାନ୍ତର୍ଯ୍ୟରୁ ବିବିଧ ଅନୁକରଣ,
ରାମେନ୍ଦ୍ରିଯା ସାମାଜିକିନ୍ଦ୍ରିୟରୁ ନିମ୍ନ-ତଥା ଉଚ୍ଚ-ତଥା ମଧ୍ୟ ମାତ୍ରରେ
ମଧ୍ୟରେ କରାବାରେ କରାବାରେ କରାବାରେ କରାବାରେ କରାବାରେ

ଅନ୍ତର୍ଭାବରେ ରାମେନ୍ଦ୍ରିଯାରେ ରାମେନ୍ଦ୍ରିଯାରେ, ବିଭିନ୍ନ ରାମେନ୍ଦ୍ରିଯାରେ
ବିଭିନ୍ନ ରାମେନ୍ଦ୍ରିଯାରେ ବିଭିନ୍ନ ରାମେନ୍ଦ୍ରିଯାରେ ବିଭିନ୍ନ ରାମେନ୍ଦ୍ରିଯାରେ

A.Korneeva

SEQUENTIAL PROCEDURES FOR THE FORMATION OF FUZZY CLUSTERS OUT OF ATTRIBUTES

Summary

A procedure for the construction of an agglomerative hierarchical tree is suggested. The procedure is meant for the formation of fuzzy clusters out of attributes. A program for clustering quantitative attributes, binary attributes, and attributes characterized by gradations is described.

Труды Тбилисского государственного университета
им. И.Джавахишвили

№3. ჯავახიშვილის სახ., თბილისის სახელმწიფო
უნივერსიტეტის მრთმანი
298, 1990

ИССЛЕДОВАНИЕ ВЗАЙМОСВЯЗИ ПАРАМЕТРОВ,
ХАРАКТЕРИЗУЮЩИХ ОСТРЫЙ ПЕРИОД ИНФАРКТА МИОКАРДА,
НА ОСНОВЕ КЛАСТЕРНОГО АНАЛИЗА

А.В.Корнеева, Н.В.Пиотровская, Л.М.Ахалая

Применение кластерного анализа в области медицины позволяет решать ряд задач, имеющих как аналитическое, так и практическое значение.

Например, кластеризация признаков, описывающих клиническую картину некоторого заболевания, дает возможность выявлять, с одной стороны, взаимосвязанные показатели (определенные составом конкретного кластера), с другой стороны, относительно независимые показатели (принадлежащие различным кластерам). Очевидно, что это представляет интерес в аспектах аналитического исследования патологического процесса.

В то же время отмеченная выше возможность определяет целесообразность использования кластерного анализа в качестве процедуры, предваряющей применение тех или других методов распознавания в аспектах диагностики или прогноза. Это связано с тем, что многие статистические процедуры распознавания, например, широко применяемая в вычислительной медицине процедура Байеса /1/, опираются на независимые показатели. Предварительный кластерный анализ обеспечивает в этом случае корректную организацию признаковой системы (за счет подбора при-

знаков из различных кластеров).

Результаты кластеризации признаков могут быть использованы и для исследования взаимосвязи различных медицинских тестов при обследовании больного (на основе анализа состава кластеров).

Продемонстрируем возможности кластерного анализа признаков на примере инфаркта миокарда.

Для оценки состояния больного, для прогноза возможных осложнений, для прогноза исхода заболевания при инфаркте миокарда учитываются как показатели клинической симптоматики, так и данные специальных методов исследования: параметры поликардиограмм, отражающие фазовую структуру сердечного цикла, параметры кислотно-основного баланса крови, параметры электролитного состава крови и др. Взаимосвязь параметров различных методов исследования не является достаточно изученной. В связи с этим обстоятельством и представляет интерес проведение кластерного анализа показателей, характеризующих острый период инфаркта миокарда.

Для осуществления кластеризации признаков была использована программа *WISH /2/*. Эта программа предназначена для кластеризации количественных, бинарных и характеризуемых качественными градациями признаков на основе алгоритма, содержащего аналогию с методом Уишарта /3/. Выбор этой программы определялся тем, что при ее применении на результаты кластеризации налагаются минимальные ограничения: программой используется единственный параметр кластеризации – число признаков, наиболее тесно связанных с рассматриваемым /2/. Количество кластеров и их состав зависят исключительно от силы взаимосвязи

параметров и не диктуются никакими априорными соображениями.

Для исследования взаимосвязи параметров, характеризующих острый период инфаркта миокарда, была использована статистическая выборка, содержащая 203 объекта. Каждый объект описывался 55 признаками; 18 из них относились к клинической симптоматике, 13 - к фазовой структуре сердечного цикла, 10 - к кислотно-основному балансу (КОБ) артериальной крови, 10 - к кислотно-основному балансу венозной крови, 4 - к электролитному составу крови. Для того, чтобы иметь возможность содержательно интерпретировать результаты кластеризации, перечислим эти признаки:

1. предшествующий инфаркт,
2. предшествующая стенокардия,
3. гипертония,
4. сахарный диабет,
5. курение,
6. употребление алкоголя,
7. длительность болевого приступа,
8. частота пульса,
9. пароксизмальная наджелудочковая тахикардия,
10. пароксизмальная желудочковая тахикардия,
- II. мерцательная аритмия,
12. атрио-вентрикулярная блокада,
13. внутрижелудочковая блокада,
14. предсердные экстрасистолы,
15. желудочковые экстрасистолы,
16. систолическое артериальное давление (АД),
17. диастолическое артериальное давление,

18. частота дыхания,
19. асинхронное сокращение (АС),
20. изометрическое сокращение (ИС),
21. период напряжения (Т),
22. период изгнания (В),
23. механическая систола (S_M),
24. общая систола (S_O).
25. интервал QT ,
26. диастола (D).
27. механический коэффициент Бломбергера (K),
28. внутрисистолический показатель (ВСП),
29. индекс напряжения миокарда (ИНМ),
30. время изгнания минутного объема (ВИМО),
31. начальная скорость повышения внутрижелудочкового давления (V_i),
32. pH артериальное,
33. PCO_2 (напряжение углекислого газа),
34. SB (стандартный бикарбонат)
35. BE (избыток или дефицит буферных оснований),
36. BB (буферные основания)
37. АВ (истинный бикарбонат).
38. TCO_2 (общий CO_2 крови),
39. pH мет (метаболическое),
40. PO_2 (напряжение кислорода),
41. HbO_2 (насыщение гемоглобина кислородом),
42. pH венозное,
43. PCO_2 вен,
44. SB вен,

45. SE вен.
46. BB вен.
47. AB вен.
48. TCO_2 вен.
49. PH нет венозное,
50. PO_2 вен.
51. HbO_2 вен.
52. Na сыв (сывороточный),
53. Na эр. (эритроцитарный),
54. K сыв.
55. K эр.

Матрица данных была обработана программой *WISH* при различных значениях параметра кластеризации IP (этим параметром определяется число учитываемых наиболее сильных связей для каждого из признаков). Оптимальное значение параметра кластеризации $IP=15$ было выявлено с помощью функционала качества группировки /2/.

При $IP=15$ были организованы восемь кластеров следующего состава. В скобках будут указаны номера признаков, соответствующие вышеуказанному списку.

I-й кластер

1. мерцательная аритмия (II),
2. атрио-вентрикулярная блокада (I2),
3. внутрижелудочковая блокада (I3),
4. PH арт.(32),
5. SB арт.(34),
6. BE арт.(35),
7. BB арт.(36),

8. JIB арт. (37),
9. P^H мет. арт. (39),
10. P^H вен. (42),
- II. SB вен. (44),
12. BE вен. (45),
13. BB вен. (46),
14. JB вен. (47),
15. P^H мет. вен. (49),
16. K эр. (55)

2-й кластер

- I. предшествующий инфаркт (I),
2. частота пульса (8),
3. систолическое AD (16),
4. диастолическое AD (17),
5. частота дыхания (18),
6. UC (20),
7. T' (21),
8. E (22),
9. S'_M (23),
10. S_o (24),
- II. D (26),
12. K (27),
13. BCP (28),
14. UHM (29),
15. $BIMO$ (30),
16. V_i (31)

3-й кластер

- I. предшествующая стенокардия (2).

2. гипертония (3),
3. сахарный диабет (4),
4. T^2CO_2 вен. (48),
5. Na арт. (53)

4-й классер

1. употребление алкоголя (6),
2. пароксизмальная наджелудочковая тахикардия (9),
3. предсердные экстразистолы (14),
4. желудочковые экстразистолы (15),
5. Ad (19)
6. T^2CO_2 арт. (38)

5-й классер

1. P^2O_2 арт. (40),
2. H^2O_2 арт. (41),
3. P^2CO_2 вен. (43),
4. P^2O_2 газ. (50),
5. H^2O_2 вен. (51),
6. Na онв. (52),

6-й классер

1. курение (5),
2. K сыв. (54)

7-й классер

1. P^2CO_2 арт. (33)

8-й классер

1. длительность болевого приступа (7),
2. пароксизмальная желудочковая тахикардия (10),
3. QT (25).

Как показывают результаты кластеризации, более полочини признаков (32 и 55) принадлежат двум из восьми кластеров. Наиболее крупные кластеры — 1-й и 2-й. Каждый из них содержит по 16 признаков.

1-й кластер включает три показателя, относящихся к клинической симптоматике (II-й, 12-й, 13-й признаки), которые указывают на тяжелые нарушения ритма сердечной деятельности, и большую группу параметров ионотно-основного баланса крови. В эту группу входят показатели pH , sB , BE , BV , AB , pH_{met} как артериальной (32-й, 34-й, 35-й, 36-й, 37-й, 39-й признаки), так и венозной крови (42-й, 44-й, 45-й, 46-й, 47-й, 48-й признаки).

Таким образом, содержательный анализ состава первого кластера указывает на тесную связь мерцательной аритмии, атрио-пентрикулярной блокады и внутрижелудочковой блокады с ионотно-основным балансом крови, а также на корреляцию КОБ артериальной крови с КОБ венозной крови.

2-й кластер включает четыре показателя клинической симптоматики (I-й, 8-й, 16-й, 17-й, 18-й признаки) и большую группу параметров фазовой структуры сердечного цикла. Отсюда следует, что частота пульса, артериальное давление, частота дыхания, предшествующий инфаркт в анамнезе коррелируют с поликардиограммой.

Последующие кластеры малочисленны. Их состав указывает на связь тяжелых нарушений, отмечаемых в клинической картине заболевания, с теми или другими показателями специальных методов исследования.

Так из состава 3-го кластера следует, что наличие у

больного стенокардии, гипертонии, сахарного диабета коррелирует с параметром TCO_2 кислотно-основного баланса и параметром Na эр. электролитного баланса крови.

Состав 4-го кластера указывает на взаимосвязь пароксизмальной наджелудочковой тахикардии, предсердных экстрасистол, желудочковых экстрасистол с параметром ΔC (фазовая структура сердечного цикла) и параметром TCO_2 (КОБ).

Состав 8-го кластера подчеркивает взаимозависимость длительности болевого приступа, пароксизмальной желудочковой тахикардии и параметра QT поликардиограммы.

5-й кластер включает только параметры PCO_2 , PO_2 , HbO_2 КОБ и параметр Na сыв. электролитного баланса.

6-й и 7-й кластеры содержат одиночные показатели.

Из анализа полученных кластеров можно также сделать заключение о практической независимости таких исследований, как фазовая структура сердечного цикла и кислотно-основной баланс (показатели, относящиеся к этим тестам, распределяются по разным кластерам).

Четыре параметра электролитного баланса крови оказались отнесенными к разным кластерам (1-му, 3-му, 5-му, 6-му), в то время как показатели КОБ и фазовой структуры сердечного цикла сгруппированы относительно компактно (параметры КОБ в 1-м и 5-м кластерах, параметры фазовой структуры сердечного цикла – во 2-м кластере), что говорит о более сильной взаимосвязи параметров этих тестов.

Программа *WISH* реализует процедуру, относящуюся к классическому кластерному анализу (каждый признак принадлежит только одному кластеру, и его связи с другими класте-



рами пренебрежимы). Кластеры организуются этой программой /2/ соответственно ранжированию (по убыванию) пороговых значений связи, т.ч. более сильными по взаимосвязи признаков являются кластеры, образованные первыми. Но при таком способе кластеризации могут быть оборваны достаточно сильные связи между отдельными признаками. Учет их оказывается возможным лишь при организации размытых кластеров /4/.

Поступила 24.Х.1989

Проблемная лаборатория физической кибернетики

Литература

1. Л.Лаастед. Введение в проблему принятия решений в медицине. М., "Мир", 1971.
2. А.В.Корнеева, Н.В.Пиотровская, М.И.Пирцхалава. Программа кластеризации признаков на основе процедуры, имеющей аналогию с методом Уимарта. ГосФАН, рег.ном. 50880000975.
3. С.А.Айвазян, З.И.Бежаева, О.В.Староверов. Классификация многомерных наблюдений. М., "Статистика", 1974.
4. А.В.Корнеева. Формирование размытых кластеров. Труды Тбилисского университета, серия кибернетики и прикладной математики, 279, 1988.

ა, კორნეევა; ნ, პიტოვსკაია, ღაგარაინ
ბიბლიოგრაფის ინდექსის მწევად მირიკოსტაციის სამსახურის
სასამართლო ასამაშინა არის მიმდინარეობს სამსახურის
ესსენიური არაღიანი საჭიროების საჭიროების

ჩ ვ ბ ი ვ ი ვ

* ტანზიანის ციცარონია იმ ნაშან-კრისტალურა კრისტალური მიმდინარეობა, რომელთა საშუალებისაც სასსიურებელ მიმკანების ინდიკატორის მნიშვნელობა და მერიტორია. კრისტალური ანალიზის საუკეთესობის მართვული მიზანი და დამატებითი დამატებითი სინაზეტიკურის სასამართლების, სისხლის ფიზიოლოგიური ბაღანისს, სისხლის ელექტროგრაფიურ ძარანისა და მიგრანტის კონცენტრაციული სიმძიმეების მიმდევარის ანსენტური კრისტალური მიმდინარეობა.

A.Korneeva, N.Petrovskaya, I.Akhaleia

CLUSTER-ANALYSIS STUDY OF THE INTERDEPENDENCE
OF THE PARAMETERS CHARACTERIZING THE ACUTE
PERIOD OF MYOCARDIAL INFARCTION

Summary

A clusterization of attributes characterizing the acute period of myocardial infarction has been realized. Cluster analysis has revealed an interdependence of the phase structure parameters of the cardiac cycle, the acid-base equilibrium parameters of the blood, the electrolyte equilibrium parameters of the blood, and some clinical symptoms.

Труды Тбилисского государственного университета

им. И. Джавахишвили

ივ. ასულაშვილის სახ. თბილისის სახელმწიფო

უნივერსიტეტის მუზეუმი

298, 1990



ტერას პაციენტები თარიღზე დასახილი

გეგმისა "PSIKIATRI" -ი

რ. მერიელაშვილი

70-იან წლებში ხელოვნური ინტელექტუალური ტანიკოლოგიური ტა-
მოდული დამოუკიდებელი მიმართულება, რომელსაც სახელად ექსპერ-
ტი სისტემები დაწევა. ექსპერტური სისტემების გამოყენებას
მიმდინარე პრიტჩამების ან მოწყობილობის შემუშავება, რომელიც
რამდენიმე ექსპერტურაზე მიმდინარე არ არის. ექსპერტური სისტემების წარასახტყველ ამო-
ცალებას, ასრითავად ექსპერტური სისტემები ხსნიან ამოცანებს,
რომელთა აღირები მიმდინარე შეუძლებელია.

როგორც ცნობილია, ექსპერტური სისტემის სიმიზავრე გამო-
ტარებულია მისი ცოდნის მოყვარის მიზანით.

ექსპერტური სისტემების უმრავლესობა უფრონობა ცნობილია ცნობას
"ჰუნძარური პრიტჩამების სისტემა".

არამინის მიერ ტარაზყვალების მიღების პრიცესების
ფსიქოლოგიურმა გამოკვლეულობის ტომიგენეს, რომ მსჯელობებას
არამინის დენორეს წესებს, რომელიც პროდუქციების ანალიზ-
რია, ანუ წესებს "პირობა-მოწევება". რიულია /1973/ გასცა
პროდუქციული სისტემების გამოყენების საჭირო ეჭა-ტე გადაზი-
ვობების მიღების მოხელიზებისათვის. პროდუქციული სისტემა
[PS] განვიძაროთ შემრეგვირა: $PS = \langle F, P, I \rangle$, სადაც
 F - სისტემის მუშა მეხსიერება /იმიური მონაცემთა მაჩვა/,
 P - ცოდნის განაკვა, რომელიც შეიცავს პროდუქციების სიმრავლეს
და აუკს სახე - "პირობა-ცენტრიზაცია".

1/ ინტერაციალი / გადაზისალის მიმღები /, რომელიც
ასრულებს გადაზისალების მიღებას. ინტერაციალი ასრულებს
შემდევ მოწევებებს:

1/ განსაზღვრავს იმ ჩესების სიმრავლეს, რომელიც აკმი-
ყოფილებს მიმღინარე მონაცემებს.

2/ ასრულებს განსაზღვრულ მინიშვნებს, ცვლის მუშა მეხსი-
ლებრას. ინტერაციალი შეიძლება ჩარმოგენირ იქნას ოთხეკლის
სახით:

$$I = \langle V, S, P, W \rangle,$$

სახად V - არჩევის პროცესია, რომის მროსაც P და F - გან
აირჩევა ქვესიმავრე აქციური. მონაცემებისა F_V

და აქციური პროცესირებისა P_V , რომელიც გამოიყენება ინტერ-
აციალის მჯრაობის მოცული ციკლის გრძელს, S - მინიშვნლი
სიმრავლის შემაოების პროცესია, რომელიც მროსაც ერთმანეთს დარ-
ება ჩესი / P_S / მონაცემებს $\{d_i\}, \{P_i\} \in P_V$,

$\{d_i\} \in F_V$, ამასსან დავულ P_S გამოიყენება $\{d_i\}$ სიმრავ-
ლის ელემენტების მიმართ. R - კანფიგურის გადაზისალის პრო-
ცესია, რომელიც განსაზღვრავს რომელი მინიშვნა სრულდება. W -
არჩეული მინიშვნილი ნუკის შესრულების პროცესია / ე.ი. სრულდება
მოწევებას, რომელიც მიჰთვებულია ჩესის მარჯვენა ნაწილი /.

შესრულების შეგვებია მონაცემების მოგიფიკაცია F -ში ან შე-
დანა-გამოფარის თვერაცია..

აგამიანის პრაქტიკული მოღვაწობა მერიცინის სფეროში
მოიცავს გარკვეულ თავასებურებებს. აქერამ გამომდინარე, კაცო-
რიობის მოღვაწობის ეს სფერო ან ლევემდებარება ბუსფ აღმოჩიდი-
შაციას.

ექიმის მიერ გიაზმინდის გასმა უდრი მის გამოცემისებასა
და ინტერიას ეფუძნება, კარი აგამიანშა თრგანიზმში მიმღინარე

ფიტილიტირ და პალლიტირ პრიცესების აწარის.

ექიმს არაფორმარენი ცოდნის შემსრგენობა ჩრიის ქან-
 მაცეობრამა ეცვლება. ეს უორნა ექიმს საშუალებას აძლევს გადა-
 წყვილს განსაზღვრული ამოცანა კანკრეტულ სიტუაციაში, მატრამ-
 თანამედროვე მერიცინა იმიტონარ გარდადა, რომ ცველაზე კარგ
 ექიმსაც არ შესწეუს უნარი გაასარიტოს აჲორით და ასორით
 მაჩვენებელი ავაგმცოდის მატომარეობის შესახებ. სწორებ ამან
 აიძულა მათემატიკას ეიცირათ ისეთ სისტემის შექმნაზე,
 რომელიც დაუხმარება ექიმებს.

ასეთ სისტემის შექმნის მცდელობას ასორით წლების ისტო-
 რია აქცს. მოესროლობით ჩირი ჭურაღლება ემორა მანქანური ტიაზ-
 ნისტროს პრიცეპების, რაც გამოიწვევილა გიაგონსფიკური პრიცეპ-
 მების ახარი კასტი - ექსპერტული სისტემების შექმნით.

ყველ სამეცნიერო კიონიკას გააჩნია ათელის მასაღების
 მცირებულოვანი წარმომაზა - ავაგმცოდის ისტორიის სახით. მათი
 მოცულეული სიმპოზიუმის კამპილესების მიხედვით წყუბის ავაგმც-
 ფობის საბაზო. სამეცნიერო ექსპერტული სისტემის დახმარებით
 ეს პრიცესი რამეობამე იორდობა.

ექსპერტული სისტემები იწახურა ცოდნის ჩირი მარაგი მეც-
 ნიცემების ამა თუ იმ დარტე, აღვეული წიგნებირან, მონიკრაფიერი -
 დან, დასკვნები, ჩამოყალიბებული გამოცდილ სერეგიალსფერის მი-
 ერ, ატრეთვე იწყორმაცია, ზუმერიც დამო ტახებულია ექსპერტული სის-
 ტემაში მომხმარებლის ურთერთობაზე.

მოესროლობით შექმნილია ასორით განსხვავებული ექსპერტული
 სისტემა, რომელსაც იღენერენ მერიცინის სხვადასხვა დაწები.

ექსპერტული სისტემების პრინციპების შემუშავება წინა
 პლანშე წამოწევს ცოდნის, წარმოგენის პრიცეპებას. ისეთ პრიცეპ-
 მური არის განხილვისას, სარაც შესაძლებელია მიღებულის აღმარის

ଶାସନକ୍ରମି ହେଲା "ରିକେରଣ୍‌ଟୋଲିଙ୍ଗ୍‌ବା-ରିକେରଣ୍‌ଟୋଲିଙ୍ଗ୍‌ରୂପ", ଶ୍ରୀରାଧାରୁପ ରାଜ୍ୟପ୍ରଦେଶ-ରୂପ ରୂପରୀତିରେ ଉଚ୍ଚବ୍ରତିକାରୀ ହେଲା.

კაცულებუალურ სისფეროს რეალიტე, იმ მოითხოვს შესაჩინი-
სი არარითობური და პრიკრიამური უზრუნველყოფის შემსრულებას.

କ୍ଷେତ୍ରରେ ଶବ୍ଦାଳ୍ପିନୀ ଅର୍ଥାତ୍ କ୍ଷେତ୍ରରେ ଆଶଚ୍ରମିତାର ଉପରିବାଟିରେ-
ଏହାରେ ନାହିଁ କିମ୍ବା କିମ୍ବା କିମ୍ବା କିମ୍ବା କିମ୍ବା କିମ୍ବା କିମ୍ବା କିମ୍ବା
କିମ୍ବା କିମ୍ବା କିମ୍ବା କିମ୍ବା କିମ୍ବା କିମ୍ବା କିମ୍ବା କିମ୍ବା କିମ୍ବା

ଶ୍ରୀମତୀ ବସେନ୍ଦ୍ରାରୁ ଅନୁଷ୍ଠାନିକରିବିଲେ ଆମିତରୁଙ୍ଗରେଣ ଦୂରାଧ୍ୟାନିକରିବା
ନେବିଲେ ବିଶିଷ୍ଟ ବ୍ୟାକରଣ, ସାହଚର ବିଶିଷ୍ଟ ପ୍ରକାଶରେ ଉପରେତ୍ତା କ୍ରମିକରିବିଲେ ଯାହା-
ମୁଖ୍ୟ ପ୍ରକାଶରେ ଦୂରାଧ୍ୟାନିକରିବିଲୁମୁ।

ଅନ୍ଧରୀଳ ପ୍ରାଣପ୍ରତିଶ୍ରୁତିରେ ନିରମିତରକ୍ରମିଳିଲେ ନିରମିତିରେଇବା
୨.୩. ପରିଣିତି ଦ୍ୱାରା ପ୍ରଦାୟିତା, ନିରମିତିରମାତ୍ର ମିଳିଲେ ସାନ୍ଦର୍ଭରେ ନିରମିତି-
ନିରମିତିରେ ଏବଂ, ନିରମିତିରେ ଏବଂ "ପରିଣିତି ପ୍ରାଣପ୍ରତିଶ୍ରୁତିରେ ନିରମିତିରେ
ଦ୍ୱାରା ନିରମିତିରେ ନିରମିତିରେ ଏବଂ" ।

აწმუნებით კარტველთა წარმომადგენს ობიექტთა კუასის ფორ-
მალის-ღორიცურ განსაზღვრას, განმდსვავებელი კარტველთა კა-
ვარმუნურ-ღორიცურ გამოსახულებას, რომელიც წარმოაჩვენს წესს,
რე წოდორ დავარიბოთ, განვიკუთვნება თუ არა ფიქსირებულ სისტე-
მაში "ნიშან-თვისება-მნიშვნელობა" გამოსახული ობიექტი დასა-
ხელისა. კუასის დენოტაცის.

აწერითი ბა განმასხვეულები კანცეპტები მიღებულ იქ-
ნა გეპრესიის ორი ფორმისათვის: ნერობული ბა ინკუსი-
ციას არის უკავშირი მ.ასათავის სახელის დსისტანციის ანტეცუტი

శ్రేష్ఠప్రాణిలు 150 అప్పారిట్యూస్ లిస్టోనీలు, నీచెర్లుమిట్ లిస్టోన్లు ద్వారా రా గమిప్పాల్సుల లిస్టోన్ లోపించ అన్నిసిద్ధ్యులు లిస్టోన్లుతో పాశుపించ.

CONF-2: కెరిగ్రెన్ఱమిస్ రాబిసిన్ఱెమిష రాబిమిట్సెండ్రోర్స
 ఎ.ఎ., అల్ఫెన్సోన్ ఆంచ్యోపత్రి. అల్ఫెన్సోన్ ఆంచ్యోపత్రి తొలిమిట్రోబ్ బోర్-
 ఆర్పిట్ ఓస్ లిస్టు, నీచె రాబిమిట్సెండ్రోర్సుల ఉండించా కూచిచ్చిన్నాడు
 పత్రికల్లున్నాయి, నీచెలు రథిసాప్ రాజువాణిసిద్ధించ్చుకొండి నీచెర్-మాట్లాడుస్తుండు
 సించించ్చుకొండి లేదాస్టార్టో.

I సాఫ్ట్‌ఏస్‌ర్చింగ్ ఫిల్టర్‌సింగ్ శైఖర్లోర్లిస్ క్రాంట్‌లు లిస్టోన్లు
 లిస్టోన్లు. II సాఫ్ట్‌ఏస్‌ర్చింగ్- లోచెర్-మాట్లాడ్‌లు ఉండిన బుక్కలు శైఖర్-
 లు లిస్టోన్లు లిస్టు ఎం ఎ.ఎ.

ప్రెరిస్ ఫ్యార్మిట్‌లు లిస్టోన్లు వెర్మిచ్యూర్సు అప్పల్సు లిస్టోన్లు క్రాంట్-
 సపత్రులు రాబిసాప్పాల్సుల్లో థరమిట్‌లు లిస్టోన్లు ఉండిపుండి గమిషిస్.

అందీర్సో ప్రెరిస్ లిస్టోన్లు అసాహువ్వు లిమిట్ సాయింస్, నీచెల్పోలు ఎ-
 స్ట్రెగ్టిస్ క్లాబ్‌లు లిస్టోన్లు క్లాబ్‌లు లిస్టోన్లు లిస్టోన్లు, రాబిసిసింగ్‌లు ప్రెరి-
 ణ ప్రెరిస్ లిస్టోన్లు అసాహువ్వు లిమిట్ సాయింస్, నీచెల్పోలు ర్మాండ్‌లు లిస్టో-
 ణ క్లాబ్లు లిస్టోన్లు క్లాబ్‌లు లిస్టోన్లు సామ్రాజ్యాలు.

మాసాణులు రాబిసాప్పాల్సులు శైఖర్లోర్లిస్ లిస్టోన్లు లిస్టోన్లు క్రాంట్‌లు,
 నీచె ర్మాండ్‌లు ర్మాండ్‌లు లిస్టోన్లు శైఖర్లోర్లిస్ / సాఫ్ట్‌ఏస్‌ర్చింగ్ ఫిల్టర్‌గమ్ములు
 లిస్టోన్లు అందీర్సో ఆంచ్యోపత్రి, నీచెల్పోలు శైపిచ్చార్లు 5 నీచెర్-మాట్లాడ్సః:

12-ఫిల్టర్‌స్టోర్సులు లిస్టోన్లు,

23-శ్రున్నేర్లు-సామీట్‌లోర్లిస్ లిస్టోన్లు,

33-ధాన్యాల్సులు శైపిచ్చార్లు లిస్టోన్లు ధాన్యాల్సులు,

48- సాగ్రణి లిస్టోన్లు,

69-శ్రున్నేర్లు.

మ్యాట్రిట్‌లు ర్మాండ్‌లు లిస్టోన్లు శైఖర్లోర్లిస్ / ఫోన్లు ఆంచ్యోపత్రి అందీర్సోలు
 శైఖర్లోర్లిస్లు:

I. ప్ర 1) ప్ర 2) ప్ర 3) --- V ,
 12 28 33

2. $\psi_{12}(2)\psi_{28}(2) - \psi_{18}(2) - V,$
3. $\psi_{11}(1)\psi_{28}(1)\psi_{33}(2)\psi_{48}(1)\psi_{69}(1)V,$
4. $- \psi_{28}(2)\psi_{33}(2)\psi_{48}(2) - V,$
5. $\psi_{12}(1)\psi_{28}(1) - \psi_{48}(2)\psi_{69}(2)V,$
6. $- \psi_{33}(2)\psi_{48}(2)\psi_{69}(2)V,$
7. $\psi_{12}(2)\psi_{28}(2) - - \psi_{69}(2).$

ცნების პირველ ღონებები ფიგურირებს ნიშან-თვასების ორი მინიჭენილობა: 1 და 2. 2 მეტომარება მიუჰთებს იმაზე, რომ ნიშან-თვასებისათვის გამახასიათებელია პათოგიტის მინიჭენილობები /ე.ი. მისი სუსტი, საშუალო ან ძრიერი გამოხატულება/. ცნების უფრო ტარია ღონებები ფიგურირებები იგივე ნიშან-თვი-სებები, მაგრამ აქტერის გეფალიზება უფრო გამოისახა, ფართ პირ-ვერ ღონებები. ფოვერი ნიშან-თვასებისათვის შესაძლებელია შეტ-რაგი მეტომარეობები:

1. პათოგიტის ან არსებობა,
2. პათოგიტის სუსტი ან საშუალო გამოხატულება,
3. პათოგიტის ძრიერი გამოხატულება.

2 მეტომარება ფიგურით, გაყავშირებულია პროცენტის სტრუქტურასთან და ამიტომ ა. საჭიროების იმცირდებულიას.

III ღონებები არწერა კარევ უფრო გეფალიზირებულია. აუ ფი-გურირების მეტომარეობები: 1, 5, 6, 7.

- 1-მეტომარება შეესაბამება პათოგიტის ან არსებობას,
- 5-მეტომარება შეესაბამება პათოგიტის სუსტ გამოხატვას,
- 6-მეტომარება შეესაბამება პათოგიტის საშუალო გამოხატვას.
- 7-მეტომარება შეესაბამება პათოგიტის ძრიერ გამოხატვას.

ამ შემთხვევაში მეტომარეობები 2, 3, 4 ფიგურით და გაყავშირებულია C'ONF-2-ის სტრუქტურასთან.

უფერა ბემოსარნიშნული შენიშვნა რჩება ძაღაში ინკო-

ციური ღვერესის შემთხვევაში, რომელისთვისაც მიღებული იყო
კანცელიტები შემდეგ ნიშან-თვისებების საშუალებით:

25-კანცაქტის ბაზევითობა გარშემო მფლობელი და ეჭიმებიან,

28-გურიება-ტაქტის ბაზევითობა,

36-ჭრადიკური სახის ცამომეცყველება,

69-ძირის მოშლა,

71-წარის ძირით გაუკრძალობობა.

ინიციატივული ღვერესის / მონის კანცელიტს აქვს სახე:

1. $\varphi_{25}(2)\varphi_{28}(2)\varphi_{36}(2) -- V$,
2. $-- \varphi_{28}(2)\varphi_{36}(2) -- \varphi_7(1)V$,
3. $\varphi_{25}(2) - \varphi_{36}(1)\varphi_{69}(2)\varphi_7(2)V$,
4. $-- \varphi_{28}(2) - \varphi_{69}(2)\varphi_7(2)$.

II ცარილი მოყვანილი ნევრობული და ინკოლური გვა-
რესის შეჩერები აღმნიშვნის გამარტივება / 142 შემთხვევა/.

ცნობის შემცირები საფეხურები შეიძლება გაგვეხმაროს გვა-
რესის ფორმების სამრღო გიფერენციაციისათვას. აღმნიშვნი კან-
ცელი რიგ შემთხვევებში შეიძლება არმოჩნდეს არასტატისტი სა-
მოღო გასკვინის მიღებისათვის. მაშინ ამ გავალების გიფერენცი-
აციისათვას შესაძლებელია გავათვალისწინოთ განმასხვავებაში
კანცელიტი.

აღმოჩითი, რომელიც საშუალებას იძლევა მიკოლოდ გამ-
მასხვავებელი კანცელიტი ნევრობული და ინკოლური გვა-
რესისათვას, მიღებული იყო ავატომატური გამავა ჯრუფისათვას. ამ
კანცელიტის გიფერენციაციის გამო მოვალეობის მხოლოდ მათ ურატ-
მენტებს:

განმასხვავებელი კანცელიტის ფრაგმენთი ნევრობული გვა-
რესისათვას:

1. $\varphi_{11}(1)\varphi_{35}(1)\varphi_{62}(1)\varphi_{20}(1)V$

- $$3. \varphi_{11}(4)\varphi_{35}(1)\varphi_{62}(4)\varphi_{20}(4)\varphi_{65}(4)\varphi_{34}(4)y,$$

ଦ୍ୟାମେଲ୍ଲିଶ୍ୱାସ୍ୱାର୍ଥୀଙ୍କ ପାଞ୍ଜାବରେ ଉଚ୍ଚାରିତାରେ ଏହାରୁଙ୍କ ରୂପରେଣି-
ବାରାନ୍ଦିଶ୍ୱାସ:

1. $\Psi_{11}(t)V$,
 2. $\Psi_{11}(t)\Psi_{35}(t)V$,
 3. $\Psi_{11}(t)\Psi_{35}(t)\Psi_{52}(t)\Psi_{20}(t)\Psi_{65}(t)V$.

პროგრამა CONF-ით მასსღის ღამეშავების შედეგების ინ-
ციურებირეცირების ჩრთს შესაძლირებად ხა ამ პროცესის აცვლაშაბა-
კით მიზნით შემუშავებულ იქნა პროგრამა ANALIZ.

პრიტჩამის სასუაღებით შესაძლებელია გადაიჭიას არსებულ
სიმპტომათის მითხვებით ახალი აცავმოყვას გიფტერენციალის სა-
კაბი.

ନିର୍ଦ୍ଦେଶ ନାମ ପରିଚାରକ ବିଷୟ, ଅନୁଭବାର୍ଥ ANALIZ -ଏ ଗତି-
ପ୍ରକାଶିତ ବ୍ୟାଖ୍ୟାତର ବସନ୍ତ ମୌଳିକ ପରିବହନ କାନ୍ତିକାରୀ 90 ଲୋକଙ୍କରେ ଯେବେଳେ
ଏକାକିଳେ କାନ୍ତିକାରୀ କାନ୍ତିକାରୀ 24 ମୌଳିକ, 11 ମୌଳିକ- 64, 111 ମୌଳିକ-72
ମୌଳିକ.

ପରିମ୍ବାଲୁପରୁରି ରାଜସ୍ରାଳୀଙ୍କିଳି 60 ଶେଇଷତାହାରାର / ଫନିଲି ଶୁଣିବା
ଗିଲି ସାର୍ଥକରୁଥିବ ଅଧିକାରୀଙ୍କିଳି 11 ମନ୍ଦିର-52 ରୁ
111 ମନ୍ଦିର-55 ମନ୍ଦିରାଳି ।

ମିଳୁଥୁଣ ଶ୍ରୀରାଧାର ମିଳୁଣ୍ଡରସ ମିଳୁଥୁଣ ଆନ୍ଦୋପତ୍ରରେ ସଂକ-
ମାର ମାର ବାହିନୀରେ, ଯୁଦ୍ଧର ଦ୍ୱୟାକ୍ଷେ ଚାରିଶୁଦ୍ଧିଗୁଣରେ ଶ୍ରେମିଲୁହୁ-
ଦ୍ୱୟାକ୍ଷେ ଏବଂ ମାନୁଷଙ୍କର ମିଳୁଥୁଣ ଆନ୍ଦୋପତ୍ରରେ ମାରାର ସଂକ୍ଷିପ୍ତ-
ରେ ମାରିବାରେ ମାନୁଷଙ୍କର ମିଳୁଥୁଣ ଆନ୍ଦୋପତ୍ରରେ ମାରାର ସଂକ୍ଷିପ୍ତ-
ରେ ମାରିବାରେ ମାନୁଷଙ୍କର ମିଳୁଥୁଣ ଆନ୍ଦୋପତ୍ରରେ ମାରାର ସଂକ୍ଷିପ୍ତ-
ରେ ମାରିବାରେ ମାନୁଷଙ୍କର ମିଳୁଥୁଣ ଆନ୍ଦୋପତ୍ରରେ ମାରାର ସଂକ୍ଷିପ୍ତ-

სამურიდო თეატრისარიგისით ნიღებული შეხვედრი საკუთარ
კურტად ასახავს რეალობას. პირველ საფუძურებელ მიღებული ნიშან-
თქმასერათა ჟამპლატფორმი მზადავ არანიშნებათ ავტომობილ ურავ-
რცხობას.

ରେଣ୍ଡମାର୍କ୍ସରୁଙ୍କ ଉତ୍ସବଦୟରେ ଶେଇପରୀରା ଦୁଃଖରୂପ ବାସିପରିବାକୁ
। ସୁମଧୁର ନେଚ୍‌କାର୍ଡ୍‌ର ରା ଠିକ୍ ମର୍ମପିଲାର ବିଅଳ୍‌ଲୋଗୋର ବାଜିରାର
ଯେତେ ପିଲାକାର କାର୍ଡ୍‌ର ପରିମାଣ, ଆରିବିଲେବାର ଶ୍ରେଷ୍ଠଦୟରେଣ୍ଟରୀରା
ମାତ୍ର ବିଦ୍ୟୁତ୍‌ବିଦ୍ୟୁତ୍‌କାରୀ ରା କ୍ରିଯାବିନ୍ଦନରେଣ୍ଟରୀରା ଠିକ୍ ବିଦ୍ୟୁତ୍‌ବିଦ୍ୟୁତ୍‌କାରୀ
ରାହିଲେବାର କାର୍ଡ୍‌ର ପରିମାଣ କ୍ରିଯାବିନ୍ଦନ କ୍ରିଯାବିନ୍ଦନ ବାସିପରିବାକୁ
ଯେତେବେଳେ ।

2. ԱՐԵՎՈՐՈՅԻ ԹԱ ՀԱՅՈՒՄԱԿԱԴՐԱՅՐԱՅՐՈ ԿՐԵՇՆԵՐՈՒՄ ՀԱՐՄԱՆՈՒՐՈՒՄ ԵՐԿՐՈՎՐՈՒ-

ຮຽດໂສ ກາມອົງປະກາດ ສົກສາດລ່າຍລ້າ ມີຄວາມ ສົກວິເກມບົາ ສະຫຼຸດໂສ
 ດັບທຳ ວິສເຫຼົ່ງຮູ້ລົກ ສົກສົງເມືອສ PSIKIATRI ອີສ ທຳນີ້ໄວ້ເຫຼື້ອງ-
 ດັບຜູດດັບ ຮັບກາສາທິພາສ. ຂີ ອົງກມີ ສົກມີດູ້ນີ້ ສົງລູດຜົນດີສາ ອາ ດັນ-
 ດາສາທິການ ຕ່າງປະເທດ ຢົນດາ ສົກດູ້ສ ອົງກມີສົດດີສ ສົບງາ ຖົມທີ່ເກີດດີ
 ຮັດຖຸການີ້ແມ່ນມີຄວາມ.

ຮາມູສັງເກດ ສົກວິເກມບົາ ມີຄວາມ ມີລູດຜູ້ລົກ ມີສະຫຼຸດ ຂີ-
 ດັກ ມີລູດຜູ້ລົກ ທີ່ມີສົດດີສ ມີຄວາມ ສົກວິເກມບົາ ມີສະຫຼຸດ
 ທີ່ມີສົດດີສ ສົກວິເກມບົາ ມີຄວາມ ສົກວິເກມບົາ ມີຄວາມ ສົກວິເກມບົາ
 ມີຄວາມ ສົກວິເກມບົາ ມີຄວາມ ສົກວິເກມບົາ ມີຄວາມ ສົກວິເກມບົາ
 ມີຄວາມ ສົກວິເກມບົາ ມີຄວາມ ສົກວິເກມບົາ.

ມີລູດຜູ້ລົກ 16.XI.1989

ທິດຕິປູ້ນີ້ ທຳນີ້ໄວ້ເຫຼື້ອງ-
 ດັບທຳ ລົກມີດູ້ນີ້

୪୯୦୦ ମୀ ।

ରାନ୍ଧିବୀ ॥	ଶ୍ରେଣୀତ୍ୱାବଳୀ ରିପୋର୍ଟ			
	I	II	III	ସ୍ଥର
ନ୍ଯୂର୍ମନ୍ଦିରୁରୁ	24	64	72	90
ନନ୍ଦନ୍ଦିରୁରୁ	28	52	55	60

୪୯୦୦ ମୀ । ୨

ରାନ୍ଧିବୀ ॥	ଶ୍ରେଣୀତ୍ୱାବଳୀ ରିପୋର୍ଟ				
	I	II	III	ସ୍ଥର	ରାତ୍ରେରେ- ପିଲାପିଲି- ଦାନୁଦର୍ଶି
ନ୍ଯୂର୍ମନ୍ଦିରୁରୁ	18	25	27	70	20
ନନ୍ଦନ୍ଦିରୁରୁ- ରୂ	10	11	4	25	28

СПОСОБЫ

1. Р.Кернап. Значение и необходимость. М., "Наука", 1954.
2. Э.Хант, Дж.Марин, Ф.Стоун. Моделирование процесса формирования понятий на вычислительной машинке. М., "Мир", 1970.
3. А.В.Корнеева. Искусственный интеллект и теоретические проблемы медицинской кибернетики. Труды Института кибернетики АН ГССР, т.1, Тбилиси, 1977.
4. В.В.Чавчанидзе, А.В.Корнеева. Аналитический фильтрационный метод формирования понятий. Сообщения АН ГССР, т.65, № 3, 1972.
5. Отчет о научно-исследовательской работе по теме:
"Разработка алгоритмических основ концептуальных подсистем представления знаний для интеллектуальных исполнительных систем". Тбилиси, 1985.
6. О.В.Кербиков, М.В.Керкина, Р.А.Наджаров, А.В.Снежневский. Психиатрия, М., "Медицина", 1968.
7. Депрессии, вопросы клиники, психопатологии, терапии. Сборник докладов, представленных на симпозиуме, проходившем 10-12 сентября 1970 г. в г.Москве.

Н.А.Шергелашвили

КОНЦЕПТУАЛЬНОЕ ПРЕДСТАВЛЕНИЕ ЗНАНИЙ В ЭКСПЕРТНОЙ СИСТЕМЕ
"PSIKIATRI"

Резюме

Рассматривается вопрос программного обеспечения экспертной системы "PSIKIATRI" для концептуального представления медицинских знаний.

N.Shergelashvili

A CONCEPTUAL REPRESENTATION OF KNOWLEDGE IN THE
EXPERT SYSTEM "PSIKIATRI"

Summary

The question of the software of the Expert system "PSIKIATRI" for conceptual representation of medical knowledge is discussed.

Труды Тбилисского государственного университета

им. И. Джавахишвили

№ 3, ԽԱՅԱՅԻՇՎԻԼԻ ՍԱԲ, ԹՈՐՈՍԻՆ ՍԱԵՐԹԻԳԻ

ՄԵԽԱՅԻՇՎԻԼԻ ԾՐՈՅԵՐԸ

298, 1990

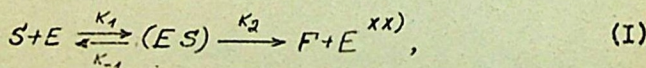
ОПТИМИЗАЦИЯ ЗАДАЧИ ФЕРМЕНТАТИВНОЙ КИНЕТИКИ

Н. В. Бокчава

I. Введение

Известно, что при моделировании многих биологических процессов становится необходимым исследование их ферментативно-кинетических механизмов, ибо ни одна химическая реакция в организмах не протекает без участия ферментов (т.е. белков-катализаторов).

Одна из наиболее простых и в то же время основных ферментативных реакций – это реакция, в которой субстрат^{X)} S необратимо превращается в продукт одним ферментом E . Согласно модели Микаэлиса–Ментена /I/ в реакциях подобного рода вначале образуется комплекс фермент–субстрат (ES), который в ходе дальнейшей реакции распадается на конечный продукт S и свободный фермент E :



при этом общая концентрация фермента всегда остается постоянной величиной, т.е.

x) Субстрат – это молекула, которая связывается с ферментом.

xx) K_1, K_{-1}, K_2 – константы скорости прямой и обратной реакций.

$$C_E + C_{(ES)} = \text{const},$$

концентрации фермента и субстрата в начальный момент времени $t=0$ известны, а концентрации комплекса и продукта равны нулю, т.е.

$$\left. \begin{array}{l} C_E(0) = C_E^0, \quad C_S(0) = C_S^0, \\ C_{(ES)}(0) = 0, \quad C_F(0) = 0. \end{array} \right\} \quad (2)$$

Ввиду того, что в большинстве реакций химической кинетики отношение начальных концентраций фермента к концентрации субстрата очень мало, то дифференциальные уравнения ферментативной кинетики в безразмерных переменных вообще, а для модели Микаэлиса-Ментена в частности, принадлежат к классу сингулярно возмущенных систем, общая теория которых разработана А.Н. Тихоновым /2/.

Новизной в настоящей работе можно считать представление модели Микаэлиса-Ментена в виде управляемой модели и унифицированную схему ее реализации, построенную на синергизме тихоновского метода решения задач сингулярного типа и понtryagинской теории оптимального управления.

2. Постановка и решение задачи ферментативной кинетики

Согласно /1/ при начальных условиях (I) система дифференциальных уравнений ферментативной кинетики для модели Микаэлиса-Ментена имеет вид:

$$\left. \begin{array}{l} \frac{dC_S}{dt} = -K_1 C_E^0 C_S + (K_1 C_S + K_{-1}) C_{(ES)}, \\ \frac{dC_E}{dt} = K_1 C_E^0 C_S - (K_1 C_S + K_{-1} + K_2) C_{(ES)}. \end{array} \right\} \quad (3)$$

которая для безразмерных величин

$$\tau = K_1 C_E^{\circ} t, \quad \beta = K_2 / K_1 C_S^{\circ}, \quad \alpha = \frac{(K_{-1} + K_2)}{K_1 C_S^{\circ}}, \quad \left. \right\} \quad (4)$$

$$x(\tau) = \frac{C_S(t)}{C_S^{\circ}}, \quad y(\tau) = \frac{C_{(ES)}(t)}{C_E^{\circ}}, \quad \varepsilon = \frac{C_E^{\circ}}{C_S^{\circ}} \ll 1$$

принимает следующий вид:

$$\left. \begin{aligned} \frac{dx(\tau)}{d\tau} &= -x(\tau) + (x(\tau) + \alpha - \beta)y(\tau), \\ \varepsilon \frac{dy(\tau)}{d\tau} &= x(\tau) - (x(\tau) + \alpha)y(\tau), \\ x(0) &= 1, \quad y(0) = 0. \end{aligned} \right\} \quad (5)$$

Введя в качестве управления ферментативных реакций типа (I) величину $\beta y(\tau) \equiv u(\tau)$ с учетом $C_{(ES)}(0) = 0 \Rightarrow u(0) = 0$ из (5) получим:

$$\left. \begin{aligned} \frac{dx(\tau)}{d\tau} &= -x(\tau) + (x(\tau) + \alpha)y(\tau) - u(\tau), \\ \frac{dy(\tau)}{d\tau} &= \frac{1}{\varepsilon} [x(\tau) - (x(\tau) + \alpha)y(\tau)], \\ x(0) &= 1, \quad y(0) = 0, \quad u(0) = 0. \end{aligned} \right\} \quad (6)$$

Зададимся целью определить такое оптимальное управление, которое минимизирует время T , необходимое для получения продукта в реакции типа (I); иначе говоря рассмотрим задачу об оптимальном быстродействии, когда имеем (6) и условие:

$$T_o(T) \equiv T = \int_0^T d\tau \rightarrow \min, \quad 0 \leq \tau \leq T. \quad (7)$$

Так как время T в нашей постановке не фиксировано, а в (6) ограничения на переменную наложены только в начальный момент времени, то для ее определения нужно использовать дополнительные так называемые условия трансверсальности

$\varphi_i(T) = 0$ (i = 0, 1, 2) - налагаемые на дополнительные переменные φ_i , удовлетворяющие следующей системе дифференциальных уравнений /3/:

$$\frac{d\varphi_i(\tau)}{d\tau} = - \sum_{j=0}^3 \frac{\partial f_j(\tau, u)}{\partial x_i} \varphi_j(\tau) \quad (i, j = 0, 1, 2) \quad (8)$$

при условиях

$$\left. \begin{array}{l} x_0 = x_0(\tau), \quad x_1 = x(\tau), \quad x_2 = y(\tau), \\ \varphi_0(\tau) = -1, \quad f_0(x, u) = 1, \\ f_1(x, u) = -x(\tau) + (x(\tau) + \alpha)y(\tau) - u(\tau), \\ f_2(x, u) = \frac{1}{\varepsilon} [x(\tau) - (x(\tau) + \alpha)y(\tau)]. \end{array} \right\} \quad (9)$$

Воспользовавшись далее условием /3/

$$\left. \begin{array}{l} \sup_{u \in U} H(\varphi(\tau), x(\tau), u(\tau)) = 0, \\ 0 \leq \tau \leq T, \end{array} \right\} \quad (10)$$

при

$$\frac{dx_i}{d\tau} = \frac{\partial H}{\partial \varphi_i}, \quad \frac{\partial \varphi_i}{d\tau} = - \frac{\partial H}{\partial x_i} \quad (i = 0, 1, 2), \quad (11)$$

где U - множество допустимых управлений, а

$$H(\varphi(\tau), x(\tau), u(\tau)) = \sum_{j=0}^3 \varphi_j f_j, \quad (12)$$

с учетом (8) получим:

$$\left. \begin{array}{l} \varphi_1 [-x(\tau) + (x(\tau) + \alpha)y(\tau) - u(\tau)] + \\ + \frac{1}{\varepsilon} \varphi_2 [x(\tau) - (x(\tau) + \alpha)y(\tau)] - 1 = 0, \end{array} \right\} \quad (13)$$

откуда следует, что для определения оптимального управления и оптимального (минимального) времени необходимо знать величины $x(\tau)$, $y(\tau)$, $\varphi_i(\tau)$ ($i = 0, 1, \dots$). Необходимо решить системы дифференциальных уравнений (6) и (II) с соответствующими граничными условиями.

Воспользовавшись тихоновским методом /2/, сначала найдем решения порождающей системы:

$$\left. \begin{aligned} \frac{dx(\tau)}{d\tau} &= -x(\tau) + (x(\tau) + \alpha)y(\tau) - u(\tau), \\ x(\tau) - (x(\tau) + \alpha)y(\tau) &= 0, \\ x(0) &= 1, \quad y(0) = 0, \quad u(0) = 0, \quad 0 \leq \tau \leq T, \end{aligned} \right\} \quad (14)$$

соответствующей (6). Согласно приложению I настоящей статьи, они имеют следующий вид:

$$\left. \begin{aligned} x^*(\tau) + \alpha \ln x^*(\tau) &= 1 - \frac{u^*(\tau)}{y^*(\tau)}, \quad \tau = t - \beta \tau, \\ y^*(\tau) &= \frac{x^*(\tau)}{x^*(\tau) + \alpha}, \end{aligned} \right\} \quad (15)$$

для которых $x^*(0) = 1$, $y^*(0) = \frac{1}{1+\alpha} \neq 0$, т.е. не выполняется второе начальное условие основной задачи (6).

Для устранения полученного противоречия введем новую переменную $\xi = \frac{\tau}{\varepsilon}$, для которой (6) примет следующий вид:

$$\left. \begin{aligned} \frac{dx(\xi, \varepsilon)}{d\xi} &= -\varepsilon x(\xi, \varepsilon) + \varepsilon(x(\xi, \varepsilon) + \alpha)y(\xi, \varepsilon) - \varepsilon u(\xi, \varepsilon), \\ \frac{dy(\xi, \varepsilon)}{d\xi} &= x(\xi, \varepsilon) - (x(\xi, \varepsilon) + \alpha)y(\xi, \varepsilon), \\ x(0, \varepsilon) &= 1, \quad y(0, \varepsilon) = 0, \quad u(0, \varepsilon) = 0. \end{aligned} \right\} \quad (16)$$

Будем искать решения (I6) в следующей форме:

$$\left. \begin{array}{l} x(\xi, \varepsilon) = x^0(\xi) + x_1(\xi, \varepsilon), \\ y(\xi, \varepsilon) = y^0(\xi) + y_1(\xi, \varepsilon), \end{array} \right\} \quad (I7)$$

где

$$x^0(\xi) \equiv x^0(\tau), \quad y^0(\xi) \equiv y^0(\tau)$$

— решение системы (I4), а $x_1(\xi, \varepsilon)$ и $y_1(\xi, \varepsilon)$ — поправки к этим решениям, гарантирующие выполнение обоих начальных условий в (I6). Поскольку первое граничное условие для (6) при (I5) выполняется, то вместо (I7) мы можем пользоваться соотношениями:

$$\left. \begin{array}{l} x(\xi, \varepsilon) = x^0(\xi), \\ y(\xi, \varepsilon) = y^0(\xi) + y_1(\xi, \varepsilon), \end{array} \right\} \quad (I8)$$

для которых граничные условия примут вид:

$$\left. \begin{array}{l} x_1(0, \varepsilon) = 0, \\ y_1(0, \varepsilon) = y(0, \varepsilon) - y^0(0) \equiv y_0 - y^0. \end{array} \right\} \quad (I9)$$

С учетом $\frac{dy^0(\xi)}{d\xi} = 0$ и (I8) для порождающей системы, соответствующей (I6), получим

$$\left. \begin{array}{l} \frac{dx^0(\xi)}{d\xi} = 0 \\ \frac{dy_1(\xi, \varepsilon)}{d\xi} = -(x^0(\xi) + \alpha)y_1(\xi, \varepsilon), \end{array} \right\} \quad (20)$$

решениями которых являются соотношения

$$\left. \begin{array}{l} x^0(\xi) = f, \\ y_1(\xi, \varepsilon) = -\frac{f}{x^0(\xi) + \alpha} e^{-(x^0(\xi) + \alpha)\xi} \end{array} \right\} \quad (21)$$

х) Смотри приложение 2 настоящей статьи.

Подставляя теперь значения $x^*(\xi)$, $y^*(\xi)$ и $u^*(\xi, \epsilon)$ во второе соотношение (18), для $y(\xi, \epsilon)$ получим

$$y(\xi, \epsilon) = \frac{1}{1+\alpha} \left(1 - e^{-(1+\alpha)\xi} \right). \quad (22)$$

Таким образом, для безразмерных величин решениями основной системы дифференциальных уравнений ферментативной кинетики (5), удовлетворяющими всем начальным условиям, являются соотношения:

$$\left. \begin{aligned} x(\tau) + \alpha \epsilon u x(\tau) &= 1 - \beta \tau, \\ y(\tau) &= \frac{1}{1+\alpha} \left(1 - e^{-(1+\alpha)\tau/\epsilon} \right). \end{aligned} \right\} \quad (23)$$

Теперь определим значения оптимального управления и оптимального времени. Для этого запишем соотношение (7) в следующей форме:

$$x_c(\tau) = \epsilon \int_0^\tau d\xi \rightarrow \min, \quad 0 \leq \xi \leq \infty, \quad (24)$$

и напишем гамильтониан соответствующей системы (16). Согласно (12) он будет иметь следующий вид:

$$\begin{aligned} H = \epsilon \varphi_1 &\left[-x(\xi, \epsilon) + (x(\xi, \epsilon) + \alpha) y(\xi, \epsilon) - u(\xi, \epsilon) \right] + \\ &+ \varphi_2 \left[x(\xi, \epsilon) - (x(\xi, \epsilon) + \alpha) y(\xi, \epsilon) \right] - \epsilon. \end{aligned} \quad (25)$$

Для определения φ_1 и φ_2 воспользуемся вторым уравнением системы (II), тогда в нашем случае:

$$\frac{d\varphi_1}{d\xi} = - \frac{\partial H}{\partial x} = (1 - y(\xi, \epsilon)) (\epsilon \varphi_1 - \varphi_2), \quad (26)$$

$$\frac{d\varphi_2}{d\xi} = - \frac{\partial H}{\partial y} = - (x(\xi, \epsilon) + \alpha) (\epsilon \varphi_1 - \varphi_2).$$

Будем искать асимптотические решения (26) в виде

$$\left. \begin{aligned} \varphi_1(\xi, \varepsilon) &= \varphi_1^0(\xi, 0) + \varphi_{1\varepsilon}(\xi, \varepsilon), \\ \varphi_2(\xi, \varepsilon) &= \varphi_2^0(\xi, 0) + \varphi_{2\varepsilon}(\xi, \varepsilon), \end{aligned} \right\} \quad (27)$$

где $\varphi_i^0(\xi, 0)$ и $\varphi_i^0(\xi, 0)$ — решения порождающей системы:

$$\left. \begin{aligned} \frac{d\varphi_1}{d\xi} \Big|_{\varepsilon=0} &= -(1-y(\xi, 0))\varphi_1^0(\xi, 0) = 0, \\ \frac{d\varphi_2}{d\xi} \Big|_{\varepsilon=0} &= (x(\xi, 0) + \alpha)\varphi_2^0(\xi, 0) = 0. \end{aligned} \right\} \quad (28)$$

Из (28) следует:

$$\varphi_1^0(\xi, 0) = \varphi_2^0(\xi, 0) = 0. \quad (29)$$

Подставляя (27) в (26) и принимая во внимание, что $\frac{d\varphi_1^0(\xi)}{d\xi} = \frac{d\varphi_2^0(\xi)}{d\xi} = 0$, с учетом (18), (29) и условия трансверсальности $\varphi_i^0(\xi_\pi, \varepsilon) = 0$ ($i = 1, 2$), получим:

$$\left. \begin{aligned} \frac{d\varphi_{11}(\xi, \varepsilon)}{d\xi} &= (1-y^0(\xi) - y_1(\xi, \varepsilon))(\varepsilon\varphi_{11}^0(\xi, \varepsilon) - \varphi_{21}^0(\xi, \varepsilon)), \\ \frac{d\varphi_{21}(\xi, \varepsilon)}{d\xi} &= -(x^0(\xi) + \alpha)(\varepsilon\varphi_{11}^0(\xi, \varepsilon) - \varphi_{21}^0(\xi, \varepsilon)), \end{aligned} \right\} \quad (30)$$

$$\left. \begin{aligned} \varphi_{11}^0(\xi_\pi, \varepsilon) &= -\varphi_{1\varepsilon}^0(\xi_\pi), \\ \varphi_{21}^0(\xi_\pi, 0) &= 0. \end{aligned} \right\} \quad (31)$$

Так как при $\xi \rightarrow \infty$ (т.е. $\varepsilon \ll \tau$), исходя из (21),

$y_1(\xi, \varepsilon) \rightarrow 0$, а из (22) $y^0(\xi) = \frac{1}{1+\alpha}$, то при $\xi \rightarrow \infty$ (30) примет вид:

$$\left. \begin{aligned} \frac{d\varphi_{11}(\xi, \varepsilon)}{d\xi} &= \frac{\alpha\varepsilon}{1+\alpha}\varphi_{11}^0(\xi, \varepsilon) - \frac{\alpha}{1+\alpha}\varphi_{21}^0(\xi, \varepsilon); \\ \frac{d\varphi_{21}(\xi, \varepsilon)}{d\xi} &= -(1+\alpha)\varepsilon\varphi_{11}^0(\xi, \varepsilon) + (1+\alpha)\varphi_{21}^0(\xi, \varepsilon). \end{aligned} \right\} \quad (32)$$

Вводят обозначения

$$\frac{\alpha}{1+\alpha} = \alpha, \quad (1+\alpha) \varepsilon = \beta, \quad (33)$$

для (31) получим:

$$\left. \begin{aligned} \frac{d\varphi_{11}(\xi, \varepsilon)}{d\xi} &= \alpha \varepsilon \varphi_{11}(\xi, \varepsilon) - \alpha \varphi_{22}(\xi, \varepsilon), \\ \frac{d\varphi_{22}(\xi, \varepsilon)}{d\xi} &= -\beta \varepsilon \varphi_{11}(\xi, \varepsilon) + \beta \varphi_{22}(\xi, \varepsilon). \end{aligned} \right\} \quad (34)$$

Будем искать решения (34) в виде:

$$\varphi_{ij}(\xi, \varepsilon) = \mathcal{H}_i e^{\beta_j \xi}, \quad (i, j = 1, 2), \quad (35)$$

где β_j ($j = 1, 2$) определяются из векового уравнения

$$\begin{vmatrix} \alpha \varepsilon - \beta & -\alpha \\ -\beta \varepsilon & \beta - \alpha \end{vmatrix} = 0. \quad (36)$$

Из (36) следует:

$$\beta_1 = 0, \quad \beta_2 = \alpha \varepsilon + \beta. \quad (37)$$

Подставляя (37) в (34), получим:

$$\varphi_{11}(\xi, \varepsilon) = \mathcal{H}_1, \quad \varphi_{22}(\xi, \varepsilon) = \mathcal{H}_2, \quad (38)$$

или

$$\varphi_{11}(\xi, \varepsilon) = \mathcal{H}_1 e^{\beta_2 \xi}, \quad \varphi_{22}(\xi, \varepsilon) = \mathcal{H}_2 e^{\beta_2 \xi}. \quad (39)$$

Определим постоянные \mathcal{H}_1 и \mathcal{H}_2 . Используя соотношение (10) для (25), при условии $\varepsilon = 0$ и $\xi = \xi_T$, с учетом

$$x^0(\xi_T) = 1, \quad y^0(\xi_T) = \frac{1}{1+\alpha}, \quad u(\xi_T, \varepsilon=0) = u^0(\xi_T)$$

- с одной стороны, и условия трансверсальности (31) с учетом

(38) - с другой стороны, соответственно получим:

$$\left. \begin{aligned} \varphi_1(\xi, \varepsilon) &= \left[(\mathcal{X}(\xi, \varepsilon) + \alpha) y(\xi, \varepsilon) - \mathcal{X}(\xi, \varepsilon) - u(\xi, \varepsilon) \right]^{-1}, \\ \varphi_1^o(\xi_T) &= -\frac{1}{u^o(\xi_T)}, \end{aligned} \right\} \quad (40)$$

$$\left. \begin{aligned} \varphi_{11}(\xi_T, \varepsilon) &= \frac{1}{u^o(\xi_T)}, \\ \varphi_{22}(\xi_T, \varepsilon) &= 0. \end{aligned} \right\} \quad (41)$$

Следовательно, из (41) и (39) для постоянных \mathcal{A}_1 и \mathcal{A}_2 имеем:

$$\left. \begin{aligned} \mathcal{A}_1 &= -\frac{1}{u^o(\xi_T)} e^{-\mathcal{A}_2 \xi_T}, \\ \mathcal{A}_2 &= 0, \end{aligned} \right\} \quad (42)$$

подстановка которых в (39) для $\varphi_{11}(\xi, \varepsilon)$ и $\varphi_{22}(\xi, \varepsilon)$ дает:

$$\left. \begin{aligned} \varphi_{11}(\xi, \varepsilon) &= \frac{1}{u^o(\xi_T)} e^{\mathcal{A}_2(\xi - \xi_T)}, \\ \varphi_{22}(\xi, \varepsilon) &= 0. \end{aligned} \right\} \quad (43)$$

Таким образом, из (27) при (40) и (43) следует:

$$\left. \begin{aligned} \varphi_1(\xi, \varepsilon) &= -\frac{1}{u^o(\xi)} + \frac{1}{u^o(\xi)} e^{\mathcal{A}_2(\xi - \xi_T)}, \\ \varphi_{21}(\xi, \varepsilon) &= 0. \end{aligned} \right\} \quad (44)$$

Так как из $u^o(\xi) = \beta y^o(\xi)$; $x^o(\xi) = 1$; $y^o(\xi) = \frac{1}{1+\alpha}$ следует

$$u^o(\xi) = u^o(\xi_T) = \frac{\beta}{1+\alpha}, \quad (45)$$

то окончательно соотношения (44), определяющие значения $\varphi_1(\xi, \varepsilon)$ и $\varphi_2(\xi, \varepsilon)$, могут быть записаны в следующем виде:

$$\left. \begin{aligned} \varphi_1(\xi, \varepsilon) &= -\frac{1+\alpha}{\beta} \left(1 - e^{-\frac{\beta}{1+\alpha}(\xi - \xi_T)} \right), \\ \varphi_2(\xi, \varepsilon) &= 0. \end{aligned} \right\} \quad (46)$$

Приравнивая теперь первые соотношения (40) и (46) с учетом (22) и условия $U(\xi=0, \varepsilon=0)=0$, для оптимального ξ_T и $U(\xi, \varepsilon)$ соответственно получим:

$$(\xi_T)_{\text{опт}} = \frac{1}{\beta} \ln \frac{1+\alpha}{1+\alpha-\beta},$$

но так как из (33) и (37)

$$\beta = \frac{\alpha\varepsilon + (1+\alpha)^2}{1+\alpha},$$

то окончательно:

$$(\xi_T)_{\text{опт}} = \frac{1+\alpha}{\alpha\varepsilon + (1+\alpha)^2} \ln \frac{1+\alpha}{1+\alpha-\beta}, \quad *) \quad (47)$$

a

$$[U(\xi, \varepsilon)]_{\text{опт}} = \frac{\beta}{1+\alpha} \left(1 - e^{-(1+\alpha)\xi_T} \right). \quad (48)$$

Таким образом, поставленная задача нами решена, т.е. решена задача быстродействия для реакции типа (I): найдены оптимальные значения управления и времени.

^{*)} Из $\xi = -\frac{T}{\varepsilon}$ следует $T_{\text{опт}} = \varepsilon (\xi_T)_{\text{опт}}$.

ПРИЛОЖЕНИЕ I



Определим из второго уравнения системы (I4) $y(r)$ и подставим в первое уравнение, получим:

$$\left. \begin{aligned} y(r) &= y^0(r) = \frac{x(r)}{x(r) + \alpha} = \frac{x^0(r)}{x^0(r) + \alpha}, \\ \frac{dx(r)}{dr} &= -x(r) + (\alpha r + \alpha) \frac{x(r)}{x(r) + \alpha} - \\ &\quad - u^0(r) = -u^0(r), \\ u^0(r) &= \beta y^0(r), \end{aligned} \right\} \quad (\text{II.I.1})$$

откуда следует:

$$dx(r) + \alpha d \ln x(r) = -\beta dr. \quad (\text{II.I.2})$$

Интегрируя (II.I.2), с учетом $r_0 = 0$ и $x(0) = 1$, получим:

$$\left. \begin{aligned} \int_1^{x(r)} dx(r) + \alpha \int_1^{x(r)} d \ln x(r) &= -\beta \int_0^r dr, \\ x(r) + \alpha \ln x(r) &= x^0(r) + \alpha \ln x^0(r) + 1 - \beta r \end{aligned} \right\} \quad (\text{II.I.3})$$

или

$$x^0(r) + \alpha \ln x^0(r) = 1 - \frac{u^0(r)}{y^0(r)} r \quad (\text{II.I.4})$$

*) Через $x^0(r)$, $y^0(r)$ и $u^0(r)$ обозначены те решения, которые соответствуют системе (I4).

Известно, что решение линейного дифференциального уравнения

$$y' + P(x)y = Q(x)$$

при начальных условиях

$$x(0) = x_0; \quad y(0) = y_0$$

имеет вид

$$y = e^{\int_{x_0}^x P(\alpha) d\alpha} \left[\int_{x_0}^x Q(\alpha) e^{\int_{x_0}^\alpha P(\alpha) d\alpha} d\alpha + C \right]. \quad (\text{II.2.1})$$

Так как в нашем случае (см. второе уравнение системы (20))

$$Q(x) = 0, \quad P(x) = x^0(\epsilon) + \alpha, \quad \text{то из (II.2.1)}$$

$$y_1(\epsilon, \epsilon) = C e^{-\int_0^\epsilon (x^0(\epsilon) + \alpha) d\epsilon} = C e^{-(x^0(\epsilon) + \alpha)\epsilon} \quad (\text{II.2.3})$$

откуда с учетом (19), начального условия $y(0, \epsilon) \equiv y_0 = 0$ и (II.2.3) следует:

$$y_1(0, \epsilon) = -\frac{1}{1+\alpha},$$

т.е.

$$y_1(\epsilon, \epsilon) = -\frac{1}{1+\alpha} e^{-(x^0(\epsilon) + \alpha)\epsilon}$$

Протупила 21.XI.1989

Проблемная лаборатория
физической кибернетики

Литература

1. Д.Марри. Нелинейные дифференциальные уравнения в биологии. М., "Мир", 1983.
2. Системы дифференциальных уравнений, содержащие малые параметры при производных. — Математический сборник, 1952, 31, с.73, № 3.
3. Л.С.Понтрягин, В.Г.Болтянский, Р.В.Гамкелидзе, Б.Ф.Миценко. Математическая теория оптимальных процессов. М., "Наука", 1983.

6. მოკურავა

დოკარციული პრესის პროცესის გაუმჯობესება

ნ ე ბ ი უ მ ე

ფერმენტაციული კონფიგურაციის ძირითადი მათემატიკური მოდელი
 დაცვანისა თქვენი მართვაზე. მოდელები. მიღებულია ამ მოდე-
 ლის შესაბამისი თქვენი პრაკტიკური პარამეტრებისათვის სათანარო ძაბო-
 საბურევი,

N.Bokuchava

OPTIMIZATION OF THE PROBLEM OF FERMENTATIVE KINETICS

Summary

The basic mathematical model of fermentative kinetics is reduced to an optimally controllable model.

Relevant expressions are obtained for the optimal parameters corresponding to this model.

Труды Тбилисского государственного университета
им. И. Джавахишвили

№ 3, ԽԱՅԱԲՈՋՎՈՐԻ ԱԱՅ, ԹՅՈՐՈՒՆԻ ԱՅԵՐԹԻԳԻ

ՅԱՅՅԱԲՈՋՎՈՐԻ ԹԲԻԹՅՈՐ

298, 1990

АЛГОРИТМ РЕШЕНИЯ ОДНОЙ КРАЕВОЙ ЗАДАЧИ ГЕОМЕТРИЧЕСКИ
НЕЛИНЕЙНОЙ ТЕОРИИ УПРУГОСТИ

М.И.Кезерашвили

Задача кручения однородного анизотропного тела со слабо изогнутой осью в линейной постановке дана в нашей работе /1/.

В настоящей работе дается алгоритм решения той же задачи в геометрически нелинейной постановке. Пусть в декартовой прямоугольной системе координат ξ_1, ξ_2, η_1 , дано однородное анизотропное слabo изогнутое тело, ограниченное поверхностью

$$F(\xi_1 + \frac{1}{2}K\xi_1^2, \eta_1) = 0$$

и плоскостями $\xi_1=0$, $\xi_2=\ell$, где K - малый параметр, квадратом и высшими степенями которого мы пренебрегаем.

Начало координат поместим в центре инерции нижнего закрепленного основания, а оси $O\xi_1$ и $O\eta_1$ направим по главным осям инерции указанного основания. Допустим, что боковая поверхность такого тела свободна от внешних усилий, а усилия, действующие на верхнем торце $\xi_2=\ell$, статически эквивалентны крутящей паре с моментом M^* .

Обозначим поперечное сечение такого недеформированного тела через S' , а границу области S через L .

Задача состоит в определении компонентов тензора напряжений и вектора смещений в области, занятой телом, удовлетворяющим всем известным условиям теории упругости в вышеуказанной постановке.

Произведем замену координат в виде:

$$\xi = \xi_1 + \frac{1}{2} K S_1^2, \quad \eta = \eta_1, \quad S = S_1, \quad (1)$$

тогда в пространстве ξ, η, S рассматриваемое тело переходит в призматическое, ограниченное поверхностью $F(\xi, \eta) = 0$.

Пусть x, y, z — координаты точки тела после деформации, тогда

$$x = \xi + u, \quad y = \eta + v, \quad z = S + w, \quad (2)$$

где u, v, w — компоненты вектора смещения.

Соотношения между производными по координатам ξ, η, S и x, y, z с точностью до K^3 примут вид:

$$\begin{aligned} \frac{\partial}{\partial x} &= \left(1 - \frac{\partial u}{\partial \xi} - KS \frac{\partial w}{\partial \xi}\right) \frac{\partial}{\partial \xi} - \frac{\partial v}{\partial \xi} \frac{\partial}{\partial \eta} - \frac{\partial w}{\partial \xi} \frac{\partial}{\partial S}, \\ \frac{\partial}{\partial y} &= -\left(\frac{\partial u}{\partial \eta} + KS \frac{\partial w}{\partial \eta}\right) \frac{\partial}{\partial \xi} + \left(1 - \frac{\partial v}{\partial \eta}\right) \frac{\partial}{\partial \eta} - \frac{\partial w}{\partial \eta} \frac{\partial}{\partial S}, \\ \frac{\partial}{\partial z} &= \left[-\frac{\partial u}{\partial S} + KS \left(1 - \frac{\partial u}{\partial \xi} - \frac{\partial w}{\partial \xi}\right)\right] \frac{\partial}{\partial \xi} - \left(\frac{\partial v}{\partial S} + KS \frac{\partial v}{\partial \xi}\right) \frac{\partial}{\partial \eta} + \\ &\quad + \left(1 - \frac{\partial v}{\partial S} - KS \frac{\partial w}{\partial \xi}\right) \frac{\partial}{\partial S}. \end{aligned} \quad (3)$$

Связь между компонентами тензора деформации и компонентами вектора смещения в координатах конечного состояния имеет вид:

$$\epsilon_{xx} = \frac{\partial u}{\partial x} - \frac{1}{2} \left[\left(\frac{\partial u}{\partial x} \right)^2 + \left(\frac{\partial v}{\partial x} \right)^2 + \left(\frac{\partial w}{\partial x} \right)^2 \right], \quad (4)$$

$$\epsilon_{yz} = \frac{1}{2} \left(\frac{\partial v}{\partial z} + \frac{\partial w}{\partial y} \right) - \frac{1}{2} \left(\frac{\partial u}{\partial y} \frac{\partial u}{\partial z} + \frac{\partial v}{\partial y} \frac{\partial v}{\partial z} + \frac{\partial w}{\partial y} \frac{\partial w}{\partial z} \right).$$

Решение задачи в смещениях будем искать в виде:

$$\begin{aligned} u &= \tau \eta \xi + \tau K u_1 + \tau^2 u_2 + \tau^3 K u_3, \\ v &= \tau \xi \xi + \tau K v_1 + \tau^2 v_2 + \tau^3 K v_3, \\ w &= \tau \varphi (\xi, \eta) + \tau K w_1 + \tau^2 w_2 + \tau^3 K w_3, \end{aligned} \quad (5)$$

где $\varphi(\xi, \eta)$ — функция кручения однородного анизотропного призматического тела, $\tau = M^* D^{-1}$ — малый параметр (D — жесткость при кручении), u_1, v_1, w_1 и u_2, v_2, w_2 — известные компоненты смещения, найденные в работах 1/ и 2/ соответственно, а u_3, v_3, w_3 — искомые компоненты смещения, вызванные учетом слабой изогнутости тела при его кручении, для определения которых будем производить выкладки, сохранив члены, кроме τK , τ^2 , а также $\tau^3 K$.

Компоненты деформации, соответствующие смещениям (5), определенные по формулам (4) с учетом (3), с вышеуказанный точностью, будут равны:

$$\begin{aligned} \varepsilon_{xx} &= \tau K \frac{\partial u_1}{\partial \xi} + \tau^2 \left[\frac{\partial u_2}{\partial \xi} + \frac{1}{2} \xi^2 + \eta \frac{\partial \varphi}{\partial \xi} - \frac{1}{2} \left(\frac{\partial \varphi}{\partial \xi} \right)^2 \right] + K \tau^2 \frac{\partial u_3}{\partial \xi}, \\ \varepsilon_{yy} &= \tau K \frac{\partial v_1}{\partial \eta} + \tau^2 \left[\frac{\partial v_2}{\partial \eta} + \frac{1}{2} \xi^2 - \xi \frac{\partial \varphi}{\partial \eta} - \frac{1}{2} \left(\frac{\partial \varphi}{\partial \eta} \right)^2 \right] + K \tau^2 \left(\frac{\partial v_3}{\partial \eta} - \xi \frac{\partial \varphi}{\partial \eta} \right), \end{aligned} \quad (6)$$

$$\begin{aligned} \varepsilon_{zz} &= \tau K \left[\frac{\partial w_1}{\partial \xi} + 5 \frac{\partial \varphi}{\partial \xi} \right] + \tau^2 \left[\frac{\partial w_2}{\partial \xi} + \eta \frac{\partial \varphi}{\partial \xi} - \xi \frac{\partial \varphi}{\partial \eta} - \frac{1}{2} (\xi^2 + \eta^2) \right] + \\ &\quad + K \tau^2 \left[\frac{\partial w_3}{\partial \xi} - 5^2 \left(\xi + \frac{\partial \varphi}{\partial \eta} \right) \right], \end{aligned}$$

$$\begin{aligned} \varepsilon_{xy} &= \frac{1}{2} \tau K \left(\frac{\partial u_1}{\partial \eta} + \frac{\partial v_1}{\partial \xi} \right) + \frac{1}{2} \tau^2 \left[\frac{\partial u_2}{\partial \eta} + \frac{\partial v_2}{\partial \xi} + \eta \frac{\partial \varphi}{\partial \eta} - \frac{\partial \varphi}{\partial \xi} \left(\xi + \frac{\partial \varphi}{\partial \eta} \right) \right] + \\ &\quad + \frac{1}{2} K \tau^2 \left[\frac{\partial u_3}{\partial \eta} + \frac{\partial v_3}{\partial \xi} - 5^2 \frac{\partial \varphi}{\partial \xi} \right], \end{aligned}$$

$$\varepsilon_{xz} = \frac{1}{2} \gamma \left(\frac{\partial \varphi}{\partial \xi} - \eta \right) + \frac{1}{2} \gamma \kappa \left(\frac{\partial u_1}{\partial \xi} + \frac{\partial w_1}{\partial \xi} \right) + \frac{1}{2} \gamma^2 \left[\frac{\partial u_2}{\partial \xi} + \frac{\partial w_2}{\partial \xi} - 5 \frac{\partial \varphi}{\partial \eta} \right] + \\ + \frac{1}{2} \kappa \gamma^2 \left\{ \frac{\partial u_3}{\partial \xi} + \frac{\partial w_3}{\partial \xi} + 5 \left[\eta \frac{\partial \varphi}{\partial \xi} - 2 \left(\frac{\partial \varphi}{\partial \xi} \right)^2 \right] \right\},$$

$$\varepsilon_{yz} = \frac{1}{2} \gamma \left(\frac{\partial \varphi}{\partial \eta} + \xi \right) + \frac{1}{2} \gamma \kappa \left(\frac{\partial v_1}{\partial \eta} + \frac{\partial w_1}{\partial \eta} + \xi^2 \right) + \frac{1}{2} \gamma^2 \left[\frac{\partial v_2}{\partial \eta} + \frac{\partial w_2}{\partial \eta} + 5 \frac{\partial \varphi}{\partial \xi} \right] + \\ + \frac{1}{2} \kappa \gamma^2 \left[\frac{\partial y_3}{\partial \eta} + \frac{\partial z_3}{\partial \eta} - 25 \frac{\partial \varphi}{\partial \xi} \left(\frac{\partial \varphi}{\partial \eta} + \frac{1}{2} \xi \right) \right].$$

Введем обозначения:

$$A_{11} = (G+H) \frac{\partial \varphi}{\partial \eta} + Q \frac{\partial \varphi}{\partial \xi} + G\xi, \quad A_{22} = (F+B) \frac{\partial \varphi}{\partial \eta} + R \frac{\partial \varphi}{\partial \xi} + F\xi,$$

$$A_{33} = (F+C) \frac{\partial \varphi}{\partial \eta} + T \frac{\partial \varphi}{\partial \xi} + C\xi, \quad A_{12} = (R+T) \frac{\partial \varphi}{\partial \eta} + D \frac{\partial \varphi}{\partial \xi} + T\xi,$$

$$A_{13} = (M\eta - N\xi) \frac{\partial \varphi}{\partial \xi} - 2M \left(\frac{\partial \varphi}{\partial \xi} \right)^2 - 2N \frac{\partial \varphi}{\partial \xi} \frac{\partial \varphi}{\partial \eta}, \quad (7)$$

$$A_{23} = (N\eta - L\xi) \frac{\partial \varphi}{\partial \xi} - 2NL \left(\frac{\partial \varphi}{\partial \xi} \right)^2 - 2L \frac{\partial \varphi}{\partial \xi} \frac{\partial \varphi}{\partial \eta},$$

$$B_{11} = [(A+G)\eta - Q\xi] \frac{\partial \varphi}{\partial \xi} + [Q\eta - (H+G)\xi] \frac{\partial \varphi}{\partial \eta} - \frac{1}{2} \left[A \left(\frac{\partial \varphi}{\partial \xi} \right)^2 + H \left(\frac{\partial \varphi}{\partial \eta} \right)^2 + G(\xi^2 + \eta^2) + 2Q \frac{\partial \varphi}{\partial \xi} \frac{\partial \varphi}{\partial \eta} \right],$$

$$B_{22} = [(H+F)\eta - R\xi] \frac{\partial \varphi}{\partial \xi} + [R\eta - (B+F)\xi] \frac{\partial \varphi}{\partial \eta} - \frac{1}{2} \left[H \left(\frac{\partial \varphi}{\partial \xi} \right)^2 + B \left(\frac{\partial \varphi}{\partial \eta} \right)^2 + F(\xi^2 + \eta^2) + 2R \frac{\partial \varphi}{\partial \xi} \frac{\partial \varphi}{\partial \eta} \right],$$

$$B_{33} = [(G+C)\eta - T\xi] \frac{\partial \varphi}{\partial \xi} + [T\eta - (F+C)\xi] \frac{\partial \varphi}{\partial \eta} - \frac{1}{2} \left[G \left(\frac{\partial \varphi}{\partial \xi} \right)^2 + T \left(\frac{\partial \varphi}{\partial \eta} \right)^2 + F(\xi^2 + \eta^2) + 2T \frac{\partial \varphi}{\partial \xi} \frac{\partial \varphi}{\partial \eta} \right],$$

$$+ F \left(\frac{\partial \varphi}{\partial \eta} \right)^2 + C (\xi^2 + \eta^2) + 2T \frac{\partial \varphi}{\partial \xi} \frac{\partial \varphi}{\partial \eta} \Big],$$

$$B_{12} = [(Q+T)\eta - D\xi] \frac{\partial \varphi}{\partial \xi} + [D\eta - (R+T)\xi] \frac{\partial \varphi}{\partial \eta} - \frac{1}{2} \left[Q \left(\frac{\partial \varphi}{\partial \xi} \right)^2 + \right. \\ \left. + R \left(\frac{\partial \varphi}{\partial \eta} \right)^2 + T(\xi^2 + \eta^2) + 2D \frac{\partial \varphi}{\partial \xi} \frac{\partial \varphi}{\partial \eta} \right],$$

$$B_{13} = N \frac{\partial \varphi}{\partial \xi} - M \frac{\partial \varphi}{\partial \eta}, \quad B_{23} = L \frac{\partial \varphi}{\partial \xi} - N \frac{\partial \varphi}{\partial \eta},$$

$$C_{11} = \frac{1}{2}(A+H), \quad C_{22} = \frac{1}{2}(H+B), \quad C_{33} = \frac{1}{2}(G+F), \quad C_{12} = \frac{1}{2}(Q+R),$$

$$C_{13} = M \left(\frac{\partial \varphi}{\partial \xi} - \eta \right) + N \left(\frac{\partial \varphi}{\partial \eta} + \xi \right), \quad C_{23} = L \left(\frac{\partial \varphi}{\partial \eta} + \xi \right) + N \left(\frac{\partial \varphi}{\partial \xi} - \eta \right),$$

где A, B, \dots, R, T — упругие постоянные.

Для компонентов напряжений, соответствующих деформациям (6), получим значения:

$$\tau_x = \gamma K \left(\tau_{11}^{(1)} + G \xi \frac{\partial \varphi}{\partial \xi} \right) + \gamma^2 \left(\tau_{11}^{(2)} + C_{11} \xi^2 + B_{11} \right) - \kappa \gamma^2 \left(A_{11} \xi^2 - \tau_{11}^{(3)} \right),$$

$$\tau_y = \gamma K \left(\tau_{22}^{(1)} + F \xi \frac{\partial \varphi}{\partial \xi} \right) + \gamma^2 \left(\tau_{22}^{(2)} + C_{22} \xi^2 + B_{22} \right) - \kappa \gamma^2 \left(A_{22} \xi^2 - \tau_{22}^{(3)} \right), \quad (8)$$

$$\tau_z = \gamma K \left(\tau_{33}^{(1)} + C \xi \frac{\partial \varphi}{\partial \xi} \right) + \gamma^2 \left(\tau_{33}^{(2)} + C_{33} \xi^2 + B_{33} \right) - \kappa \gamma^2 \left(A_{33} \xi^2 - \tau_{33}^{(3)} \right),$$

$$\tau_y = \gamma K \left(\tau_{22}^{(1)} + T \xi \frac{\partial \varphi}{\partial \xi} \right) + \gamma^2 \left(\tau_{22}^{(2)} + C_{12} \xi^2 + B_{12} \right) - \kappa \gamma^2 \left(A_{12} \xi^2 - \tau_{12}^{(3)} \right),$$

$$\tau_z = \gamma C_{13} + \gamma K \left(\tau_{13}^{(1)} + N \xi^2 \right) + \gamma^2 \left(\tau_{13}^{(2)} + B_{13} \xi^2 \right) + \kappa \gamma^2 \left(A_{13} \xi^2 + \tau_{13}^{(3)} \right).$$

$$\tau_z = \gamma C_{23} + \gamma K \left(\tau_{23}^{(1)} + L \xi^2 \right) + \gamma^2 \left(\tau_{23}^{(2)} + B_{23} \xi^2 \right) + \kappa \gamma^2 \left(A_{23} \xi^2 + \tau_{23}^{(3)} \right),$$

где $\tau_{11}^{(3)}, \tau_{22}^{(3)}, \dots, \tau_{33}^{(3)}$ - искомые дополнительные компоненты напряжения, соответствующие смещениям U_3, V_3, W_3 , а $\tau_{11}^{(1)}, \tau_{22}^{(1)}, \dots, \tau_{33}^{(1)}$ и $\tau_{11}^{(2)}, \tau_{22}^{(2)}, \dots, \tau_{33}^{(2)}$ - компоненты напряжения, соответствующие смещениям U_1, V_1, W_1 и U_2, V_2, W_2 , которые равны /1/, /2/:

$$\tau_{11}^{(1)} = f_{11} \xi = \left(E \frac{\partial^2 \varphi^*}{\partial \eta^2} - U_1^* \right) \xi, \quad (9)$$

$$\tau_{22}^{(1)} = f_{22} \xi = \left(E \frac{\partial^2 \varphi^*}{\partial \xi^2} - V_1^* \right) \xi,$$

$$\tau_{12}^{(1)} = f_{12} \xi = -E \frac{\partial^2 \varphi^*}{\partial \xi \partial \eta} \xi,$$

$$\tau_{33}^{(1)} = f_{33} \xi = \left[\xi_1 \left(E \frac{\partial^2 \varphi^*}{\partial \eta^2} - U_1^* \right) + \xi_2 \left(E \frac{\partial^2 \varphi^*}{\partial \xi^2} - V_1^* \right) - E \xi_3 \frac{\partial^2 \varphi^*}{\partial \xi \partial \eta} - E d_o \right] \xi,$$

$$\tau_{13}^{(1)} = -N \xi_3^2 + f_{13} = -N \xi_3^2 + \left(M \frac{\partial \omega^*}{\partial \xi} + N \frac{\partial \omega^*}{\partial \eta} - M \omega_3^* - N M_3^* + E \xi d_o \right),$$

$$\tau_{23}^{(1)} = -L \xi_3^2 + f_{23} = -L \xi_3^2 + \left[N \frac{\partial \omega^*}{\partial \xi} + L \frac{\partial \omega^*}{\partial \eta} - L M_3^* - N L_3^* + \left(\frac{E N}{M} + E_3 \frac{m^2}{M} \right) \xi d_o \right],$$

$$\tau_{11}^{(2)} = -C_1 \xi_3^2 + \varphi = -C_1 \xi_3^2 + \left[\frac{\partial^2 \varphi^{**}}{\partial \eta^2} - U_1^{**} - M (C_0 \varphi + \omega^*) - \frac{1}{2} (C_0 N - M) \xi^2 + N \xi \eta \right],$$

$$\tau_{22}^{(2)} = -C_2 \xi_3^2 + \varphi = -C_2 \xi_3^2 + \left[\frac{\partial^2 \varphi^{**}}{\partial \xi^2} - V_1^{**} - L (C_0 \varphi + \omega^*) + \frac{1}{2} (C_0 N + L) \eta^2 + N \xi \eta \right],$$

$$\begin{aligned} \tau_{12}^{(2)} &= -C_1 \xi_3^2 + \varphi = -C_1 \xi_3^2 + \left[-\frac{\partial^2 \varphi^{**}}{\partial \xi \partial \eta} - N (C_0 \varphi + \omega^*) + \frac{1}{2} C_0 (M \eta^2 - L \xi^2) \right], \\ \tau_{33}^{(2)} &= -C_3 \xi_3^2 + \varphi = E \left(\frac{\partial^2 \varphi^{**}}{\partial \eta^2} - U_1^{**} \right) + \xi_2 \left(\frac{\partial^2 \varphi^{**}}{\partial \xi^2} - V_1^{**} \right) - E \frac{\partial^2 \varphi^{**}}{\partial \xi \partial \eta} - \\ &\quad - (C_0 \varphi + \omega^*) (M \xi_3^2 + L \xi_3^2 + N \xi_3^2 - E) + \frac{1}{2} C_0 [(N \xi_3^2 + M \xi_3^2) \eta^2 - (N \xi_3^2 + L \xi_3^2) \xi^2] + \end{aligned}$$

$$+ \frac{1}{2} (M\zeta_1 \xi^2 + L\zeta_2 \eta^2) + (\zeta_1 + \zeta_2) N \xi \eta,$$

$$\tau_{13}^{(3)} = \varphi_{13} S = \left[M \left(C_o \frac{\partial \varphi}{\partial \xi} + \frac{\partial \omega^{**}}{\partial \xi} \right) + N \left(C_o \frac{\partial \varphi}{\partial \eta} + \frac{\partial \omega^{**}}{\partial \eta} \right) + C_o (N \xi - M \eta) - (M \xi + N \eta) \right] / S,$$

$$\tau_{23}^{(3)} = \varphi_{23} S = \left[N \left(C_o \frac{\partial \varphi}{\partial \xi} + \frac{\partial \omega^{**}}{\partial \xi} \right) + L \left(C_o \frac{\partial \varphi}{\partial \eta} + \frac{\partial \omega^{**}}{\partial \eta} \right) + C_o (L \xi - N \eta) - (L \eta + N \xi) \right] / S,$$

где функции φ^* , φ^{**} , ω^* , ω^{**} удовлетворяют известным граничным условиям, а ζ_1^* , M_1^* , U_1^* , V_1^* , U_1^{**} , V_1^{**} , C_o , d_o имеют известные значения.

Подставляя (8) в уравнения равновесия, для определения искомых напряжений $\tau_{11}^{(3)}$, $\tau_{22}^{(3)}$, ..., $\tau_{23}^{(3)}$ получим следующую систему уравнений:

$$\begin{aligned} \frac{\partial \tau_{11}^{(3)}}{\partial \xi} + \frac{\partial \tau_{13}^{(3)}}{\partial \eta} + \frac{\partial \tau_{13}^{(3)}}{\partial S} + \frac{\partial U_1}{\partial \xi} S^2 + \frac{\partial U_0}{\partial \xi} &= 0, \\ \frac{\partial \tau_{12}^{(3)}}{\partial \xi} + \frac{\partial \tau_{13}^{(3)}}{\partial \eta} + \frac{\partial \tau_{23}^{(3)}}{\partial S} + \frac{\partial V_2}{\partial \eta} S^2 + \frac{\partial V_0}{\partial \eta} &= 0, \\ \frac{\partial \tau_{13}^{(3)}}{\partial \xi} + \frac{\partial \tau_{23}^{(3)}}{\partial \eta} + \frac{\partial \tau_{23}^{(3)}}{\partial S} + C_1 S &= 0 \end{aligned} \quad (10)$$

в области S , где введены следующие обозначения:

$$\frac{\partial U_3}{\partial \xi} = - \frac{\partial f_{11}}{\partial \eta} + \frac{\partial f_{13}}{\partial \xi} + \frac{\partial g_{13}}{\partial \xi} + \frac{\partial b_{13}}{\partial \xi} + T \frac{\partial^2 \varphi}{\partial \xi^2} - G \frac{\partial^2 \varphi}{\partial \xi \partial \eta} - \frac{\partial A_{11}}{\partial \xi} - \frac{\partial H_{12}}{\partial \eta},$$

$$\frac{\partial U_0}{\partial \xi} = f_{13} - \xi \frac{\partial f_{13}}{\partial \eta} + \eta \frac{\partial f_{13}}{\partial \xi} - f_{12} \frac{\partial \varphi}{\partial \eta} - T \frac{\partial \varphi}{\partial \xi} \frac{\partial \varphi}{\partial \eta} - (A_{11} + G \frac{\partial \varphi}{\partial \xi}) \frac{\partial \varphi}{\partial \xi},$$

$$\frac{\partial V_3}{\partial \eta} = -\frac{\partial f_{13}}{\partial \eta} + \frac{\partial f_{23}}{\partial \xi} + \frac{\partial \Psi_{23}}{\partial \xi} + \frac{\partial B_{23}}{\partial \xi} + F \frac{\partial^2 \varphi}{\partial \xi^2} - T \frac{\partial^2 \varphi}{\partial \xi \partial \eta} - \frac{\partial H_{12}}{\partial \xi} - \frac{\partial H_{22}}{\partial \eta},$$

$$\frac{\partial V_2}{\partial \eta} = H_{23} - F \frac{\partial f_{23}}{\partial \eta} + \eta \frac{\partial f_{23}}{\partial \xi} - (f_{22} + T \frac{\partial \varphi}{\partial \xi}) \frac{\partial \varphi}{\partial \xi} - (f_{22} + F \frac{\partial \varphi}{\partial \xi}) \frac{\partial \varphi}{\partial \eta},$$

$$C_1 = \frac{\partial f_{33}}{\partial \xi} - \frac{\partial f_{13}}{\partial \xi} + \frac{\partial \Psi_{33}}{\partial \xi} + \frac{\partial B_{33}}{\partial \xi} + \frac{\partial H_{13}}{\partial \xi} + \frac{\partial H_{23}}{\partial \eta} - 2H_{33} + \left(C \frac{\partial^2 \varphi}{\partial \xi^2} + \frac{\partial f_{33}}{\partial \xi} \right) \eta - \left(C \frac{\partial^2 \varphi}{\partial \xi \partial \eta} + \frac{\partial f_{33}}{\partial \eta} \right) \xi - \left(\frac{\partial C_{13}}{\partial \xi} + 2N \right) \frac{\partial \varphi}{\partial \xi} - \left(\frac{\partial C_{23}}{\partial \xi} + 2N \right) \frac{\partial \varphi}{\partial \eta}.$$

Так как связь между направляющими косинусами нормали деформированной и недеформированной поверхности с точностью до K , T , TK имеет вид:

$$\cos n, x = \cos n, \xi - r \zeta \cos n, \eta + r K \zeta \left\{ \left(\frac{\partial \varphi}{\partial \xi} - \eta \right) \cos^2 n, \xi + \left(\frac{\partial \varphi}{\partial \eta} + \xi \right) \cos n, \xi \cos n, \eta - \frac{\partial \varphi}{\partial \xi} \right\} \cos n, \xi, \quad (II)$$

$$\cos n, y = \cos n, \eta + r \zeta \cos n, \xi + r K \zeta \left\{ \left[\left(\frac{\partial \varphi}{\partial \xi} - \eta \right) \cos^2 n, \xi + \left(\frac{\partial \varphi}{\partial \eta} + \xi \right) \cos n, \xi \cos n, \eta \right] \cos n, \eta - \frac{\partial \varphi}{\partial \eta} \cos n, \xi \right\},$$

$$\cos n, z = K \zeta \cos n, \xi + r (\eta \cos n, \xi - \xi \cos n, \eta) - r K \zeta^2 \cos n, \eta,$$

то граничные условия на основании (8) и (II) примут вид:

$$r_{11}^{(3)} \cos n, \xi + r_{12}^{(3)} \cos n, \eta = (P_2^{(1)} \zeta^2 + P_0^{(1)}) \cos n, \xi + (P_2^{(2)} \zeta^2 + P_0^{(2)}) \cos n, \eta, \quad (I2)$$

$$r_{21}^{(3)} \cos n, \xi + r_{22}^{(3)} \cos n, \eta = (Q_2^{(1)} \zeta^2 + Q_0^{(1)}) \cos n, \xi + (Q_2^{(2)} \zeta^2 + Q_0^{(2)}) \cos n, \eta,$$

$$\tau_{31}^{(3)} \cos n, \xi + \tau_{32}^{(3)} \cos n, \eta = [-(k + C_{23}) \xi^3 + R, S] \cos n, \xi + [N \xi^3 + k, S] \cos n, \eta$$

на контуре L , где

$$P_2^{(4)} = A_{11} - f_{12} - \varphi_{13} - T \frac{\partial \varphi}{\partial \xi} - B_{13} - N \gamma, \quad P_0^{(4)} = -\gamma f_{13},$$

$$P_2^{(2)} = A_{12} + f_{11} + C_{13} + G \frac{\partial \varphi}{\partial \xi} + N \xi, \quad P_0^{(2)} = \xi f_{13},$$

$$Q_2^{(4)} = A_{22} - f_{23} - \varphi_{23} - F \frac{\partial \varphi}{\partial \xi} - B_{23} - L \gamma, \quad Q_0^{(4)} = -\gamma f_{23},$$

$$Q_2^{(2)} = A_{23} + f_{12} + C_{23} + T \frac{\partial \varphi}{\partial \xi} + C_{23} + L \xi, \quad Q_0^{(2)} = \xi f_{23},$$

$$R_1^{(2)} = -A_{13} - f_{23} - \varphi_{33} - B_{33} - \gamma f_{23} + C_{23} \frac{\partial \varphi}{\partial \eta} + (C_{13} - C \gamma) \frac{\partial \varphi}{\partial \xi},$$

$$R_1^{(2)} = -A_{23} + f_{13} + \left(f_{33} + C \frac{\partial \varphi}{\partial \xi} \right) \xi.$$

Кроме этого, компоненты деформации, соответствующие напряжениям $\tau_{ij}^{(3)}$ ($i, j = 1, 2, 3$), должны удовлетворять условиям совместности Сен-Венана.

Решение поставленной задачи в напряжениях будем искать в следующем виде /3/:

$$\tau_{11}^{(3)} = -\frac{E \xi^2}{2} d_1 - M \omega_1 + \int (M L_2 + N M_1) d_\xi + \sum_{K=0}^1 \left[E \frac{\partial^2 \Phi_{2K}}{\partial \eta^2} - \right] \quad (I3)$$

$$- U_{2K} + M (P_{2K} f + Q_{2K} \varphi + R_{2K} \psi) - \left(\frac{E}{6} \xi^3 - \frac{m^2}{L} G_3 \xi \gamma^2 \right) P_{2K} -$$

$$- \frac{1}{2L} (N E + G_3 m^2) \xi \gamma^2 Q_{2K} + \xi \left(\frac{1}{2} N \xi - M \gamma \right) R_{2K} \int S^{2K},$$

$$\gamma_{22}^{(3)} = -L\omega_1 - \frac{1}{M}(NE + m^2\epsilon_3)\xi\eta d_\gamma + \int_0^\eta (LM_2 + NM_2)d\gamma + \sum_{K=0}^1 \left[E \frac{\partial^2 \Phi_{2K}}{\partial \xi^2} - \right.$$

$$-V_{2K} + L(P_{2K}f + q_{2K}\varphi + r_{2K}\varphi) - \left(\frac{E}{6}\eta^3 - \frac{m^2}{M}\xi^2\eta \right) q_{2K} -$$

$$-\frac{1}{2M}(NE + \epsilon_3 m^2)\xi^2\eta R_{2K} - \eta \left(\frac{1}{2}N\eta - L\xi \right) R_{2K} \Big] S^{2K},$$

$$\gamma_{12}^{(3)} = -N\omega_1 + \sum_{K=0}^1 \left[N(P_{2K}f + q_{2K}\varphi + r_{2K}\varphi) - E \frac{\partial^2 \Phi_{2K}}{\partial \xi \partial \eta} \right] S^{2K},$$

$$\begin{aligned} \gamma_{33}^{(3)} = & (E - \epsilon_1 M - \epsilon_2 L - \epsilon_3 N)\omega_1 - \left[\frac{E}{2}(\epsilon_3 \eta^2 + 2\epsilon_1 \xi^2 - \frac{E - N\epsilon_3}{M}\xi^2) + \frac{\epsilon_2}{M}(EN + \right. \\ & \left. + \epsilon_3 m^2)\xi\eta - \frac{1}{2}\xi S^{2K} \right] d_\gamma + \epsilon_1 \int (\bar{M}L_2 + NM_2)d\xi + \epsilon_2 \int (LM_2 + NM_2)d\eta + \\ & + E\beta_2 \Phi_2 + \sum_{K=0}^1 \left\{ \epsilon_1 \left(E \frac{\partial^2 \Phi_{2K}}{\partial \eta^2} - U_{2K} \right) + \epsilon_2 \left(E \frac{\partial^2 \Phi_{2K}}{\partial \xi^2} - V_{2K} \right) - \right. \\ & - E\epsilon_3 \frac{\partial^2 \Phi_{2K}}{\partial \xi \partial \eta} + (\epsilon_1 M + \epsilon_2 L + \epsilon_3 N - E)(P_{2K}f + q_{2K}\varphi + r_{2K}\varphi) + \\ & + \left. \frac{E}{3} \left(\frac{\epsilon_2 N}{L} \eta^3 + \frac{E - 2LM\epsilon_1 - \epsilon_3 N}{2M} \xi^3 \right) + \epsilon_2 \left(\epsilon_1 \frac{m^2}{L} - \frac{E}{2} \right) \xi \eta^2 - \right. \\ & - \left. \frac{\epsilon_2}{2M}(EN + \epsilon_3 m^2)\xi^2\eta \right] P_{2K} + \left[\epsilon_1 \left(\epsilon_1 \frac{m^2}{M} - \frac{E}{2} \right) \xi^2\eta - \frac{\epsilon_1}{2L}(EN + \epsilon_3 m^2)\xi\eta^2 + \right. \\ & + \left. \frac{E}{3} \left(\epsilon_1 \frac{N}{M} \xi^3 + \frac{E - 2LM\epsilon_2 - \epsilon_3 N}{2L} \eta^3 \right) \right] q_{2K} + \left[\epsilon_2 \eta (L\xi - \frac{1}{2}N\eta) + \right. \\ & + \left. \epsilon_1 \xi \left(\frac{1}{2}N\eta - M\eta \right) \right] R_{2K} - \frac{E}{(2K+1)(2K+2)} (P_{2K}\xi + q_{2K}\eta) S^{2K} \Big] S^{2K}, \end{aligned}$$

$$\begin{aligned}
 \tau_{13}^{(3)} = & -(\omega_1 + C_{33}) S^3 + \left(M \frac{\partial \omega_1}{\partial \xi} + N \frac{\partial \omega_1}{\partial \eta} + E \xi d_1 - M \omega_2 - N M_2 \right) S + \\
 & + \sum_{K=0}^1 \frac{S^{2K+1}}{2K+1} \left[\left(-\frac{E}{2} \xi^2 G_3 \frac{m^2}{M} \eta^2 - M \frac{\partial f}{\partial \xi} - N \frac{\partial f}{\partial \eta} \right) P_{2K} + \left(\frac{NE}{2M} \eta^2 + \right. \right. \\
 & \left. \left. + \frac{m^2}{2M} G_3 \eta^2 - M \frac{\partial \psi}{\partial \xi} - N \frac{\partial \psi}{\partial \eta} \right) Q_{2K} + \left(M\eta - NE - M \frac{\partial \varphi}{\partial \xi} - N \frac{\partial \varphi}{\partial \eta} \right) R_{2K} \right], \\
 \tau_{23}^{(3)} = & NS^3 + \left[\omega_1 \frac{\partial \omega_1}{\partial \eta} + N \frac{\partial \omega_1}{\partial \xi} + \left(\frac{EN}{M} + G_3 \frac{m^2}{M} \right) \xi d_1 - L M_2 - N \omega_2 \right] S + \\
 & + \sum_{K=0}^1 \frac{S^{2K+1}}{2K+1} \left[\left(\frac{NE}{2M} \xi^2 + G_3 \frac{m^2}{2M} \xi^2 - L \frac{\partial f}{\partial \eta} - N \frac{\partial f}{\partial \xi} \right) P_{2K} + \left(\frac{E}{2} \eta^2 - \right. \right. \\
 & \left. \left. - G_3 \frac{m^2}{M} \xi^2 - L \frac{\partial \psi}{\partial \eta} - N \frac{\partial \psi}{\partial \xi} \right) Q_{2K} + \left(N\eta - L\xi - L \frac{\partial \varphi}{\partial \eta} - N \frac{\partial \varphi}{\partial \xi} \right) R_{2K} \right],
 \end{aligned}$$

где G_1 , G_2 , G_3 – упругие постоянные, $m^2 = M\omega_2 - N^2$, $f(\xi, \eta)$
и $\psi(\xi, \eta)$ – известные функции /4/, P_{2K} , Q_{2K} , R_{2K} ($K=0, 1$),
 d_1 – неизвестные постоянные, подлежащие определению, а
функции ω_2 и M_2 соответственно равны:

$$\begin{aligned}
 \omega_2 = & -\frac{\beta}{E} \int \int \left\{ \beta_{11} \left(E \frac{\partial^2 \Phi_3}{\partial \eta^2} - U_2 \right) + \beta_{12} \left(E \frac{\partial^2 \Phi_3}{\partial \xi^2} - V_2 \right) - \beta_{13} E \frac{\partial^2 \Phi_3}{\partial \xi \partial \eta} + \frac{E}{2} \beta_{33} \frac{\partial^2 \Phi_2}{\partial \xi^2} + \right. \\
 & + \left(M \beta_{11} + L \beta_{12} + N \beta_{13} + E \epsilon_1 \right) (P_2 f + Q_2 \psi + R_2 \varphi) - \frac{E}{6} \eta^3 (\beta_{11} - G_1 G_2 + \\
 & + G_1 \frac{E - NG_3}{L}) Q_2 - \frac{E}{6} (\beta_{11} - G_1^2 + G_1 \frac{E - NG_3}{M}) \xi^3 P_2 + \int \beta_{11} \xi \left(\frac{1}{2} NE - M\eta \right) + \\
 & + \beta_{12} \eta (L\xi - \frac{1}{2} N\eta) \right\} R_2 - \frac{1}{2M} \beta_{12} (NE + G_3 m^2) \xi^2 \eta P_2 + G_2 \left(\beta_{11} \frac{m^2}{M} + \right. \\
 & + \frac{E}{2} G_1) \xi \eta^2 P_2 - \frac{1}{3} E G_1^2 \frac{N}{M} \xi^3 Q_2 - \frac{1}{3} E G_1 G_2 \frac{N}{L} \eta^3 P_2 - \frac{1}{2L} \beta_{11} (NE + \\
 & + G_3 m^2) \xi \eta^2 Q_2 + G_1 \left(\beta_{12} \frac{m^2}{M} + \frac{E G_1}{2} \right) \xi^2 \eta Q_2 \} d\xi + h(\eta),
 \end{aligned}$$

$$\begin{aligned}
 M_2 = & -\frac{2}{E} \int \left\{ \beta_{12} \left(E \frac{\partial^2 \Phi_2}{\partial \eta^2} - U_2 \right) + \beta_{23} \left(E \frac{\partial^2 \Phi_2}{\partial \xi^2} - V_2 \right) - \beta_{23} E \frac{\partial^2 \Phi_2}{\partial \xi \partial \eta} + \right. \\
 & + \frac{E}{2} \beta_{33} \frac{\partial^2 \Phi_2}{\partial \eta^2} + (M\beta_{13} + L\beta_{23} + N\beta_{33} + EG_2) (P_2 f + Q_2 \varphi + R_2 \psi) - \frac{E}{6} (\beta_{12} - \\
 & - G_1 G_2 + G_2 G_3 - \frac{E - NG_3}{M}) \xi^3 P_2 - \frac{E}{6} (\beta_{23} - G_2^2 + G_2 \frac{E - NG_3}{L}) \eta^3 Q_2 + G_2 (\beta_{12} \frac{m^2}{L} + \\
 & + \frac{G_2 E}{2}) \xi \eta^2 P_2 - \frac{1}{2M} \beta_{12} (NE + G_3 m^2) \xi^2 \eta P_2 - \frac{1}{3} E G_2 \frac{N}{L} \eta^3 P_2 + G_1 (\beta_{23} \frac{m^2}{L} + \\
 & + \frac{E G_2}{2}) \xi^2 \eta Q_2 - \frac{1}{2L} \beta_{12} (NE + G_3 m^2) \xi \eta^2 Q_2 - \frac{1}{3} E G_1 G_2 \frac{N}{M} \xi^3 Q_2 + \\
 & \left. + [\beta_{12} E (\frac{1}{2} NE - M\eta) + \beta_{23} \eta (L\xi - \frac{1}{2} N\eta)] \tau_2 \right\} d\eta + f(\xi),
 \end{aligned}$$

где $\beta_{ik} = G_{ik} - G_i G_k$ ($i, k = 1, 2, 3$), а функции $f(\xi)$
 $\tau(\eta)$ определяются из условий:

$$\begin{aligned}
 \frac{\partial M_2}{\partial \xi} + \frac{\partial L_2}{\partial \eta} = & -\frac{2}{E} \int \left\{ \beta_{13} \left(E \frac{\partial^2 \Phi}{\partial \eta^2} - U_3 \right) + \beta_{23} \left(E \frac{\partial^2 \Phi}{\partial \xi^2} - V_3 \right) - (M\beta_{13} + L\beta_{23} + N\beta_{33} + EG_3) (P_3 f + \right. \\
 & + Q_3 \varphi + R_3 \psi) - \frac{E}{6} (\beta_{13} - G_1 G_3 + G_3 \frac{E - NG_3}{M}) \xi^3 P_3 + G_2 (\beta_{13} \frac{m^2}{L} + \frac{G_2 E}{2}) \xi \eta^2 P_3 - \\
 & - \frac{1}{2} \beta_{23} (\frac{NE}{M} + G_3 \frac{m^2}{M}) \xi^2 \eta P_3 - \frac{E}{3} G_2 G_3 \frac{N}{L} \eta^3 P_3 - \frac{E}{6} (\beta_{23} - G_3 G_2 + G_3 \frac{E - NG_3}{L}) \eta^3 Q_3 + \\
 & + G_1 (\beta_{23} \frac{m^2}{M} + \frac{EG_3}{2}) \xi^2 \eta Q_3 - \frac{1}{2} \beta_{13} (\frac{NE}{L} + G_3 \frac{m^2}{M}) \xi \eta^2 Q_3 - \frac{E}{3} G_3 G_1 \frac{N}{M} \xi^3 Q_3 + \\
 & \left. + [\beta_{13} \xi (\frac{1}{2} NE - M\eta) - \beta_{23} (\frac{1}{2} N\eta^2 - L\xi\eta)] \tau_3 \right\}.
 \end{aligned}$$

Напряжения (13) удовлетворяют уравнениям (10) и (12),
 а соответствующие компоненты деформаций – условиям совместимости, если функции $\Phi_{2k}(\xi, \eta)$ ($k=0, 1$) и $\omega_k(\xi, \eta)$ являются решениями следующих граничных задач:

$$\begin{aligned}
 & 1^{\circ} 2^{\circ} E \Delta_{2K}^{(2)} \Phi = -(\beta_{11} M + \beta_{12} L + \beta_{13} N + E G_1) \left(P_{2K} \frac{\partial^2 f}{\partial \eta^2} + Q_{2K} \frac{\partial^2 \varphi}{\partial \eta^2} + R_{2K} \frac{\partial^2 \psi}{\partial \eta^2} \right) - \\
 & - (\beta_{12} M + \beta_{21} L + \beta_{23} N + E G_2) \left(P_{2K} \frac{\partial^2 f}{\partial \xi^2} + Q_{2K} \frac{\partial^2 \varphi}{\partial \xi^2} + R_{2K} \frac{\partial^2 \psi}{\partial \xi^2} \right) + (\beta_{13} M + \beta_{23} L + \\
 & + \beta_{33} N + E G_3) \left(P_{2K} \frac{\partial^2 f}{\partial \xi \partial \eta} + Q_{2K} \frac{\partial^2 \varphi}{\partial \xi \partial \eta} + R_{2K} \frac{\partial^2 \psi}{\partial \xi \partial \eta} \right) + \frac{\partial^2}{\partial \eta^2} (\beta_{11} U_{2K} + \\
 & + \beta_{12} V_{2K} - \beta_{13} W_{2K} - \beta_{23} V_{2K}) + \frac{\partial^2}{\partial \xi^2} (\beta_{21} U_{2K} + \beta_{23} V_{2K}) + \left[E \left(\beta_{12} + \beta_{21} \frac{E - N G_3}{M} \right) - \right. \\
 & - 2G_1 \left(E G_1 + \beta_{11} \frac{m^2}{L} \right) - \beta_{23} \left(\frac{N E}{M} + G_3 \frac{m^2}{M} \right) \Big] \xi P_{2K} + \left[2 \beta_{23} G_1 \frac{m^2}{M} + G_1 E (G_3 + \beta_{23} G_2) + \right. \\
 & + \beta_{11} \left(\frac{N E}{L} + G_3 \frac{m^2}{L} \right) \Big] \xi Q_{2K} + \left[E \left(\beta_{12} + \beta_{21} \frac{E - N G_3}{L} \right) - \frac{\beta_{13}}{L} (N E + G_3 m^2) - \right. \\
 & - 2G_1 \left(\beta_{21} \frac{m^2}{M} + E G_2 \right) \Big] \eta Q_{2K} + \left[2 \beta_{21} \beta_{13} \frac{m^2}{L} + \frac{\beta_{23}}{M} (N E + G_3 m^2) + G_2 E (G_3 + \right. \\
 & + 2G_1 \frac{N}{L}) \Big] \eta P_{2K} + (L \beta_{23} - M \beta_{13}) R_{2K} + (K+1) \left\{ (M \beta_{11} + L \beta_{12} + N \beta_{13} + \right. \\
 & + E G_1) \frac{\partial^2 \omega_{K+1}}{\partial \eta^2} + (L \beta_{22} + M \beta_{12} + N \beta_{23} + E G_2) \frac{\partial^2 \omega_{K+1}}{\partial \xi^2} - (M \beta_{13} + L \beta_{23} + N \beta_{33} + \\
 & + E G_3) \frac{\partial^2 \omega_{K+1}}{\partial \xi \partial \eta} - \left[\beta_{23} \left(\frac{E N}{M} + \frac{m^2 G_3}{M} \right) - E \beta_{12} + E G_2 (2G_1 - \frac{E - N G_3}{M}) \right] d_{K+1} - \\
 & - \beta_{11} \frac{\partial^2}{\partial \eta^2} \int (M L_{K+2} + N M_{K+2}) d\xi - \beta_{22} \frac{\partial^2}{\partial \xi^2} \int (L M_{K+2} + N L_{K+2}) d\eta + \\
 & + \beta_{13} \left(M \frac{\partial L_{K+2}}{\partial \eta} + N \frac{\partial M_{K+2}}{\partial \eta} \right) + \beta_{23} \left(L \frac{\partial M_{K+2}}{\partial \xi} + N \frac{\partial L_{K+2}}{\partial \xi} \right) - \\
 & - \beta_{12} \left(M \frac{\partial L_{K+2}}{\partial \xi} + N \frac{\partial M_{K+2}}{\partial \xi} + L \frac{\partial M_{K+2}}{\partial \eta} + N \frac{\partial L_{K+2}}{\partial \eta} \right) - \frac{K+2}{2} E \beta_{33} \left(G_3 \frac{\partial^2 \Phi_{K+2}}{\partial \xi \partial \eta} - \right. \\
 & \left. - G_2 \frac{\partial^2 \Phi_{K+2}}{\partial \xi^2} - G_1 \frac{\partial^2 \Phi_{K+2}}{\partial \eta^2} \right) \}
 \end{aligned}$$

в области S

$$\begin{aligned}
 E \frac{\partial \Phi_{2K}}{\partial \eta} = & \int \int \int \left[\left[P_{2K}^{(1)} + U_{2K} - M (P_{2K} f + Q_{2K} \varphi + R_{2K} \psi) + \left(\frac{E}{G} \xi^3 - \frac{m^2}{L} G_2 \xi \eta^2 \right) P_{2K} + \right. \right. \\
 & + \left. \left. \frac{1}{2} ((N E + G_3 m^2) \xi \eta^2) Q_{2K} - \xi \left(\frac{1}{2} N E - M \eta \right) R_{2K} + (K+1) (M \omega_{K+1} + \right. \right. \\
 & + \left. \left. \frac{1}{2} d_{K+1} \right) - (K+1) \int (M L_{K+2} + N M_{K+2}) d\xi / \cos \pi \cdot \xi + \int P_{2K}^{(2)} - N (P_{2K} f + \right. \right. \\
 & \left. \left. \right. \right]
 \end{aligned}$$

$$+ q_{2K} \varphi + r_{2K} \varphi) + (K+1) N \omega_{K+1} \Big] \cos n_1 \eta \Big\} dS,$$

$$\begin{aligned} E \frac{\partial \Phi_{2K}}{\partial \xi} = & - \int \left\{ \left[Q_{2K}^{(1)} + V_{2K} - L(P_{2K} f + q_{2K} \varphi + r_{2K} \varphi) + \left(\frac{E}{6} \xi^3 - \right. \right. \right. \\ & - G_1 \frac{m^2}{M} \xi^2 \eta \Big) q_{2K} - \frac{1}{2M} (NE + G_3 m^2) \xi^2 \eta P_{2K} - \eta \left(\frac{1}{2} N \eta - L \xi \right) r_{2K} - \\ & - (K+1) \left(L \omega_{K+1} - \left(\frac{EN}{M} + \frac{m^2 G_3}{M} \right) \xi \eta d_{K+1} + \int (L M_{K+2} + \right. \\ & \left. \left. \left. + N L_{K+2} \right) d\eta \right) \Big] \cos n_1 \eta + \left[Q_{2K}^{(2)} - N(P_{2K} f + q_{2K} \varphi + r_{2K} \varphi) + \right. \\ & \left. \left. + (K+1) N \omega_{K+1} \right] \cos n_1 \xi \end{aligned}$$

на контуре L , где принято что $\Phi_3 = L_3 = M_3 = \omega_3 = d_2 = 0$.

$$\begin{aligned} 3^{\circ} \Delta_1 \omega_1 = & -C_1 - 2 \left\{ G_1 \left(E \frac{\partial^2 \Phi_2}{\partial \eta^2} - V_2 \right) + G_2 \left(E \frac{\partial^2 \Phi_2}{\partial \xi^2} - V_2 \right) - E G_3 \frac{\partial^2 \Phi_2}{\partial \xi \partial \eta} + (G_1 M_3 + \right. \right. \\ & + G_2 L + G_3 N - E) (P_2 f + q_2 \varphi + r_2 \varphi) + \frac{E}{3} \left(\frac{E - 2L G_3 - NG_3}{2L} \eta^3 + G_1 \frac{N}{M} \xi^3 \right) q_2 + \\ & + \frac{E}{9} \left(\frac{E - 2M G_3 - NG_3}{2M} \xi^3 + G_2 \frac{N}{L} \eta^3 \right) P_2 + \left[G_1 \left(G_1 \frac{m^2}{L} - \frac{E}{2} \right) \xi \eta^2 - \frac{G_2}{2M} (E M_2 + \right. \\ & \left. \left. + G_3 m^2) \xi^2 \eta \right] P_2 + \left[G_1 \left(G_1 \frac{m^2}{M} - \frac{E}{2} \right) \xi - \frac{G_2}{2L} (NE + G_3 m^2) \eta \right] q_2 + \left[G_2 \eta \left(L \xi - \frac{E}{2} \right) \right. \\ & \left. + G_3 E \left(\frac{1}{2} N \xi - M \eta \right) \right] r_2 - M \frac{\partial L_2}{\partial \xi} - N \frac{\partial M_2}{\partial \xi} - L \frac{\partial M_2}{\partial \eta} - N \frac{\partial L_2}{\partial \eta} \} \end{aligned}$$

в области S .

$$\begin{aligned} \frac{d_1 \omega_1}{d\eta} = & \left[R_1^{(1)} - d_1 E \xi + M L_2 + N M_2 \right] \cos n_1 \xi + \\ & + \left[R_1^{(2)} - \frac{d_1}{M} (E N + G_3 m^2) \xi + L M_2 + N L_2 \right] \cos n_1 \eta \end{aligned}$$

на контуре L .

Значения постоянных P_{2k} , q_{2k} ($k=0,1$) определяются из условий однозначности частных производных $\partial\Phi_{2k}/\partial\xi$ и $\partial\Phi_{2k}/\partial\eta$ ($k=0,1$) при обходе контура λ и соответственно равны:

$$P_2 = \frac{1}{I_\eta} \iint_S \frac{\partial C_{13}}{\partial\eta} d\xi d\eta, \quad q_2 = \frac{1}{I_\xi} \iint_S \frac{\partial C_{13}}{\partial\eta} d\xi d\eta,$$

$$P_0 = \frac{1}{I_\eta} \iint_S \left[H_{23} - \left(f_{11} + G \frac{\partial\varphi}{\partial\xi} \right) \frac{\partial\varphi}{\partial\xi} - \left(f_{12} + T \frac{\partial\varphi}{\partial\xi} \right) \frac{\partial\varphi}{\partial\eta} - M\omega_x - NM_x + M \frac{\partial\omega_x}{\partial\xi} + N \frac{\partial\omega_x}{\partial\eta} \right] d\xi d\eta,$$

$$q_0 = \frac{1}{I_\xi} \iint_S \left[H_{23} - \left(f_{12} + T \frac{\partial\varphi}{\partial\xi} \right) \frac{\partial\varphi}{\partial\xi} - \left(f_{22} + F \frac{\partial\varphi}{\partial\xi} \right) \frac{\partial\varphi}{\partial\eta} - LM_x - NM_x + N \frac{\partial\omega_x}{\partial\xi} + L \frac{\partial\omega_x}{\partial\eta} \right] d\xi d\eta,$$

где I_ξ и I_η — моменты инерции основания относительно осей $\partial\xi$ и $\partial\eta$ соответственно.

Однозначность функций $\Phi_{2k}(\xi, \eta)$ ($k=0,1$) будет выполняться, если

$$\begin{aligned} \tau_2 = & \frac{1}{D} \iint_S \left\{ \xi \frac{\partial C_{23}}{\partial\eta} - \eta \frac{\partial C_{13}}{\partial\eta} - (F+G+M-L) \frac{\partial\varphi}{\partial\xi} - f_{11} - f_{22} - \varphi_{23} + \left(M\eta \frac{\partial f}{\partial\xi} - L\xi \frac{\partial f}{\partial\eta} + N\eta \frac{\partial f}{\partial\eta} - NF \frac{\partial f}{\partial\xi} \right) P_2 + \left(M\eta \frac{\partial\varphi}{\partial\xi} - LF \frac{\partial\varphi}{\partial\eta} + N\eta \frac{\partial\varphi}{\partial\eta} - NF \frac{\partial\varphi}{\partial\xi} \right) q_2 - \frac{1}{2M} (NE + \right. \\ & \left. + E_3 m^2) \xi^3 + \left(\frac{E}{2} \xi^2 \eta - \frac{m^2}{L} E_2 \eta^3 \right) \right\} P_2 + \left[\frac{E}{2} \eta^2 \xi - E_1 \frac{m^2}{M} \xi^3 - \frac{1}{2L} (NE + \right. \\ & \left. + E_3 m^3) \eta^3 \right] q_2 \} d\xi d\eta, \end{aligned}$$

$$\tau_0 = \frac{1}{D} \iint_S \left\{ \xi \left[H_{23} - f_{13} - \left(f_{12} + G \frac{\partial\varphi}{\partial\xi} \right) \frac{\partial\varphi}{\partial\xi} - \left(f_{22} + F \frac{\partial\varphi}{\partial\xi} \right) \frac{\partial\varphi}{\partial\eta} \right] - \eta \left[f_{13} + f_{23} - \right. \right. \\$$

$$\begin{aligned}
 & -\left(f_{11} + G \frac{\partial \varphi}{\partial \xi}\right) \frac{\partial \varphi}{\partial \xi} - \left(f_{12} + T \frac{\partial \varphi}{\partial \xi}\right) \frac{\partial \varphi}{\partial \eta} \Big] + \left(M \eta \frac{\partial f}{\partial \xi} - L \xi \frac{\partial f}{\partial \eta} + N \eta \frac{\partial f}{\partial \eta} - \right. \\
 & \left. - N \xi \frac{\partial f}{\partial \xi}\right) P_0 + \left(M \eta \frac{\partial \varphi}{\partial \xi} - L \xi \frac{\partial \varphi}{\partial \eta} + N \eta \frac{\partial \varphi}{\partial \eta} - N \xi \frac{\partial \varphi}{\partial \xi}\right) Q_0 - \left[-\frac{1}{2M} (NE + \right. \\
 & \left. + E_3 m^2) \xi^3 + \left(\frac{E}{2} \xi^2 \eta - \frac{m^2}{L} E_2 \eta^3\right)\right] P_0 + \left[\frac{E}{2} \eta^2 \xi - E_1 \frac{m^2}{M} \xi^3 - \frac{1}{2L} (NE + \right. \\
 & \left. + E_3 m^2) \eta^3\right] Q_0 + L \xi \frac{\partial \omega_1}{\partial \eta} + N \xi \frac{\partial \omega_1}{\partial \xi} - M \eta \frac{\partial \omega_1}{\partial \xi} - N \eta \frac{\partial \omega_1}{\partial \eta} + E(L M_2 + N L_2) + \\
 & + \eta (M L_2 + N M_2) \Big\} d\xi d\eta.
 \end{aligned}$$

Условие существования функции $\omega_1(\xi, \eta)$ для постоянной d_1 дает:

$$d_1 = \frac{1}{ES} \int \int \int \left[C_{13} \frac{\partial^2 \varphi}{\partial \xi^2} + C_{23} \frac{\partial^2 \varphi}{\partial \xi \partial \eta} - 2A_{33} \right] d\xi d\eta.$$

Искомые смещения u_3, v_3, w_3 , соответствующие напряжениям (13), определяем с помощью известного приема линейной теории упругости.

Для удовлетворения торцевых условий на торце $\xi_2 = l$ необходимо к полученным решениям добавить решения определенных задач Сен-Венана.

Поступила 15.XII.1989

Кафедра математического обеспечения ЭВМ

Литература

- I. M. Kuznetsov. Задача кручения однородного анизотропного стержня с слабо изогнутой осью. Тр. ПГУ, 1987, № 270(22), с. 88-95.
- Н. Г. Махиладзе. Кручение однородных геометрически нели-

- нейных анизотропных цилиндрических брусьев. Тр.ГПИ, 1973,
№ 6(162), с.33-37.
3. Р.Т.Зивизиадзе, Р.А.Берекашвили. Объяснение задачи Альманзи для составных анизотропных цилиндрических брусьев. Тр. ГПИ, 1984, № 9(279), с. 130-135.
4. А.К.Рухадзе, С.В.Бердзенишвили. О двух вспомогательных функциях для однородного анизотропного призматического бруса эллиптического сечения. Тр. ГПИ, 1984, № 9(279), с.127-129.

8, კუბერაშვილი

მწარმეობის ძაობაშრიული არანაზივი თეორიის ური
ასაგრძლო ამოცასის ამოქანის აღმოჩენის

რ ე ბ ი უ ბ ი .

მრომაში, მოცემულია ერთვაროვანი ფანავ გაღუნული ანიზოერო-
პულ სხეულის გრეხების ამოცანის ამოხსნის აღმორითმი გრეკარობის
ძალის მიზნისადაც არამარტივ თეორიაში, ამოცანა მოყვანილია მწყველი
არის (სხეულის განივი კვეთი) მიმართ სამ სასაბორო ამოცანამავა,
ნაჩვენებია მიღუბული სასაბორო ამოცანების ამოხსნამა.

M.Kezerashvili

THE ALGORITHM OF SOLUTION OF ONE BOUNDARY PROBLEM
OF GEOMETRICALLY NON-LINEAR THEORY OF ELASTICITY

Summary

The problem of torsion of an anisotropic homogeneous body with slightly bent axis in geometrically non-linear theory of elasticity is studied. The problem is reduced to three boundary value problems for plane section (cross-section of a body). The solvability of the obtained boundary-value problems is shown.

СОДЕРЖАНИЕ

1. А.Н.Джорбенадзе, Т.С.Цупунава. О решении оптимальной задачи для систем, описываемых уравнениями теории упругости.....	5
2. Г.В.Меладзе, Г.З.Церцвадзе. О необходимости дифференциально-разностных схем газовой динамики в эйлеровых переменных.....	10
3. Н.С.Бенделiani. Некоторые вопросы модернизации куэт "Корвет".....	34
4. М.И.Шишгигин, Н.Б.Лавренчук. О манипуляторе с исполнительным органом типа "Хобот".....	36
5. А.В.Корнеева. Последовательная процедура формирования размытых кластеров для признаков.....	61
6. А.В.Корнеева, Н.В.Пицковская, Л.М.Ахалая. Исследование взаимосвязи параметров, характеризующих острый период инфаркта миокарда, на основе кластерного анализа.....	70
7. Н.А.Шергелашвили. Концептуальное представление знаний в экспертной системе <i>PSIMATIKI</i>	92
8. Н.В.Бокучава. Оптимизация задачи ферментативной кинетики.....	94
9. М.И.Кеверашвили. Алгоритм решения одной краевой задачи геометрически нелинейной теории упругости.....	108

გ ი ნ ა ა რ ს ი .

1. ა. აკოჩენაძე, თ. წუბუნავა. გრეკარობის თეორიის განვითარებით აღმართილი სისფერისათვის თავისი მიღებული ამოცანის აღმა-
ნის შესახებ 9
2. პ. მელაძე, გ. ცერცელაძე. გამური გიმაზიუმის გიფერენციალურ-
სახლობისანი სქემების კრებარობის შესახებ ეიღორის ცვლა-
დები 25
3. ბ. ბერეკელიანი, გამოთვლითი ფექტიკუს სასწავლი კომპლექსის
"კორვეფის" მოდერნიზაციის მოძიებით საკონცენტრირებულ
სამუშაო 27
4. მ. შიშიკინი, ნ. ლავრენტის კა. "ხორბუმის" ფიბის შესწავლებე-
ლი როგორნის მქონე მანიპულაციონის შესახებ 54
5. ა. კორნელია, ნიშან-თვის სებებით წარმოადენირ არამკაფიო კუ-
სცერთა ფორმისების მიმართულობითი პროცედურა 69
6. ა. კორნელია, ნ. პილურის კაკა, ღ. ახალაგა, მოკარდის ის-
ტარკუფის მწვავე პერიოდისათვის გამარასიათებელ პარამეტრ-
თა ურთიერთობაშირის გამოყენება კუსცერტული ანალიზის საფუ-
ძლებე 80
7. ბ. შერედაშვილი, ამარის კონცეფციუალური წარმოადენა ექსპერ-
ტი სისფერის მიმართულობის შესწავლა 81
8. ნ. ბ. ბოჭუჩავა. დერმენჭაფიული კრებიკუს ამოცანის თავისიგა-
ცია 107
9. მ. კერეაშვილი. გრეკარობის გეომეტრიული არართოვი თეო-
რიის ერთი სასამართლო ამოცანის ამოხსნის აღმოჩენი 124

1. A.Jorbenadze, T.Tsutsunava. On solving the optimal control problem for systems described by the elasticity theory	9
2. H.Meladze, G.Tseretsvadze. On the convergence of difference-differential schemes for gas dynamics in Euler variables	26
3. N.Bendelian. Some questions of modernization of KUVT "KORVET" .	35
4. M.Shishiggin, N.Lavrenchuk. About the manipulator with an executive organ of "Trunk" type	54
5. A.Korneeva. Sequential procedures for the formation of fuzzy clusters out of attributes	69
6. A.Korneeva, N.Piotrovskaya, L.Akhalaia. Cluster-analysis study of the interdependence of the parameters characterizing the acute period of myocardial infarction	80
7. N. Shergelashvili. A conceptual representation of knowledge in the expert system "PSIKIATRI"	93
8. N.Bokuchava. Optimization of the problem of fermentative kinetics .	101
9. M. Kezerashvili. The algorithm of solution of one boundary problem of geometrically non-linear theory of elasticity	125

Редактор издательства Л.Абуашвили

Подписано в печать 30.10.1990

Бумага 60 х 84

Уол.печ.л. 8 Уч.-изд.л. 3,91

Тираж 300 Заказ 2/3

Цена 30 коп.

Издательство Тбилисского университета,

380028, Тбилиси, пр. И.Чавчавадзе, 14.
იბირისი უნივერსიტეტის მამულები,
თბილი, 380028, ი.ჭავჭავაძის 37-ე სამშენებლო, ს4.

Типография Тбилисского университета,

380028, Тбилиси, пр. И.Чавчавадзе, 1.
იბირისი უნივერსიტეტის სფაბი,
თბილი, 380028, ი.ჭავჭავაძის 37-ე სამშენებლო, ს1.

ე. 3/3